

UNIVERSIDADE ESTADUAL de CAMPINAS

Instituto de Química

Este exemplar corresponde à redação final da tese defendida
por Jair Corrêa Filho e aprovado pela comissão julgadora.

Campinas
15 de setembro de 1992


Prof. Dr. Albert James Kascheres

ESTUDO DA REATIVIDADE C-ALQUIL VERSUS C-FENIL
EM CICLOPROOPENONAS NÃO SIMÉTRICAS

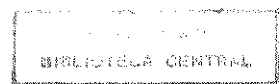
Jair Corrêa Filho

Tese de Mestrado

orientador : Prof. Dr. Albert James Kascheres

Campinas

1992



Aos meus pais

Jair e Elza

AGRADECIMENTOS

Ao Instituto de Química pelas facilidades que concedeu para a realização desta pesquisa, e ao CNPq pelos auxílios concedidos.

Estou especialmente agradecido ao Dr. Júlio Zukerman Schpector do Instituto de Química e Física de São Carlos, USP, pela análise de raio-x.

A todos os colegas de trabalho e em particular a :

- Luciana Jansen de Oliveira Figueiredo

Finalmente, eu gostaria de expressar meu apreço especial ao Prof. Dr. Albert James Kascheres pela orientação desta pesquisa.

ÍNDICE

RESUMO	x
ABREVIACÕES UTILIZADAS	xi
<u>CAPÍTULO I</u>	
INTRODUÇÃO	1
<u>CAPÍTULO II</u>	
REAÇÃO ENTRE A METILFENILCICLOPROOPENONA E OS PIRAZÓIS.	
II.1 Reação processada em benzeno	6
II.1.1 Reação com 3,5-dimetilpirazol	6
II.1.2 Reação com 3(5)-metilpirazol	8
II.1.3 Reação com 4 -metilpirazol	11
II.1.4 Reação com pirazol	12
II.2 Mecanismo da reação	13
II.3 Reação com 3,5-dimetilpirazol-1-carboxiamida em refluxo de benzeno	16
II.4 Mecanismo da reação	18
<u>CAPÍTULO III</u>	
REAÇÕES DE COMPETIÇÃO ENTRE PIRAZÓIS, 2-AMINOPIRIDINAS, 2-AMINOTIAZOL E ANILINA COM A METILFENILCICLOPROOPENONA.	
III.1 Reação processada em éter etílico	20
III.1.1 Reação de competição entre pirazol e 2-aminotiazol....	20
III.1.2 Reação de competição entre 3,5-dimetilpirazol e 2-aminotiazol	22
III.1.3 Reação de competição entre pirazol e 2-amino-4-metilpiridina	24
III.1.4 Reação de competição entre 3,5-dimetilpirazol e 2-amino-4-metilpiridina	26

III.2	Mecanismo da reação	27
III.1.5	Reação de competição entre pirazol e 2-amino-6-metilpiridina	30
III.1.6	Reação de competição entre 3,5-dimetilpirazol 2-amino-6-metilpiridina	31
III.3	Mecanismo da reação	32
III.1.7	Reação de competição entre pirazol e anilina	33
III.1.8	Reação de competição entre 3,5-dimetilpirazol e anilina	33
III.4	Mecanismo da reação	34

CAPÍTULO IV

REAÇÃO ENTRE A DIFENILCICLOPROPENONA E OS PIRAZÓIS.

IV.1	Reação processada em benzeno	35
IV.1.1	Reação com 3,5-dimetilpirazol	35
IV.1.2	Reação com 3(5)- metilpirazol	38
IV.1.3	Reação com 4-metilpirazol	40
IV.1.4	Reação com pirazol	41
IV.2	Mecanismo da reação	43
IV.3	Reação processada em refluxo de benzeno	45
IV.3.1	Reação com 3,5-dimetilpirazol	45
IV.4	Mecanismo da reação	47
IV.3.2	Reação com 3,5-dimetilpirazol-l-carboxiamida	48
IV.5	Mecanismo da reação	51
IV.6	Reação processada em metanol	52
IV.6.1	Reação com 3,5-dimetilpirazol	52
IV.7	Mecanismo da reação	54

IV.6.2	Reação com 3(5)aminopirazol	55
IV.8	Mecanismo da reação	57

CAPÍTULO V

REAÇÕES DE COMPETIÇÃO ENTRE O PIRAZOL, 2-AMINO-4-METILPIRIDINA E 2-AMINOTIAZOL COM A DIFENILCICLOPROOPENONA.

V.1	Reação processada em éter etílico	57
V.1.1	Reação de competição entre pirazol e 2-amino-4-metil- piridina	58
V.1.2	Reação de competição entre pirazol e 2-aminotiazol ..	58
 <u>CONCLUSÃO</u>		59

PARTE EXPERIMENTAL

VI	Síntese do 3,5-dimetilpirazol	61
VII	Síntese do 3,5-dimetilpirazol-1-carboxiamida	61
VIII	REAÇÃO ENTRE A METILFENILCICLOPROOPENONA COM OS PIRAZÓIS.	
VIII.1	Reação processada em benzeno	61
VIII.1.1	Reação com 3,5-dimetilpirazol	61
VIII.1.2	Reação com 3(5)-metilpirazol	62
VIII.1.3	Reação com 4- metilpirazol	63
VIII.1.4	Reação com pirazol	63
VIII.2	Reação com 3,5-dimetilpirazol-1-carboxiamida proces- sada em refluxo de benzeno	64

IX	REAÇÕES DE COMPETIÇÃO ENTRE PIRAZÓIS, 2-AMINOPIRIDI- . NAS, 2-AMINOTIAZOL E ANILINA COM A METILFENILCICLO - PROOPENONA.	
IX.1	Reação processada em éter etílico	65
IX.1.1	Reação de competição entre pirazol e 2-aminotiazol..	65
IX.1.2	Reação de competição entre 3,5-dimetilpirazol e 2-a- minotiazol	66
IX.1.3	Reação de competição entre pirazol e 2-amino-4-metil -piridina	67
IX.1.4	Reação de competição entre 3,5-dimetilpirazol e 2-amino-4-metilpiridina	67
IX.1.5	Reação de competição entre pirazol e 2-amino-6-metil piridina	68
IX.1.6	Reação de competição entre 3,5-dimetilpirazol e 2-amino-6-metilpiridina	69
IX.1.7	Reação de competição entre pirazol e anilina	69
IX.1.8	Reação de competição entre 3,5-dimetilpirazol e anilina	70
X	REAÇÃO ENTRE A DIFENILCICLOPROOPENONA E OS PIRAZÓIS .	
X.1	Reação processada em benzeno	70
X.1.1	Reação com 3,5-dimetilpirazol	70
X.1.2	Reação com 3(5)-metilpirazol	71
X.1.3	Reação com 4-metilpirazol	71
X.1.4	Reação com pirazol	72
X.2	Reação processada em refluxo de benzeno	73
X.2.1	Reação com 3,5-dimetilpirazol	73
X.2.2	Reação com 3,5-dimetilpirazol-1-carboxiamida	74
X.3	Reação processada em metanol	74

X.3.1	Reação com 3,5-dimetilpirazol	74
X.3.2	Reação com 3(5)-aminopirazol	75
XI	REAÇÕES DE COMPETIÇÃO ENTRE PIRAZOL, 2-AMINO-4-METILPIRIDINA.	
XI.1	Reação processada em éter etílico	76
XI.1.1	Reação de competição entre pirazol e 2-amino-4-metilpiridina	76
XI.1.2	Reação de competição entre pirazol e 2-aminotiazol ...	77

ESPÉCTROS

Espéctro 01 : rmp (CCl ₄) da metilfenilciclopropenona(l)	79
Espéctro 02 : rmp (CCl ₄) do composto XX	79
Espéctro 03 : iv (KBr) do composto XX	80
Espéctro 04 : rmp (CDCl ₃) do composto XL	80
Espéctro 05 : iv (KBr) do composto XL	81
Espéctro 06 : rmp (CCl ₄) do composto XLI	81
Espéctro 07 : iv (KBr) do composto XLI	82
Espéctro 08 : rmp (CCl ₄) do composto XXIII	82
Espéctro 09 : iv (filme) do composto XXIII	83
Espéctro 10 : rmp (CDCl ₃) do composto XXIV	83
Espéctro 11 : iv (KBr) do composto XXIV	84
Espéctro 12 : rmp (CDCl ₃) do composto LXIII	84
Espéctro 13a: rmp (CDCl ₃) do composto XXV	85
Espéctro 13b: rmp (CDCl ₃) do composto XXV.....	85
Espéctro 13c: rmp (CDCl ₃) do composto XXV.....	86
Espéctro 14 : iv (KBr) do composto XXV.....	86
Espéctro 15 : rmp (CDCl ₃) do composto XXVI	87

Espéctro 16 : iv (KBr) do composto XXVI	87
Espéctro 17 : rmp(CDCl ₃) do composto XXVII	88
Espéctro 18 : iv (KBr) do composto XXVII	88
Espéctro 19 : rmp(CDCl ₃) do composto XXVIII	89
Espéctro 20 : iv (KBr) do composto XXVIII	89
Espéctro 21 : rmp(CDCl ₃) do composto XXIX	90
Espéctro 22a: rmp(CCl ₄) do composto XXX	90
Espéctro 22b: rmp(CCl ₄) do composto XXX	91
Espéctro 22c: rmp(CCl ₄) do composto XXX	91
Espéctro 23 : iv (KBr) do composto XXX	92
Espéctro 24 : rmp(CDCl ₃) do composto XXXIII	92
Espéctro 25 : iv (KBr) do composto XXXIII	93
Espéctro 26 : rmp(CCl ₄) do composto XXXIV	93
Espéctro 27 : iv (KBr) do composto XXXIV	94
Espéctro 28 : rmp(CDCl ₃) do composto XXXVa	94
Espéctro 29 : rmp(CDCl ₃) do composto XXXVb	95
Espéctro 30 : iv (KBr) do composto XXXV	95
Espéctro 31 : rmp(CDCl ₃) do composto XXXVI	96
Espéctro 32 : iv (KBr) do composto XXXVI	96
Espéctro 33 : rmp(CDCl ₃) do composto XXXVII	97
Espéctro 34 : iv (KBr) do composto XXXVII	97
Espéctro 35 : rmp(CDCl ₃) do composto XXXVIII	98
Espéctro 36 : iv (KBr) do composto XXXVIII	98
Espéctro 37 : rmp(CDCl ₃) do composto XXXIX	99
Espéctro 38 : iv (KBr) do composto XXXIX	99

Resumo

A presente pesquisa se desenvolveu no sentido de esclarecer as diferenças de reatividade dos carbonos C-Alquil versus C-Ph. das ciclopropenonas. Com este objetivo os coeficientes de HOMO-LUMO foram obtidos de um tratamento teórico da metilfenilciclopropenona. Para tanto recorreu-se ao método de cálculo AM1, cujos resultados mostraram que os coeficientes de HOMO e LUMO são maiores no C-Me. Isto apontaria para o fato de que as reações de nucleófilos com a metilfenilciclopropenona procederia de um ataque no C-Me.

A metilfenilciclopropenona reage com o pirazol em éter etílico para formar a cetona XXIII. O mecanismo de formação deste composto foi estudado, sugerindo que o ataque nucleofílico inicial realmente se deu no C-Me com a formação de uma ciclopropanona como intermediário. A viabilidade de intercepção deste intermediário por outros nitrogênios nucleófilos foi pesquisada. Assim uma mistura de metilfenilciclopropeno na com pirazol e 2-aminotiazol proporcionou a formação de uma 5,6-dihidroimidazo[2,1-b]tiazol e da cetona XXIII. Com 2-amino-4-metilpiridina em substituição a 2-aminotiazol levou a formação de uma 2,3-dihidroimidazo[1,2-a]piridina e da cetona XXIII. Os exemplos acima representam novas rotas de síntese a estes sistemas bicíclicos; importantes por apresentarem ampla atividade biológica.

Com o objetivo de comparar estes resultados com aqueles que envolvem a possível participação de um ceteno como intermediário, as reações acima foram repetidas com a difenilciclopropenona em substituição a metilfenilciclopropenona.

Abreviações Utilizadas

rmp	ressonância magnética protônica
iv	infravermelho
E.M.	espectro de massa
s	singleto
d	doubleto
t	tripletó
sl	singleto largo
dd	duplo doubleto
δ	deslocamento químico
pf	ponto de fusão
°C	grau centígrado

I. Introdução

Foi a partir de 1959 que as ciclopropenonas tornaram-se disponíveis para investigações em laboratórios, e desde então um considerável volume de literatura química tem sido publicada¹.

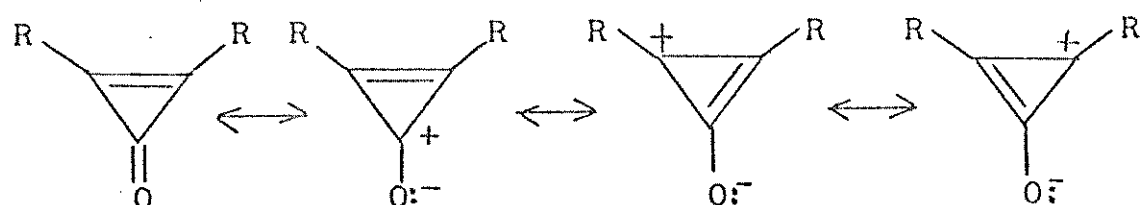
O seu comportamento químico particular e seu grande potencial para aplicações em sínteses orgânicas, tornam o estudo das ciclopropenonas muito atrativo.

O estudo das propriedades físicas das ciclopropenonas indica as particularidades importantes deste sistema, que podem auxiliar no entendimento de sua atividade química².

Os valores encontrados refletem uma apreciável deficiência eletrônica nos átomos do anel de três membros das ciclopropenonas, em parte alguma deslocalização de carga positiva e uma pequena corrente anelar.

Então, as ciclopropenonas não são aparentemente completamente "deslocalizadas" e podem ser consideradas como híbrido de ressonância(L) das contribuições a-d, que diferem em energia e não são simplesmente "misturadas" com pesos iguais.

completar com



(L)

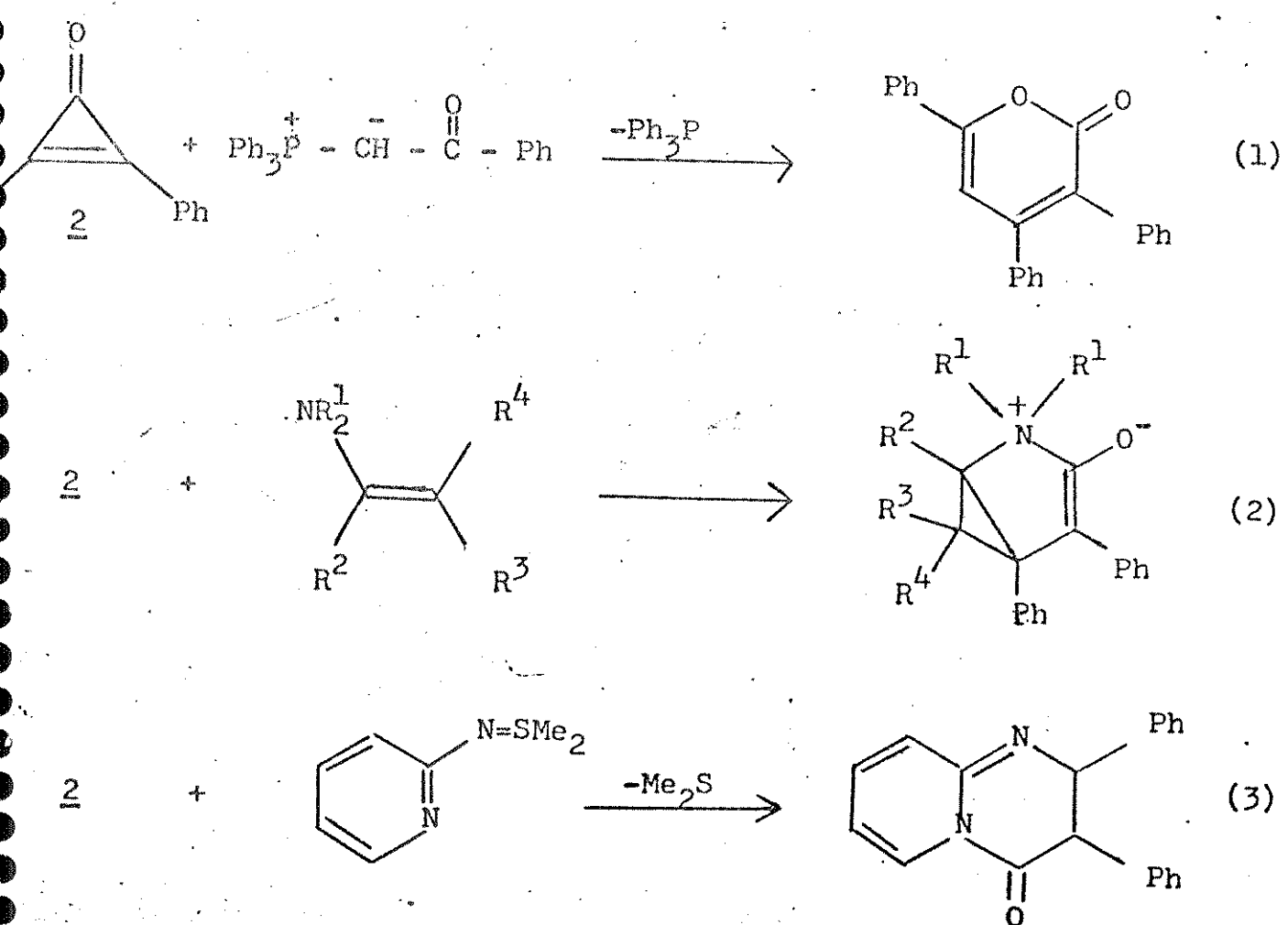
As contribuições dessas formas canônicas são refletidas pela variedade de reações apresentadas por um sistema tão simples.

Especialmente importantes são as reações de adição, de que existem três possíveis posições de adição: ao grupo carbonilo; à dupla ligação ou aos átomos de carbono C-2 e C-3 do núcleo das ciclopropenonas.

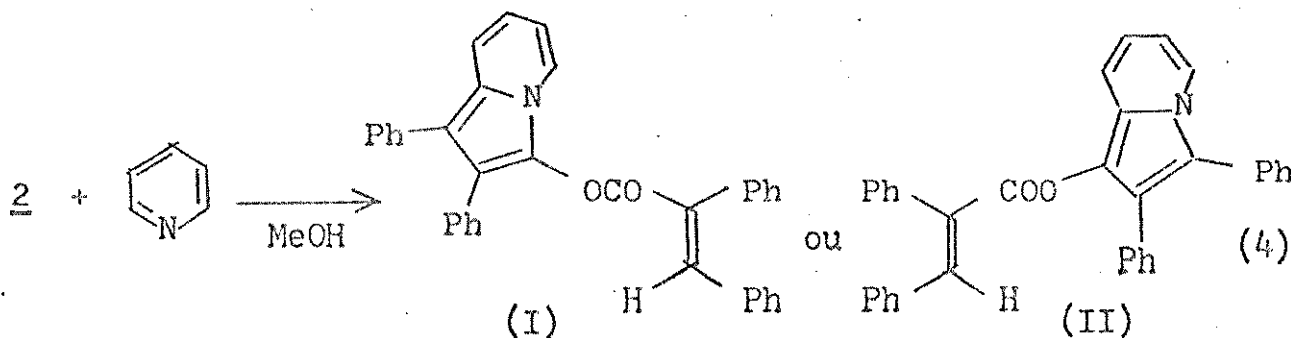
Estas reações são frequentemente acompanhadas por rearranjos; comumente com abertura do anel de três membros, num processo concertado ou por etapas.

Devido à deficiência eletrônica nos átomos do anel, encontra-se muitas reações com sistemas nucleófilos.

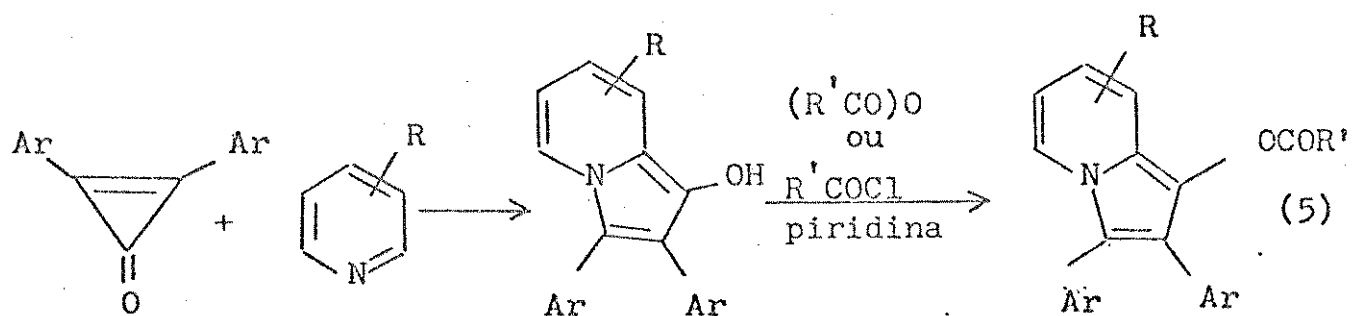
A química mais recente das ciclopropenonas envolvem o uso desses compostos nas reações de cicloadição com uma variedade de substratos¹. A ciclopropenona utilizada na maioria dessas investigações tem sido a difenilciclopropenona (2) e, em tais casos a cicloadição ocorre através da ligação C-CO(eq. 1³, eq. 2⁴, eq. 3⁵).



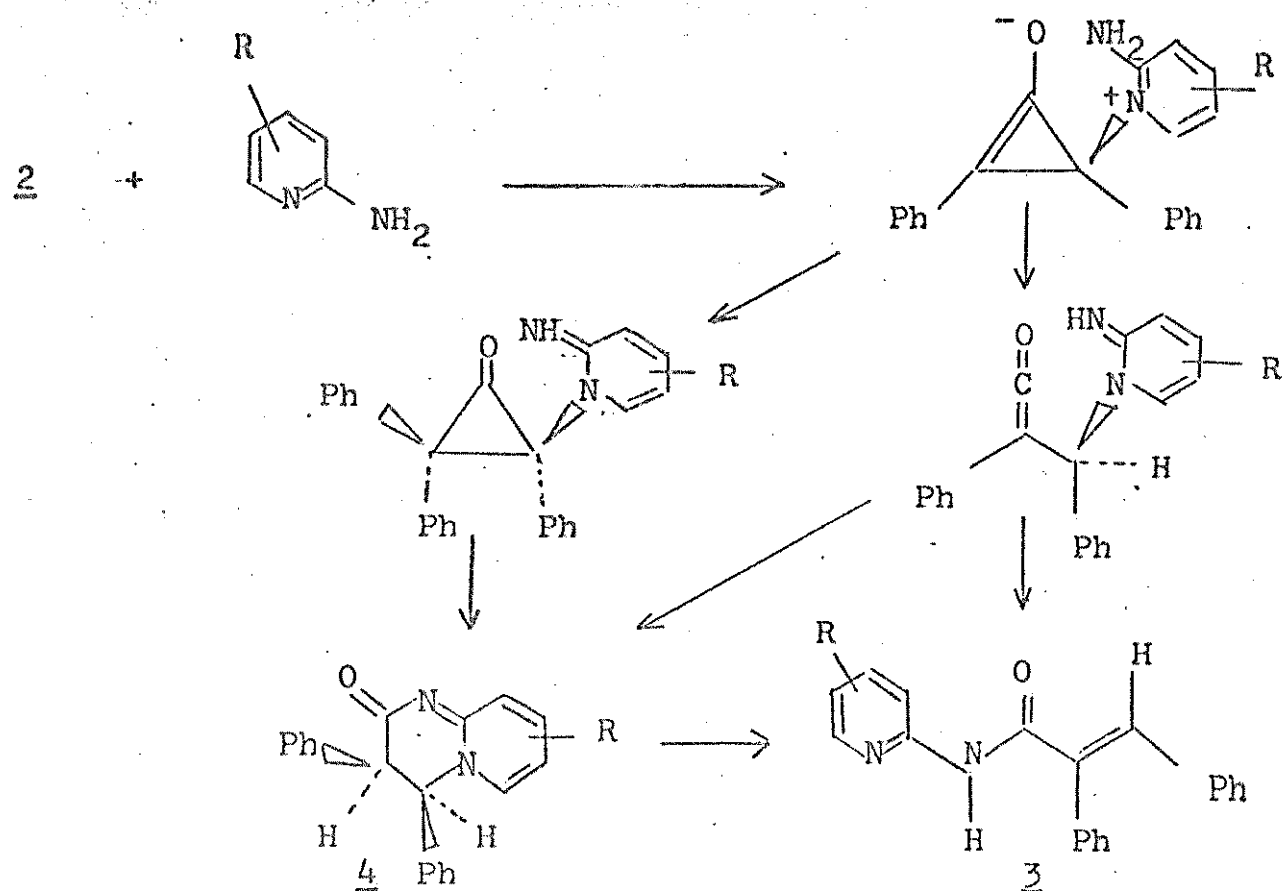
Compostos como piridina, pirazina, isoquinolina, e seus derivados reagem com ZnCl_2 de modo a darem produtos de cicloadição na ligação C=N dos heterocíclicos⁶ (eq. 4).



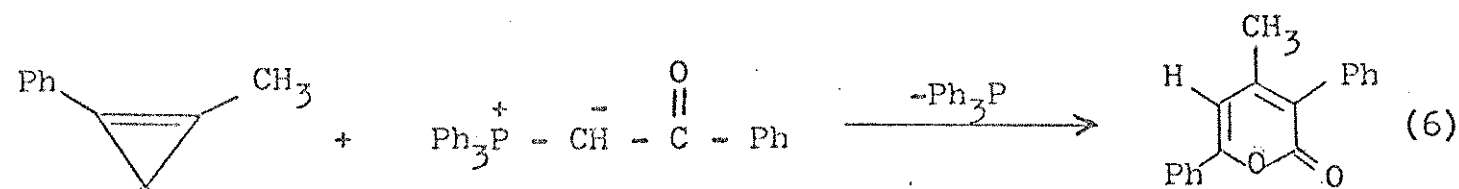
A preparação de (I) ou (II) a partir de piridina e difenilciclopropenona foi comunicada pela primeira vez por Breslow,⁷ e ampliada por Lown e Matsumoto⁶ que propuseram a estrutura(I) para o composto, mas coube a Wadsworth⁸ estabelecer a correta regioquímica como (II) por cristalografia de raio-X, expandindo a reação para englobar uma variedade de piridinas substituídas e ciclopropenonas para a preparação de indolizinóis e seus ésteres(eq.5).



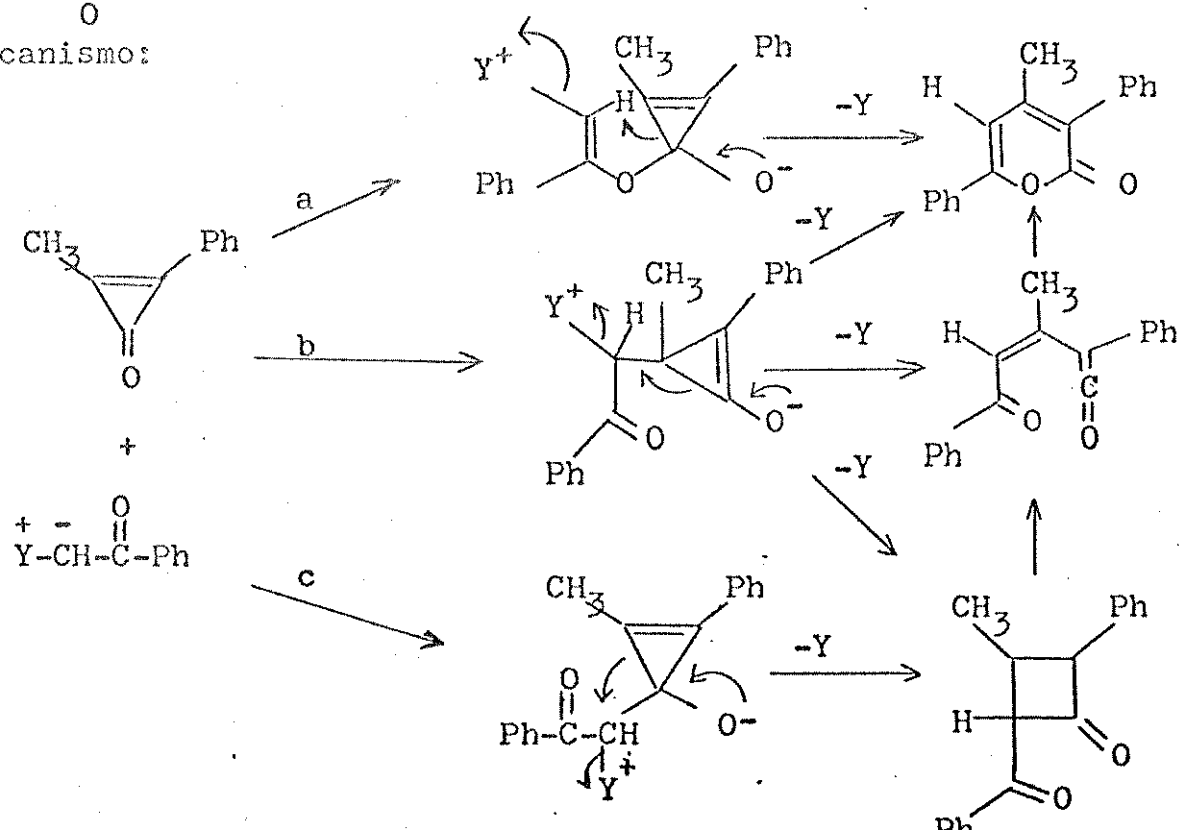
Compostos N-heteroaromáticos com nitrogênio exo como as 2-aminopiridinas reagem com a difenilciclopropenona em éter para produzirem cis-2,3-difenilacrilamidas(3) e cis-3,4-dihidro-3,4-difenil-2H-pirido[1,2-a]pirimidin-2-onas(4) segundo o seguinte mecanismo.⁹:



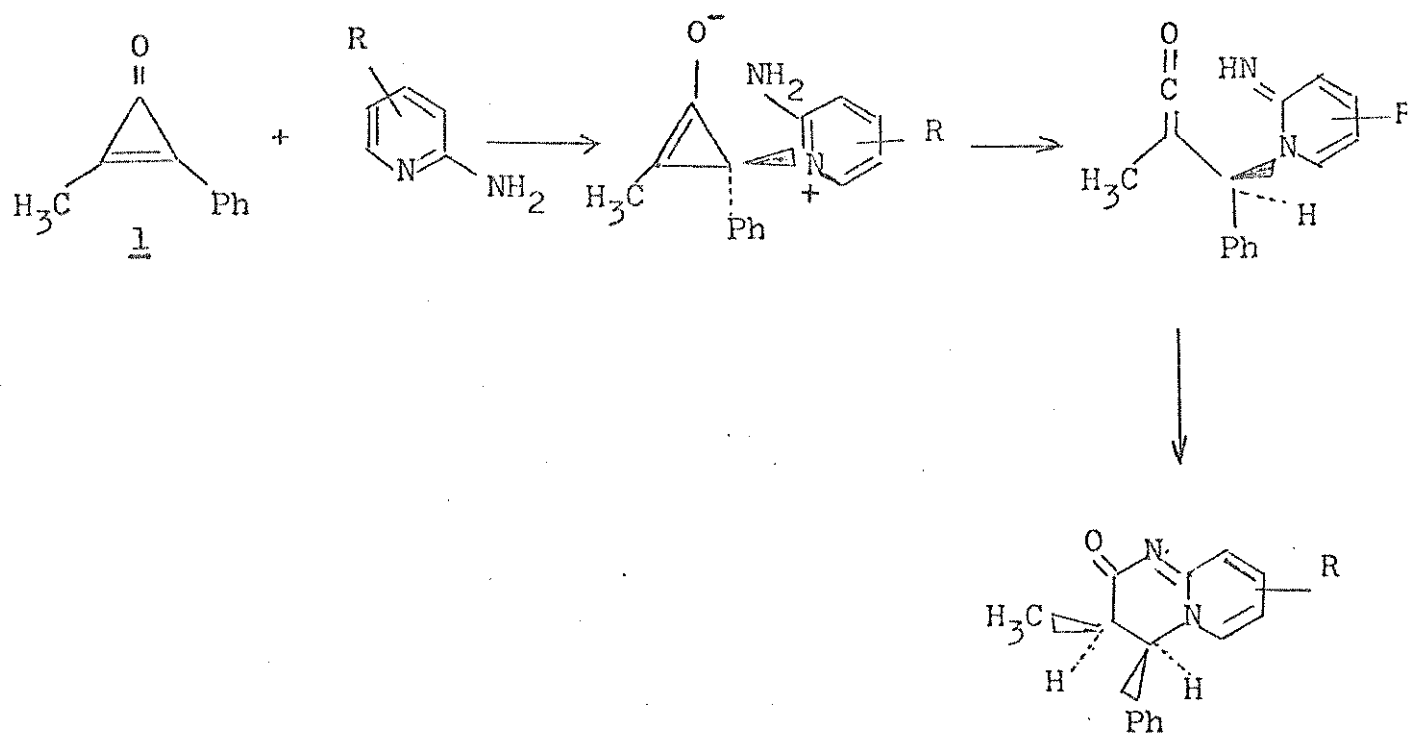
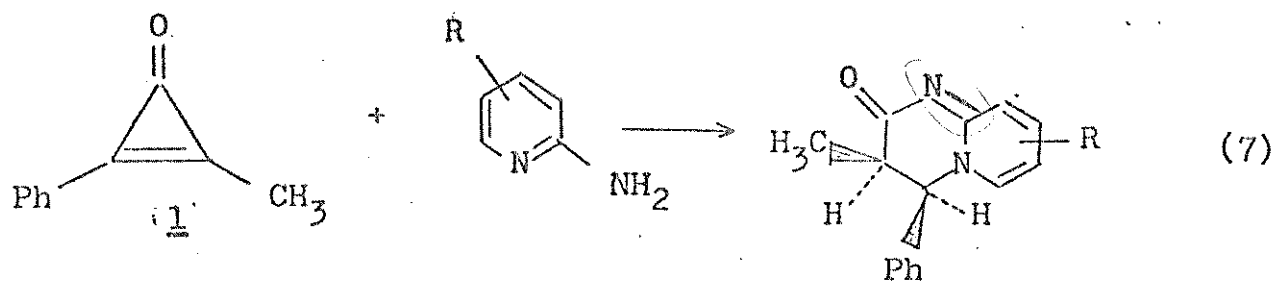
As alquilfenilciclopropenonas que oferecem a interessante possibilidade de comparação entre a reatividade de duas ligações C-CO diferentes, têm sido pouco estudadas¹⁰, e são poucos os exemplos de cicloadição através da quebra da ligação CO-CCH₃ na literatura(eq. 6³).



mecanismo:



As 2-aminopiridinas reagem com a metilfenilciclopropeno-na(1) com a quebra da ligação CO-CPh para produzirem cis-3,4-dihidro-3-metil-4-fenil-2H-pirido[1,2-a]pirimidin-2-onas(eq. 7¹¹):



A presente pesquisa estende o estudo acima aos sistemas N-heteroaromáticos que levam hidrogênio sobre o nitrogênio, como os pirazóis e seus derivados, com o objetivo de explorar a transferência do hidrogênio do grupo NH na intercepção de intermediários.

II. Reação entre a metilfenilciclopropenona com os 1-H-pirazóis

II.1 Reação processada em benzeno

O estudo foi iniciado pela reação da metilfenilciclopropenona com os 1-H-pirazóis, usando o benzeno como solvente. Dissolveu-se o pirazol desejado em benzeno e adicionou-se a metilfenilciclopropenona, deixando-se a solução em repouso à temperatura ambiente durante 6 dias.

II.1.1 Reação com 3,5-dimetilpirazol

Dissolveu-se a metilfenilciclopropenona e o 3,5-dimetilpirazol em benzeno, deixando-se a solução em repouso por 6 dias. O solvente evaporado num rotavaporador forneceu um óleo amarelo, que tratado com uma mistura de diclorometano e acetonitrila proporcionou o isolamento de 0,329g de um sólido cristalino incolor de ponto de fusão 149-150°C.

A elucidação da estrutura deste sólido foi baseada em seus dados espectrais de rmp e iv.

O espectro de rmp em CCl_4 mostrou tratar-se de um composto 1:2 com rendimento de 98%.

Em δ 1,70 com integração correspondente a seis prótons, observou-se um singuleto que foi atribuído as duas metilas das posições 5 dos pirazóis.

Em δ 2,10 com integração indicando seis prótons, notou-se um singuleto que foi associado as duas metilas das posições 3 dos pirazóis.

Em δ 2,30 com integração igual a três prótons, observou-se um singuleto que foi atribuído a uma metila.

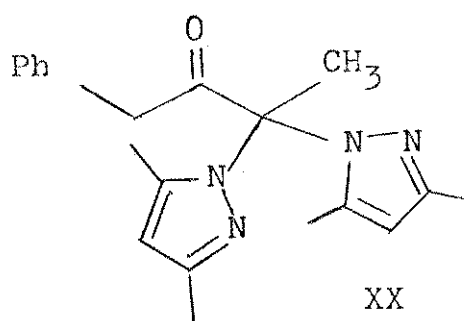
Em δ 3,90 com integração relativa a dois prótons, notou-se um singuleto que foi relacionado ao CH_2 em $\text{Ph}-\text{CH}_2-\text{CO}$.

Na faixa entre δ 7,10 e 7,30 com integração relativa a cinco prótons, observou-se um multiplet que foi associado a uma fenila.

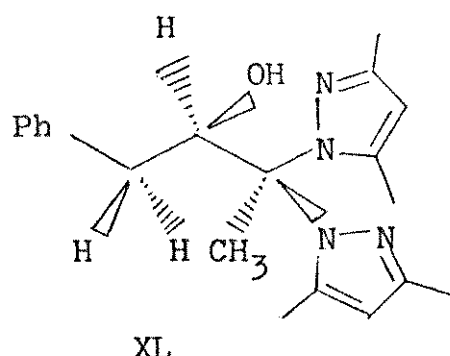
O espectro de iv em KBr apresentou as seguintes absorções : 1741, 1561, 1451 e 1345 cm^{-1} .

A análise elementar apresentou a seguinte composição centesimal: C-71,39, H-7,20, N-16,60, mostrando tratar-se de um composto 1:2, de fórmula molecular $\text{C}_{20}\text{H}_{24}\text{N}_4\text{O}$.

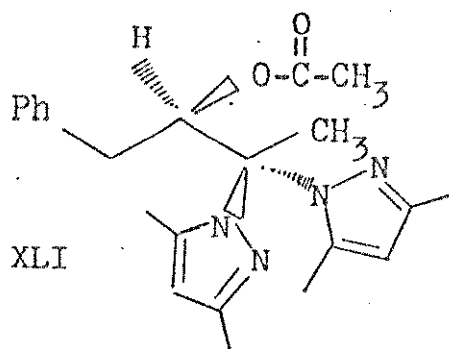
Com os dados acima chegou-se a seguinte estrutura :



A redução da cetona XX com boro-hidreto de sódio em etanol forneceu um sólido cristalino incolor, cuja estrutura foi atribuída ao álcool XL(80%) baseada em seus dados espectrais: pf 110-112°C; iv (KBr, cm^{-1}) 3375, 1555, 1446, 1416; rmp(CDCl_3 , δ) 1,68(3H, s), 1,71(3H, s), 2,10(1H, d, J =14 Hz), 2,16(3H, s), 2,20(3H, s), 2,25(3H, s), 2,65(1H, dd, J =14 e 10 Hz) 4,89(1H, d, J =10 Hz), 5,82(1H, s), 5,87(1H, m), 5,90(1H, s), 7,00-7,30(5H, m); Análise elementar calculada para a fórmula $\text{C}_{20}\text{H}_{26}\text{N}_4\text{O}$: C-70,99, H-7,75, N-16,56; obtida: C-71,26, H-8,05, N-17,00.



A acetilação do álcool XL com anidrido acético em piridina, forneceu um sólido cristalino incolor cuja estrutura foi atribuída ao éster XLI(44%):pf 137-139°C;iv(KBr, cm⁻¹)1753, 1557, 1455, 1345 ; rmp(CDCl₃, δ) 1,58(3H, s), 1,70(3H, s), 1,73(3H, s), 2,16(3H, s), 2,26 (3H, s), 2,29(3H, s), 2,76(1H, dd, J=13,6 e 9,4 Hz), 3,58(1H, dd, J=13,6 e 2,2 Hz), 5,71(1H, s), 5,83(1H, s), 6,41(1H, dd, J=9,4 e 2,2 Hz), 7,10-7,40(5H, m).



III.1.2 Reação com 3(5)-metilpirazol

Preparou-se uma solução de metilfenilciclopropenona e 3(5)-metilpirazol em benzeno, deixando-se a solução em repouso durante 6 dias. O solvente evaporado num rotavaporador forneceu um óleo amarelo cujo rmp em CDCl₃ mostrou tratar-se de um composto de adição 1:2, numa mistura isomérica 3:2:2(a, b e c) determinada pelas proporções entre as áreas dos picos em δ 3,64, 3,79 e 4,10 (com rendimento de 93%). Este material foi transferido para uma coluna de Florisil^R e eluída inicialmente com hexano, e posteriormente com hexano-éter (com aumento sucessivo do gradiente). O rmp das principais frações mostrou que a melhor separação conseguida foi uma mistura de dois isômeros (b e c). Comparando-se todos os espectros de rmp foi possível sugerir as seguintes estruturas para os isômeros:

Isômero a :

Em δ 1,75 com integração indicando seis prótons, notou-se um singlet que foi atribuído as metilas das posições 5 dos pirazóis.

Em δ 2,49 com integração correspondente a três prótons, observou-se um singuleto que foi associado a uma metila.

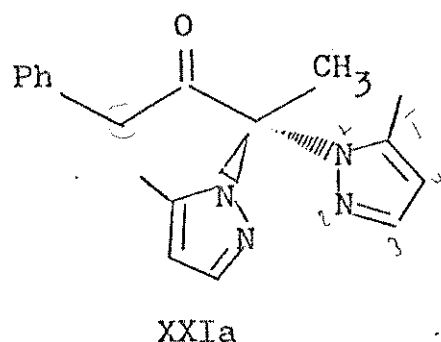
Em δ 4,10 com integração indicando dois prótons, notou-se um singuleto que foi relacionado a CH_2 em $\text{Ph}-\text{CH}_2-\text{CO}$.

Na faixa entre δ 6,00 e 6,20 prótons aromáticos. Notou-se um multiplet que foi relacionado aos prótons das posições 4 dos pirazóis pertencentes aos isômeros a, b e c.

Na faixa entre δ 7,00 e 7,40 prótons aromáticos. Observou-se um multiplet que foi associado aos grupos fenilas e aos prótons das posições 3 e 5 dos pirazóis dos isômeros a, b e c.

Com os dados acima chegou-se a seguinte estrutura :

Isômero a:



Isômero b:

Em δ 2,05 com integração correspondente a três prótons, observou-se um singuleto que foi atribuído a metila da posição 5 do pirazol W.

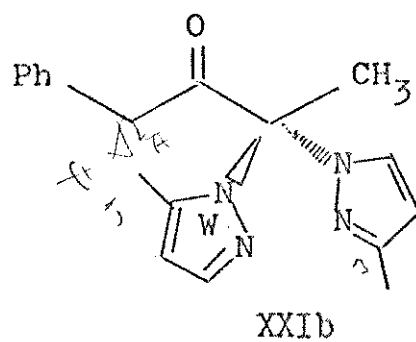
Em δ 2,38 com integração igual a seis prótons, observou-se um singuleto que foi relacionado a duas metilas.

Em δ 3,79 com integração indicando dois prótons, notou-se um sistema AB com constante de acoplamento $J=17$ Hz, que foi relacionado ao grupo CH_2 vizinho a um centro assimétrico ($\text{Ph}-\text{CH}_2-\text{CO}-\text{C}^*$).

Na faixa entre δ 6,00-6,20 idem a

Na faixa entre δ 7,00-7,40 idem a

Com os dados acima foi possível sugerir a seguinte estrutura para o isômero b :



Isômero c:

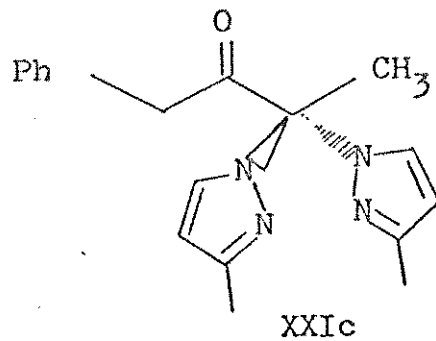
Em δ 2,24 com integração correspondente a nove prótons, observou-se um singuleto que foi relacionado a três metilas.

Em δ 3,64 com integração indicando dois prótons, notou-se um singuleto que foi atribuído ao CH_2 em $\text{Ph}-\text{CH}_2-\text{CO}$.

Na faixa entre δ 6,00-6,20 idem a

Na faixa entre δ 7,00-7,40 idem a

Com os dados acima chegou-se a seguinte estrutura para o isômero c :



Sabe-se que no sistema 3(5)-metilpirazol o tautômero predominante é o 5-metilpirazol¹². No entanto os resultados obtidos acima permitem afirmar que o tautômero mais reativo é o 3-metilpirazol, que apesar de ser mais impedido é mais nucleófilo.

III.1.3 Reação com 4-metilpirazol

Preparou-se uma solução de metilfenilciclopropenona e 4-metilpirazol em benzeno, deixando-se em repouso à temperatura ambiente durante 6 dias. A solução amarela resultante foi concentrada e transferida para uma coluna de Florisil^R e eluída com benzeno. A evaporação do solvente forneceu 0,290g de um óleo incolor.

A elucidação da estrutura deste óleo foi baseada em seus dados espectrais de iv e rmp.

O espectro de rmp em CCl_4 mostrou a formação de um composto 1:2 com rendimento de 94%.

Em δ 2,02 com integração correspondente a seis prótons, notou-se um singuleto que foi atribuído as duas metilas das posições 4 dos pirazóis.

Em δ 2,20 com integração igual a três prótons, observou-se um singuleto que foi associado a uma metila.

Em δ 3,58 com integração indicando dois prótons, notou-se um singuleto que foi relacionado ao CH_2 em $\text{Ph}-\text{CH}_2-\text{CO}$.

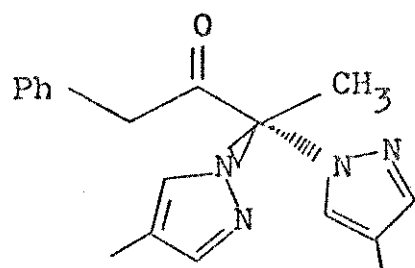
Em δ 7,03 com integração igual a dois prótons, observou-se um singuleto que foi associado aos prótons das posições 5 dos pirazóis.

Na faixa entre δ 7,04 e 7,20 com integração relativa a cinco prótons, notou-se um multiplet que foi associado a uma fenila.

Em δ 7,30 com integração correspondente a dois prótons, notou-se um singuleto que foi atribuído aos prótons das posições 3 dos pirazóis.

O espectro de iv(filme)apresentou as seguintes absorções principais: 1741, 1498, 1457 e 1345 cm^{-1} .

Com os dados acima chegou-se a seguinte estrutura:



XXIII

II.1.4 Reação com pirazol

Preparou-se uma solução de metilfenilciclopropenona e pirazol em benzeno, deixando-se em repouso à temperatura ambiente durante 6 dias. A solução amarela resultante foi concentrada num rotavaporador e transferida para uma coluna de Florisil^R e eluída com benzeno. A evaporação do solvente forneceu 0,268g de um óleo incolor.

A elucidação da estrutura deste óleo foi baseada em dados espectrais de iv e rmp.

O espectro de rmp em CCl_4 mostrou a formação de um composto de adição de uma molécula de metilfenilciclopropenona com duas de pirazol (adição 1:2) com rendimento de 95 %.

Em δ 2,36 com integração correspondente a três prótons, notou-se um singuleto que foi atribuído a uma metila.

Em δ 3,58 com integração indicando dois prótons, observou-se um singuleto que foi relacionado ao CH_2 em $\text{Ph}-\text{CH}_2-\text{CO}$.

Em δ 6,29 com integração indicando dois prótons, observou-se um multiplet que foi associado aos prótons das posições 4 dos pirazóis.

Na faixa entre δ 7,08 e 7,21 com integração correspondente a cinco prótons, notou-se um multiplet que foi associado a uma fenila.

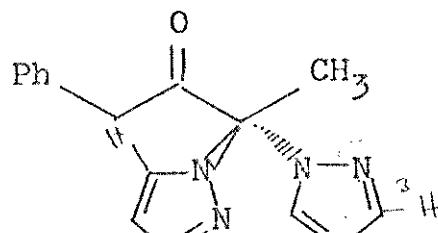
Em δ 7,33 com integração relativa a dois prótons, observou -se um dubbleto com constante de acoplamento igual a 2,4 Hz , que foi relacionado aos prótons das posições 5 dos pirazóis.

Em δ 7,55 com integração indicando dois prótons, observou - se um dubbleto com constante de acoplamento igual a 1,2 Hz, que foi relacionado aos prótons das posições 3 dos pirazóis.

O espéctro de iv(filme, cm^{-1})apresentou as seguintes absorções principais: 1739, 1497, 1412, 1387, 1328.

A análise elementar apresentou a seguinte composição centesimal:C-70,78, H-6,08, N-17,21,mostrando tratar-se de um composto de fórmula molecular $\text{C}_{19}\text{H}_{20}\text{N}_4\text{O}$.

Com os dados acima chegou-se a seguinte estrutura :



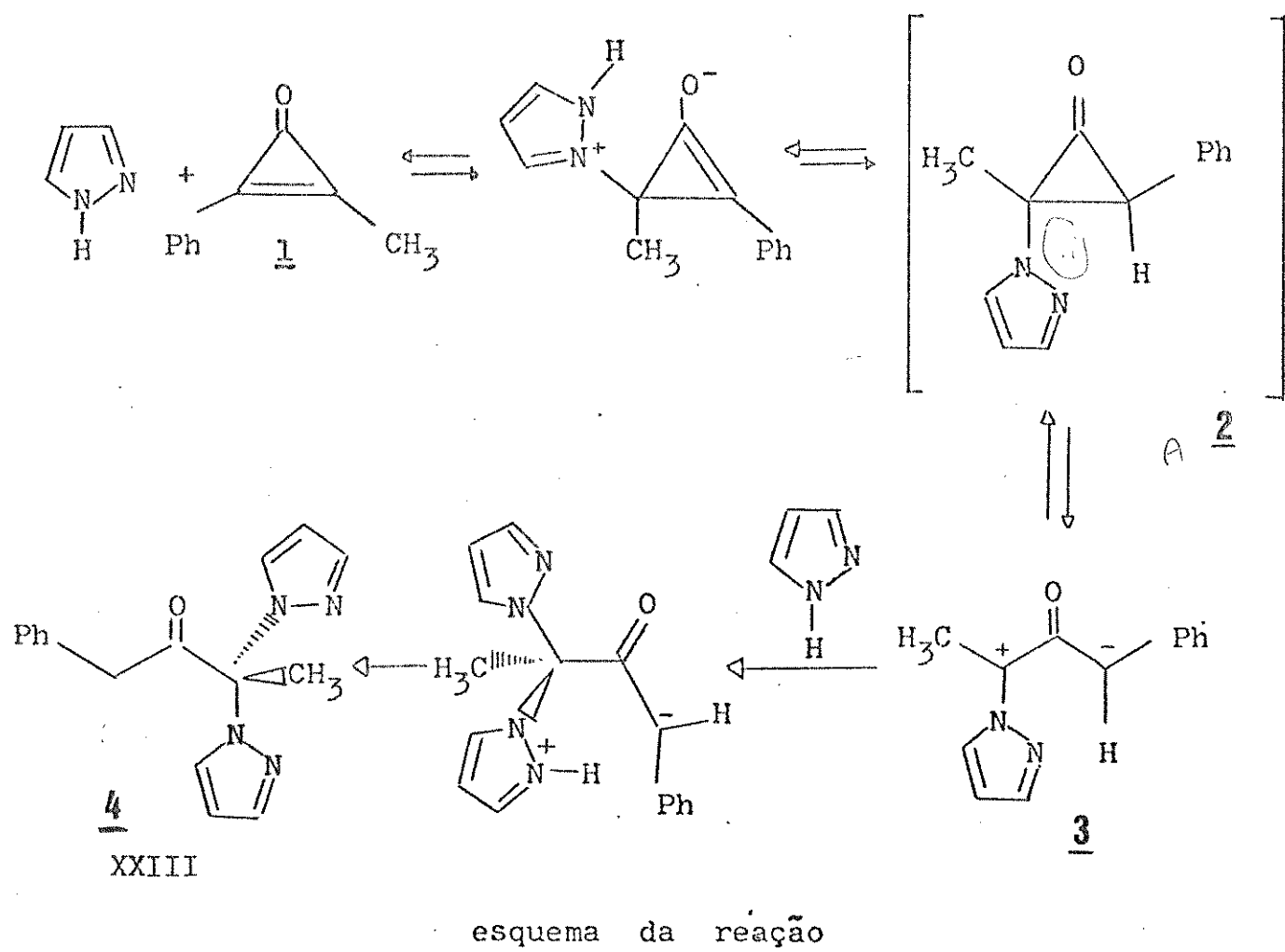
XXIII

A otimização do tempo das reações acima de 6 para 3 dias foi atingida sob refluxo de benzeno.

II.2 Mecanismo da reação

A metilfenilciclopropenona 1 reage com os 1-H-pirazóis pa ra formar as cetona C .O ataque nucleofílico se deu no carbono ligado a metila de acordo com os cálculos obtidos pela aplicação do método AML mostrados na tabela 1.²⁴ A transferência do hidrogênio do grupo imino dos pirazóis para formar o intermediário ciclopropanona 2 ocorre sem perda da aromaticidade do heterocíclico.A ciclopropanona formada é uma espécie excepcionalmente reativa que não pôde ser isolada como

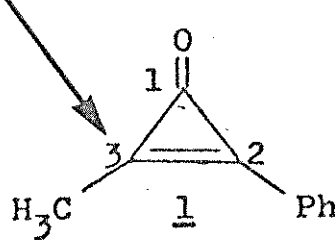
uma entidade discreta, desde que sofre abertura do anel para formar um intermediário dipolar 3. Em seguida é observada a adição de outra molécula de pirazol para formar a cetona 4.



AM1

Tabela 1

ROOT NO.	HOMO		LUMO			
	25	26	27	28	29	30
	-10.00100	-10.02210	<u>-9.27062</u>	-8.76267	0.23705	0.88994
S C 1	0.00730	0.00021	0.00372	-0.00425	0.00009	-0.00165
PX C 1	-0.11762	-0.00139	0.00170	-0.00667	-0.00008	-0.00160
PY C 1	0.23439	0.00395	-0.00136	0.00044	0.00026	0.00076
PZ C 1	0.00027	-0.00111	0.07090	-0.00395	-0.00756	-0.27809
S C 2	-0.17502	-0.00223	0.00341	-0.00017	-0.00003	0.00027
PX C 2	0.37390	0.00463	-0.00232	-0.00057	0.00013	-0.00065
PY C 2	0.12556	0.00134	-0.00214	0.00238	-0.00023	-0.00242
PZ C 2	0.00257	0.00272	<u>0.29687</u>	0.43804	-0.00401	-0.42410
S C 3	0.16410	0.00198	-0.00074	-0.00320	0.00004	0.00240
PX C 3	-0.31766	-0.00404	0.00092	0.00046	0.00016	0.00061
PY C 3	-0.123385	-0.00275	0.00247	-0.00150	-0.00006	0.00022
PZ C 3	0.00283	0.00579	0.43660	-0.49791	0.00520	0.48335
S O 4	0.00071	0.00003	0.00008	0.00001	0.00003	0.00007
PX O 4	-0.30779	0.00365	-0.00235	0.00043	0.00001	0.00097
PY O 4	-0.150347	-0.00710	0.00315	-0.00036	-0.00012	-0.00006
PZ O 4	-0.00203	-0.00472	-0.29028	0.06498	0.00440	0.19130
S C 5	0.05587	0.00037	-0.00044	0.00024	-0.00030	-0.00001
PX C 5	-0.16799	-0.00195	0.00344	-0.00262	-0.00002	-0.00032
PY C 5	0.01505	0.00268	0.00360	-0.00011	-0.00019	-0.00431
PZ C 5	-0.00279	-0.00542	-0.43954	0.35067	0.00495	0.37533
S C 6	0.00553	-0.00023	0.00218	0.00059	-0.00030	-0.00004
PX C 6	0.02259	-0.00382	0.00232	0.00255	-0.00402	0.00073
PY C 6	0.02331	-0.00512	0.00324	0.00367	-0.00522	-0.00300
PZ C 6	-0.00664	0.49246	-0.28410	-0.31469	0.50008	-0.39822
S C 7	0.00401	0.00031	0.00005	-0.00029	-0.00017	0.00020
PX C 7	-0.01260	-0.00496	-0.00135	0.00193	0.00418	0.00181
PY C 7	0.00762	-0.00345	-0.00201	0.00137	0.00550	0.02706
PZ C 7	-0.00564	0.50910	0.16927	-0.14106	-0.49416	-0.24472
S C 8	0.00500	-0.00009	0.00032	-0.00110	-0.00011	0.00016
PX C 8	0.01926	0.00014	-0.00366	-0.00356	0.00001	0.00050
PY C 8	0.00254	-0.00010	-0.00102	-0.00429	-0.00010	-0.00008
PZ C 8	0.00158	0.01572	0.41999	-0.40637	-0.00400	0.40352
S C 9	0.01685	0.00014	-0.00002	0.00020	0.00003	-0.00075
PX C 9	-0.07339	0.00168	-0.00113	0.00092	-0.00450	0.00005
PY C 9	0.01540	0.00490	-0.00008	0.00143	-0.00476	0.00201
PZ C 9	0.00445	-0.49192	0.15073	0.13261	0.56265	-0.24727
S C 10	-0.04104	-0.00036	0.00053	-0.00397	0.00017	0.00173
PX C 10	0.11555	0.00058	0.00027	0.20343	0.00411	0.00001
PY C 10	0.00847	0.00136	0.00018	0.00227	0.00422	0.00102
PZ C 10	0.00624	-0.50053	-0.26678	-0.31452	-0.50331	-0.48319



HOMO
LUMO

III.3 Reação com 3,5-dimetilpirazol-1-carboxiamida

O 3,5-dimetilpirazol-1-carboxiamida foi o sistema escolhido para avaliar o efeito de um grupo retirador de densidade eletrônica na nucleofilicidade do nitrogênio nucleófilo deste pirazol, na reação com a metilfenilciclopropenona.

Preparou-se uma solução de metilfenilciclopropenona e 3,5-dimetilpirazol-1-carboxiamida em benzeno, e procedeu-se um refluxo durante 12 dias. A solução resultante deixada em repouso por 1 dia, forneceu um sólido que foi isolado por decantação e lavado com benzeno. Recristalizado a partir de uma mistura de diclorometano e hexano permitiu o isolamento de um sólido branco de ponto de fusão 218-220°C.

A elucidação da estrutura do sólido branco foi baseada em dados espectrais de iv e rmp.

O espectro de rmp em CDCl_3 apresentou uma integração condizente com um produto de adição 1:1 com rendimento de 87 %.

Em δ 1,41 com integração correspondente a três prótons, notou-se um doubleto com constante de acoplamento $J=6,6$ Hz que foi atribuído a uma metila

Em δ 2,21 com integração indicando três prótons, observou-se um singlet que foi associado a metila da posição 5 do pirazol.

Em δ 2,23 com integração igual a três prótons, notou-se um singlet que foi atribuído a metila da posição 3 do pirazol.

Em δ 3,58 com integração indicando um próton, observou-se um multiplet.

Em δ 5,17 com integração correspondente a um próton, notou-se um doubleto com constante de acoplamento igual a 9,9 Hz.

Em δ 5,48 e 5,70 com integração correspondente a dois prótons, observaram-se dois singletos largos que foram relacionados a um grupo NH_2 de uma amida.

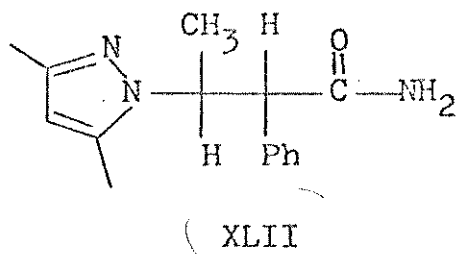
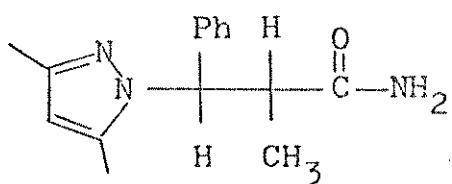
Em δ 5,76 com integração indicando um próton, observou-se um singlet que foi relacionado ao próton da posição 4 do pirazol.

Na faixa entre δ 7,21 e 7,46 com integração correspondente a cinco prótons, observou-se um multiplet que foi associado a um grupo fenila.

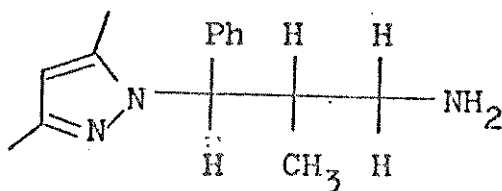
O espectro de iv em KBr apresentou as seguintes absorções principais: 3346, 3198, 1665, 1631, 1551 e 1413 cm^{-1} .

A análise elementar apresentou a seguinte composição centesimal: C-70,33, H-7,14, N-16,12, mostrando tratar-se de um composto de fórmula molecular $\text{C}_{15}\text{H}_{19}\text{N}_3\text{O}$.

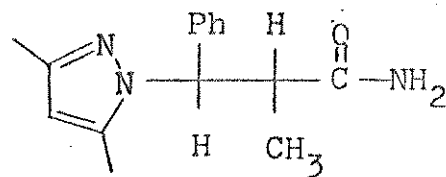
Com os dados acima chegou-se a duas possíveis estruturas:



A redução da amida XXV com LiAlH_4 em THF, levou a um óleo amarelo identificado como sendo a amina XLIII(57%): rmp(CDCl_3) δ 0.90 (3H, d, $J=6$ Hz), 1,90-2,00 (2H, s1), 2,15 (3H, s), 2,18 (3H, s), 2,25-2,80 (1H, m), 4,82 (1H, d, $J=9$ Hz), 5,70 (1H, s), 7,10-7,60 (5H, m).



Com a redução da amida o multiplet em δ 3,58 sofreu um deslocamento químico da ordem de 1 ppm para campo mais alto, enquanto que o doubleto em δ 5,17 sofreu pouca variação de deslocamento e de constante de acoplamento. Estes resultados indicam que a escolha deve recair sobre a estrutura XXIV.

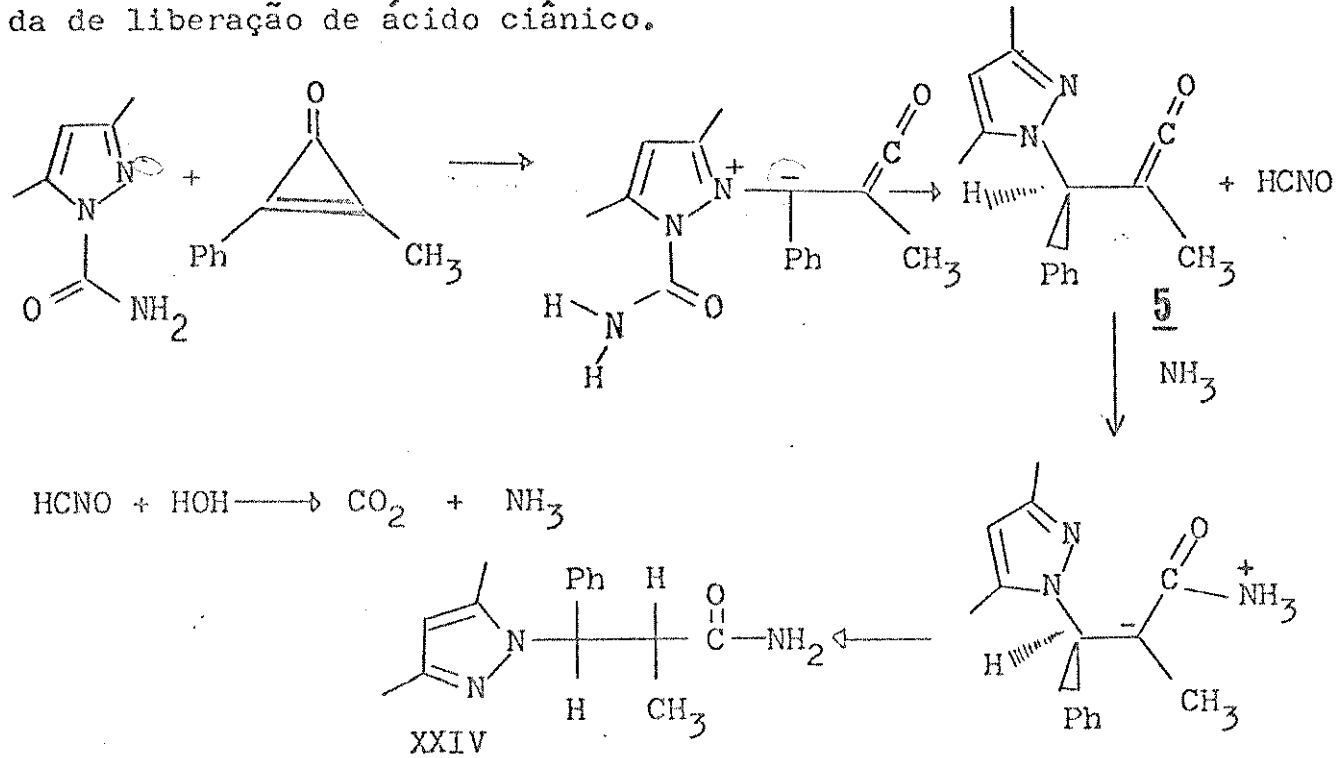


III.4 Mecanismo da reação

O 3,5-dimetilpirazol-1-carboxiamida sofre termólise numa extensão de 50% quando refluxado em benzeno durante 72 horas, para formar 3,5-dimetilpirazol e ácido ciânico¹³. Prolongando-se o refluxo até completar 12 dias, notou-se que a termólise atingiu uma extensão de 60% do material de partida. Se 1 reagisse com o 3,5-dimetilpirazol proveniente da termólise, ter-se-ia observado a formação da cetona XX.

A reação de 1 com 3,5-dimetilpirazol-1-carboxiamida pode realmente proceder de modo rápido e reversível pelo carbono ligado a metila, conjugado com um ataque lento e irreversível ao carbono ligado a fenila com formação do intermediário 5. Este interme-

diálio ceteno 5 reage com o amoníaco resultante da reação do ácido ciânico com a umidade do meio ambiente para formar a amida XXIV. Neste caso a transferência do hidrogênio do grupo carboxiamida só foi possível graças a labilidade dêstes hidrogénios; e vem acompanhada de liberação de ácido ciânico.



III. Reações de competição entre pirazóis, 2-aminopiridinas, 2-aminopiridina e anilina com a metilfenilciclopropenona

A possibilidade de intercepção do intermediário dipolar por outros nitrogênios nucleófilos foi pesquisada. Para provar este ponto de vista foram escolhidos o 2-aminotiazol, 2-amino-4-metilpiridina, 2-amino-6-metilpiridina e a anilina.

A idéia foi a de gerar o intermediário dipolar na presença de um dos nucleófilos acima, tendo como solvente o benzeno. O intermediário dipolar seria obtido pela reação de 1 com o pirazol ou com o 3,5-dimetilpirazol.

Inicialmente se fez uma reação de competição entre o 3,5-dimetilpirazol(2 mmol) e 2-aminotiazol(2 mmol) com 1(1 mmol), que le-

vou a formação da cetona XX (96%) como produto único. Este resultado motivou a troca imediata do benzeno por um solvente + polar, como o éter etílico, com o objetivo de se conseguir um aumento na estabilidade do intermediário dipolar, visando assim aumentar as possibilidades de sua intercepção.

As reações do 1-H-pirazóis com l em éter etílico levaram aos mesmos resultados observados com o benzeno como solvente. Uma mistura eqüimolar de pirazol e l (éter, 3 dias, TA) proporcionou a formação da cetona XXIII (98%), e permitiu o isolamento de l que não reagiu (50%). Este resultado confirma a participação do intermediário dipolar resultante do ataque nucleófilo no C-Me.

III.1. Reação processada em éter etílico

III.1.1 Reação de competição entre pirazol e 2-aminotiazol com a metilfenilciclopropenona

Dissolveu-se o pirazol e o 2-aminotiazol em éter etílico e juntou-se a metilfenilciclopropenona, deixando-se em repouso durante 72 horas. Após este tempo separou-se por filtração o, 250g de um sólido branco de ponto de fusão 132-133°C.

A estrutura deste sólido foi determinada pelas suas propriedades espectrais de iv e rmp.

O espectro de rmp em CDCl_3 mostrou uma integração condizente com um produto de adição 1:1:1 com rendimento de 83%.

Em δ 2,08 e 2,58 com integração correspondente a dois prótons, observou-se um sistema AB com constante de acoplamento $J = 13,5$ Hz, que foi relacionado a um grupo CH_2 vizinho a um carbono assimétrico.

Em δ 2,16 com integração indicando três prótons, observou-se um singuleto que foi atribuído a uma metila.

Na faixa entre δ 3,00 e 3,30 com integração igual a um próton, observou-se um singuleto muito largo que foi associado a uma hidroxila OH.

Em δ 5,96 com integração indicando um próton, observou-se um doubleto com constante de acoplamento $J=4,8$ Hz que foi associado ao próton da posição 5 do anel proveniente do 2-aminotiazol.

Em δ 6,33 com integração igual a um próton, observou-se um multiplet que foi relacionado ao próton da posição 4 do pirazol.

Em δ 6,46 com integração correspondente a um próton, notou-se um doubleto com constante de acoplamento $J=4,8$ Hz que foi atribuído ao próton da posição 4 do anel proveniente do 2-aminotiazol.

Na faixa entre δ 7,20 e 7,30 com integração indicando seis prótons, observou-se um multiplet que foi relacionado a um grupo fenila e a um próton da posição 5 do pirazol.

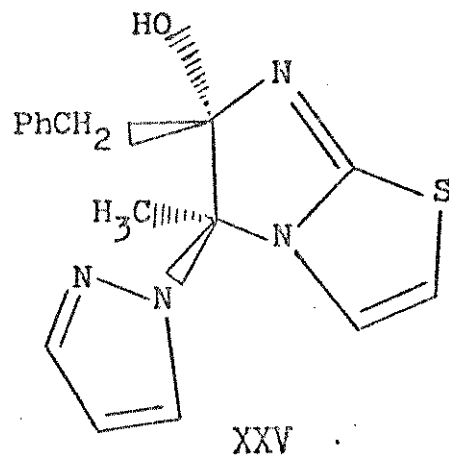
Em δ 7,60 com integração indicando um próton, observou-se um doubleto com constante de acoplamento $J=2$ Hz que foi associado ao próton da posição 3 do pirazol.

O espectro de iv em KBr apresentou as seguintes absorções principais: 1581, 1548, 1266 e 1096 cm^{-1} . Com OH em 3140 cm^{-1} .

A análise elementar apresentou a seguinte composição censimal: C-61,66, H-4,92, N-17,83. Mostrando tratar-se de um composto de fórmula molecular $C_{16}H_{16}N_4OS$.

Os dados acima sugerem para o composto a estrutura de uma 5,6-dihidroimidazo[2,1-b]tiazol XXV.

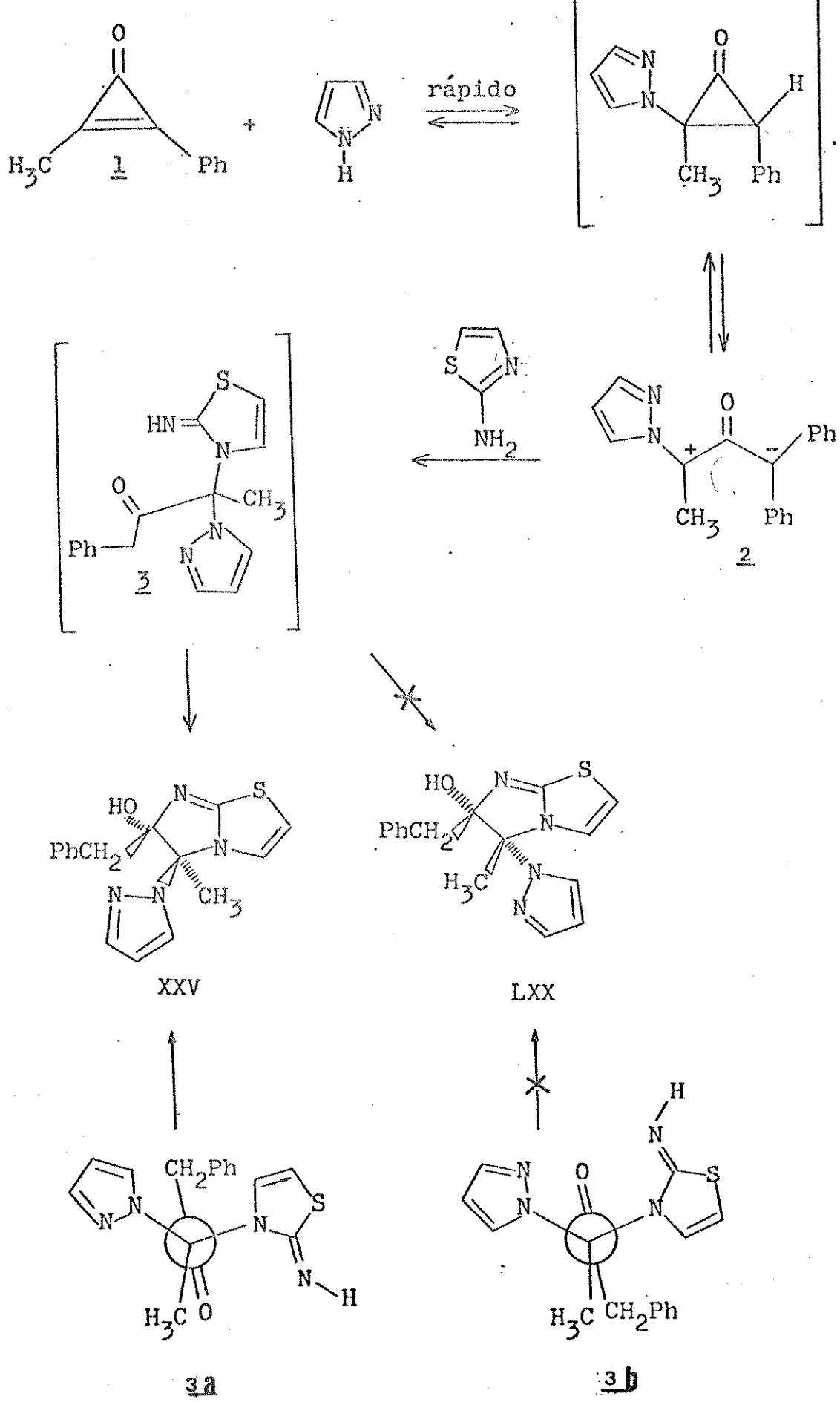
A estereoquímica deste composto foi confirmada por análise de raio-x(veja tabela 2).

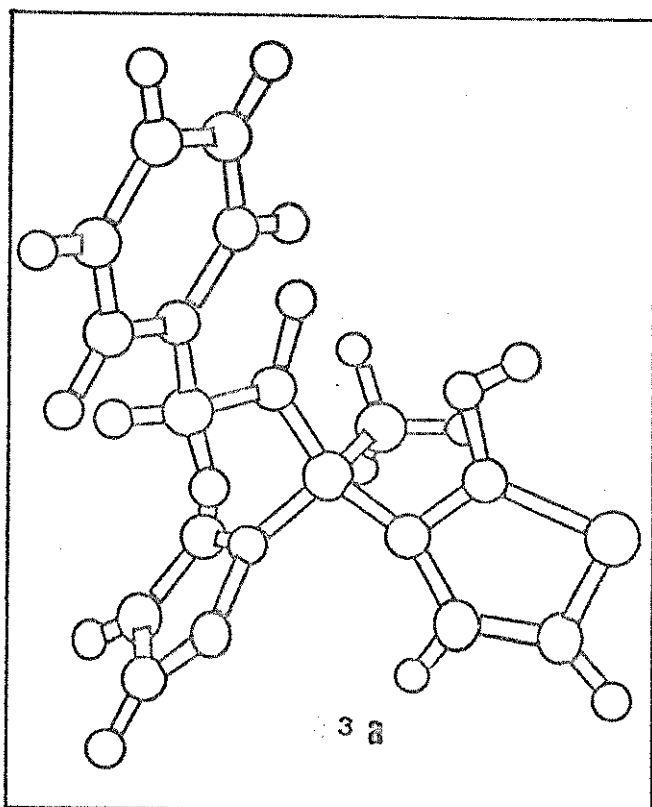
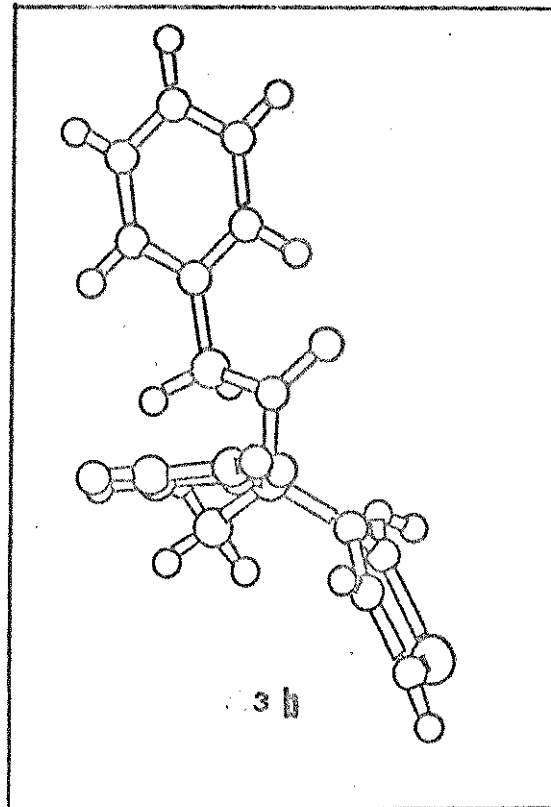


A reação de 1 com pirazol permitiu a formação de um intermediário ciclopropanona relativamente estável resultante da reação no C-Me. A ciclopropanona é uma espécie química muito reativa que sofre abertura do anel para formar um intermediário dipolar 2. O 2-aminotiazol intercepta este intermediário para formar 3 que cicliza através da reação do grupo imino com a carbonila. Para que isto ocorra, o grupo imino deve se aproximar por uma das faces da carbonila.

A conformação 3a de 3 que levou a formação de XXV é aquela correspondente a conformação anti do n-butano. Este arranjo que coloca a carbonila eclipsada com a metila é a preferida pelos compostos carbonílicos por ser mais estável¹⁸.

Existe uma outra conformação 3b de 3 para a qual a condição de aproximação dos grupos reativos é satisfeita. Esta conformação é correspondente a eclipsada do n-butano, portanto menos estável. Isto poderia explicar a formação exclusiva de XXV e a não observação de LXX.





A parte solúvel em éter após evaporação do solvente foi filtrada numa coluna de Florisil^R. A eluição com benzeno permitiu o isolamento da cetona XXIII(20%): rmp(CDCl₃, δ) 2,30(3H, s), 3,60(2H, s), 6,33(2H, m), 7,10-7,20(5H, m), 7,30(2H, s), 7,50(2H, s).

III.1.2 Reação de competição entre 3,5-dimetilpirazol e 2-amino-tiazol com a metilfenilciclopropenona

Dissolveu-se o 3,5-dimetilpirazol e o 2-aminotiazol em éter etílico e juntou-se a metilfenilciclopropenona, deixando-se em repouso durante 72 horas. O sólido insolúvel formado foi isolado por decantação e lavado com éter, fornecendo 0,122g de um sólido de cor branca de pf 134-135°C.

A estrutura deste sólido foi determinada pelos seus dados espectrais de iv e rmp.

O espéctro de rmp em CDCl₃ mostrou uma integração condizente com um produto de adição 1:1:1 com rendimento de 36%.

Em δ 2,16 com integração correspondente a três prótons, observou-se um singlet que foi atribuído a metila da posição 5 do pirazol.

Em δ 2,21 com integração relativa a seis prótons, notou-se um singuleto que foi relacionado a duas metilas, uma das quais associada a metila da posição 3 do pirazol.

Em δ 2,32 com integração indicando dois prótons, notou-se um sistema AB com constante de acoplamento $J=12$ Hz que foi associado a um grupo CH_2 vizinho a carbono assimétrico.

Na faixa entre δ 2,00 e 2,40 com integração correspondente a um próton, observou-se um singuleto muito largo que foi atribuído a um grupo OH.

Em δ 5,87 com integração indicando um próton, observou-se um singuleto que foi atribuído ao próton da posição 4 do pirazol.

Em δ 5,97 com integração correspondente a um próton, notou-se um dubbleto com constante de acoplamento $J=4,8$ Hz que foi associado ao próton da posição 5 do anel proveniente do 2-aminotiazol.

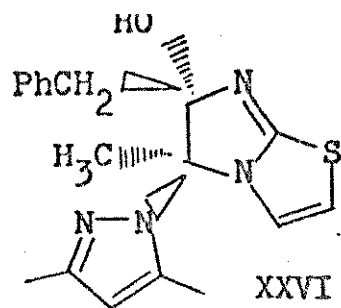
Em δ 6,59 com integração indicando um próton, observou-se novamente um dubbleto com constante de acoplamento $J=4,8$ Hz, que foi atribuído ao próton da posição 4 do anel proveniente do 2-aminotiazol.

Na faixa entre δ 7,20 e 7,30 com integração correspondente a cinco prótons, observou um multiplet que foi relacionado a um grupo fenila.

O espéctro de iv em KBr apresentou as seguintes absorções principais: 1587, 1541, 1495 e 1343 cm^{-1} . Com OH em 3101 cm^{-1} .

A análise elementar apresentou um resultado condizente com um composto de fórmula molecular $\text{C}_{18}\text{H}_{20}\text{N}_4\text{OS:C-63,38, H- 5,78 , N-1642.}$

Os dados acima sugerem para o composto a estrutura de uma 5,6-dihidroimidazo[2,1-b]tiazol:



A reação acima representa uma nova rota de síntese aos 5,6-dihidroimidazo[2,1-b]tiazóis, que são compostos que apresentam ampla atividade biológica¹⁴.

As rotas de síntese conhecidas a este sistema partem de derivados do tiazol e do imidazol¹⁴. Mais recentemente através da reação do etilenotioúreia com a 4-cloroacetoacetato de metila ou etila¹⁵.

A parte solúvel em éter etílico após evaporação do solvente num rotavaporador forneceu um óleo amarelo, que tratado com uma mistura de diclorometano e acetonitrila rendeu 0,195g(58%) de um sólido cristalino incolor, identificado como sendo a cetona XX:pf 149-150°C; iv(KBr, cm⁻¹) 1741, 1561, 1451, 1345.

III.1.3 Reação de competição entre pirazol e 2-amino-4-metilpiridina com a metilfenilciclopropenona

Dissolveu-se o pirazol e a 2-amino-4-metilpiridina em éter etílico e adicionou-se a metilfenilciclopropenona, deixando-se em repouso à temperatura ambiente durante 72 horas. O sólido insolúvel formado foi separado por filtração e lavado com éter, obtendo-se 0,122 g de um sólido branco de ponto de fusão 150-151°C.

A estrutura deste sólido foi determinada pelos seus dados espectrais de iv e rmp.

O espectro de rmp em CDCl₃ mostrou uma integração condizente com a formação de um produto de adição 1:1:1 com rendimento de 38%.

Em δ 2,04 com integração correspondente a três prótons, observou-se um doubleto com constante de acoplamento J=0,9 Hz, que foi associado a metila da posição 4 do anel proveniente da 2-amino-4-me-

tilpiridina.

Em δ 2,05 com integração indicando um próton, observou-se um singlet largo que foi associado a um grupo OH.

Em δ 2,09 com integração relativa a três prótons, notou-se um singlet que foi atribuído a uma metila.

Em δ 2,16 e 2,58 com integração de dois prótons, observou-se um sistema AB com constante acoplamento $J=13,8$ Hz, que foi relacionado a um grupo CH_2 vizinho a carbono assimétrico.

Em δ 5,69 com integração correspondente a um próton, notou-se um duplo dubbleto com constantes de acoplamento iguais a 7 Hz e 1,8 Hz, que foi atribuído ao próton da posição 5 do anel proveniente da 2-amino-4-metil-piridina.

Em δ 6,77 com integração relativa a um próton, observou-se um dubbleto com constante de acoplamento $J=7$ Hz, que foi atribuído ao próton da posição 6 do anel proveniente da 2-amino-4-metilpiridina.

Na faixa entre δ 7,00 e 7,20 com integração correspondente a cinco prótons, observou-se um multiplet que foi associado a um grupo fenila.

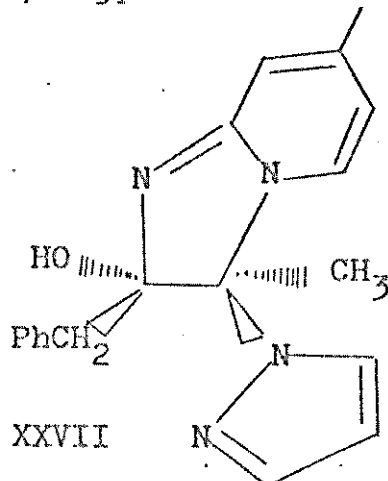
Em δ 7,24 com integração correspondente a um próton, notou-se um dubbleto com constante de acoplamento $J=2,7$ Hz, que foi atribuído ao próton da posição 5 do pirazol.

Em δ 7,54 com integração relativa a um próton, observou-se um dubbleto com constante de acoplamento $J=1,5$ Hz, que foi associado ao próton da posição 3 do pirazol.

O espectro de iv em KBr apresentou as seguintes absorções principais: 1655, 1560, 1493 e 1390 cm^{-1} . Com OH em 3434 cm^{-1} .

A análise elementar apresentou a seguinte composição centesimal: C-70,78, H-6,68, N-17,21. Mostrando tratar-se de um composto de fórmula molecular $\text{C}_{19}\text{H}_{20}\text{N}_4\text{O}$.

Os dados acima sugerem para o composto a estrutura de uma 2,3-dihidroimidazo[1,2-a]piridina XXVII



A parte solúvel em éter após evaporação do solvente ren deu um óleo amarelo, que foi cromatografado numa coluna de Florisil^R. A eluição com benzeno permitiu o isolamento de um óleo incolor iden tificado como sendo a cetona XXIII(59%):iv(filme, cm⁻¹) 1739, 1515, 1497, 1387.

A reação de competição entre pirazol e a 2-amino-4-me - tilpiridina com a metilfenilciclopropenona, levou a uma nova rota de síntese as 2,3-dihidroimidazo[1,2-a]piridinas, que são compostos que apresentam atividade biológica¹⁶.

As rotas de síntese conhecidas a este sistema partem da reação da 2-aminopiridina com α -haloésteres ou β -haloalcoois¹⁷.

III.1.4 Reação de competição entre 3,5-dimetilpirazol e 2-amino-4-metilpiridina com a metilfenilciclopropenona.

Dissolveu-se o 3,5-dimetilpirazol e a 2-amino-4-metilpi ridina em éter etílico e adicionou-se a metilfenilciclopropenona. A mistura foi deixada em repouso à temperatura ambiente durante 72 ho ras. A evaporação do solvente num rotavaporador forneceu um óleo ama relo, que tratado com uma mistura de diclorometano e acetonitrila ren

deu um sólido cristalino incolor (88%), cuja estrutura foi atribuída a cetona XX pelos seus dados espectrais: pf 149-150°C, iv (KBr, cm⁻¹) 1741, 1561, 1451, 1345.

III.2 Mecanismo da reação

O pirazol reage com 1 segundo o mecanismo da adição conjugada através de um ataque nucleofílico rápido e reversível no C-Me, para formar um intermediário ciclopropanona relativamente estável, cuja abertura proporcionou a formação de um intermediário dipolar 2, que por sua vez foi interceptado preferencialmente pelo 2-aminotiazol para formar o intermediário 6.

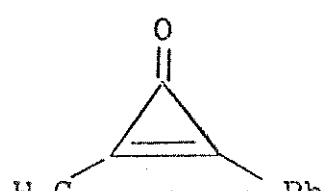
A ciclização deste intermediário ocorre segundo uma conformação de menor energia, que coloca a carbonila eclipsada com a metila¹⁸. Esta conformação preferencial permite a cada enantiômero do intermediário 6 ciclizar através de um ataque do grupo imino a uma das faces da carbonila, resultando numa mistura de dois enantiômeros cuja estereoquímica foi confirmada por análise de raio-x. O produto formado é uma 5,6-dihidroimidazo[2,1-b]tiazol(80%). Observou-se também em menor extensão a encoperação de uma outra molécula de pirazol ao intermediário dipolar 2 para formar a cetona 5a(20%). Quando no lugar do pirazol se emprega o 3,5-dimetilpirazol, observou-se que o produto principal é a cetona 5b(58%). Isto pode ser explicado através de dois fatores, o primeiro está relacionado com a maior compressão estérica em intermediários envolvendo o 3,5-dimetilpirazol e, o segundo pelo fato de ser o 3,5-dimetilpirazol mais nucleofílico que o pirazol. Observou-se também a formação do sistema 5,6-dihidroimidazo[2,1-b]tiazol 3b (36%).

A reação de competição entre o pirazol e 2-amino-4-metilpiridina com 1 levou a formação de uma 2,3-dihidroimidazo[1,2-a]piridina 4a (38%) e da cetona 5a(59%). O mecanismo é basicamente o proposto

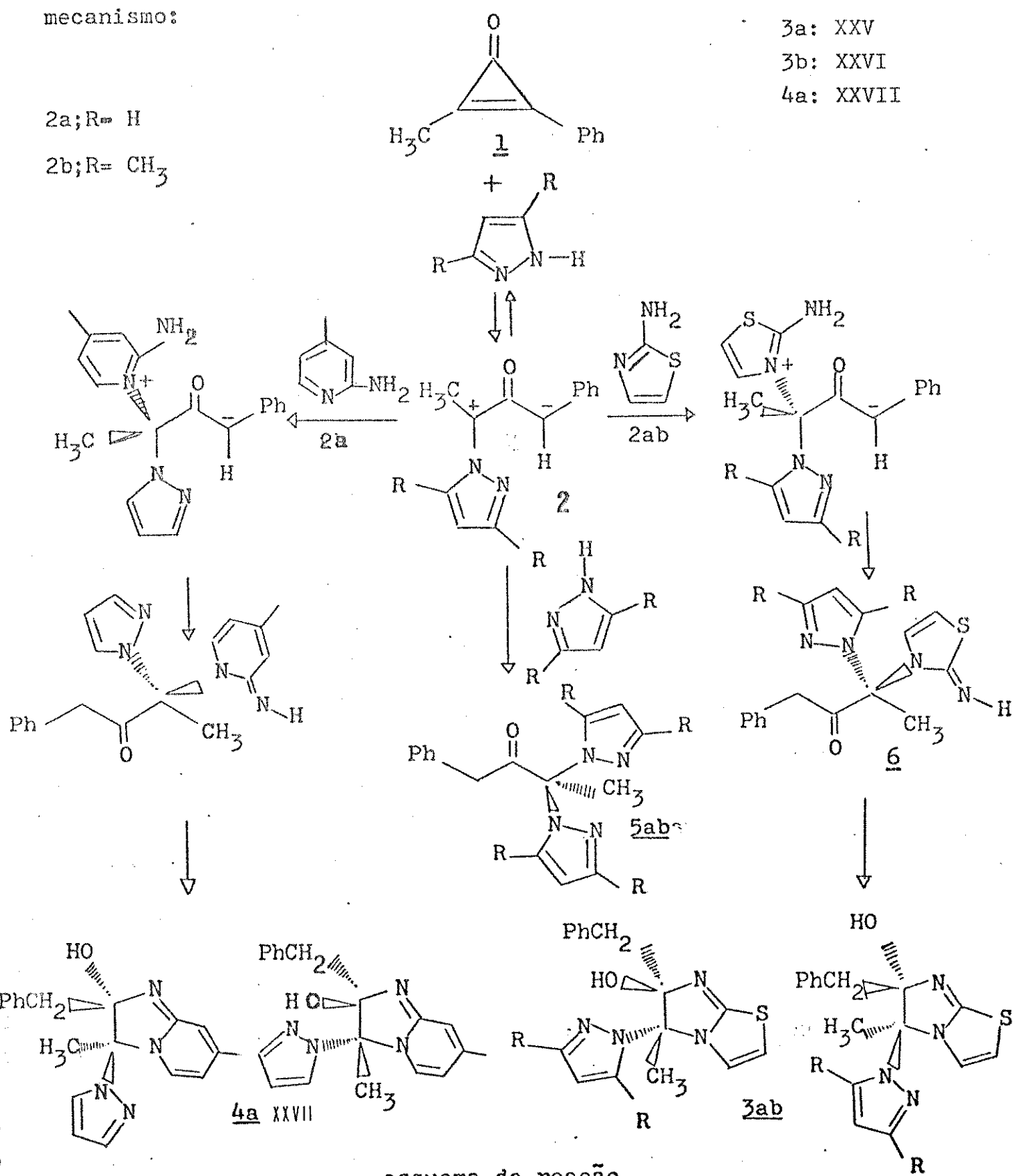
para o 2-aminotiazol. A diferença ocorre no que diz respeito ao rendimento que é bem menor, possivelmente devido ao impedimento estereoquímico dos intermediários envolvendo o núcleo 2-aminopiridina. Isto pode ser melhor compreendido quando se fêz a troca do pirazol pelo 3,5-dimetilpirazol, onde a cetona 5b foi formada como produto único(88%). mecanismo:

2a; R= H

2b; R= CH₃



3a: XXV
3b: XXVI
4a: XXVII



esquema da reação

Composto 3a

3a (XXV)

Tabela 2

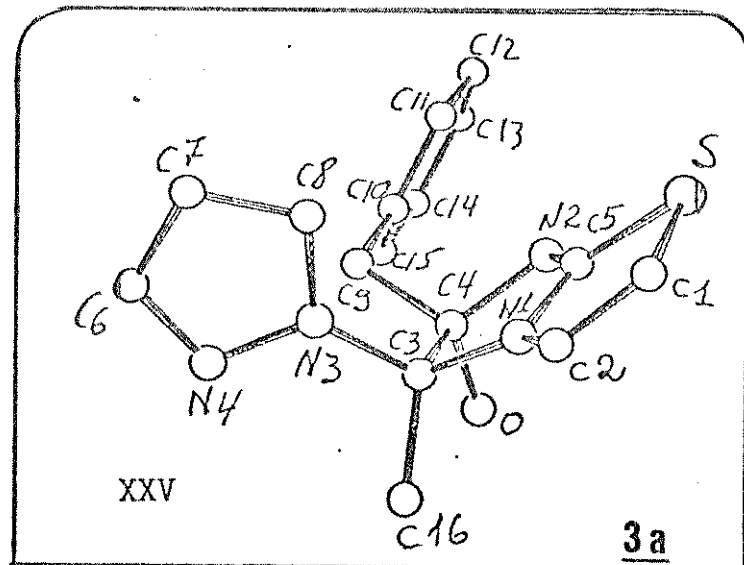
Análise de raio-x

S	-	C1	1.759(3)	S	-	C5	1.742(3)
O	-	C4	1.402(3)	H2	-	C4	1.475(3)
N2	-	C5	1.281(3)	N1	-	C2	1.387(4)
N1	-	C3	1.448(3)	N1	-	C5	1.369(3)
N3	-	N4	1.353(3)	N3	-	C3	1.480(3)
N3	-	C8	1.356(3)	N4	-	C6	1.332(3)
C1	-	C2	1.325(4)	C3	-	C4	1.609(4)
C3	-	C16	1.516(4)	C4	-	C9	1.536(3)
C6	-	C7	1.373(4)	C7	-	C8	1.367(4)
C9	-	C10	1.506(4)	C10	-	C11	1.383(4)
C10	-	C15	1.382(4)	C11	-	C12	1.383(4)
C12	-	C13	1.376(5)	C13	-	C14	1.373(5)
C14	-	C15	1.391(4)				

INTERMOLECULAR HYDROGEN BOND

O	-	N2	2.876(3)
---	---	----	----------

C1	-	S	-	C5	90.1(1)	C4	-	N2	-	C5	105.7(2)
C2	-	N1	-	C3	134.1(2)	C2	-	N1	-	C5	115.9(2)
C3	-	N1	-	C5	109.1(2)	N4	-	N3	-	C3	119.1(2)
N4	-	N3	-	C8	112.4(2)	C3	-	N3	-	C8	127.8(2)
N3	-	N4	-	C6	103.4(2)	S	-	C1	-	C2	112.8(2)
N1	-	C2	-	C1	111.9(2)	N1	-	C3	-	N3	106.5(2)
N1	-	C3	-	C4	99.7(2)	N1	-	C3	-	C16	112.9(2)
N3	-	C3	-	C4	112.5(2)	N3	-	C3	-	C16	110.0(2)
C4	-	C3	-	C16	114.7(2)	O	-	C4	-	N2	110.7(2)
O	-	C4	-	C3	107.0(2)	O	-	C4	-	C9	110.1(2)
N2	-	C4	-	C3	106.2(2)	N2	-	C4	-	C9	109.9(2)
C3	-	C4	-	C9	112.8(2)	S	-	C5	-	N2	132.4(2)
S	-	C5	-	N1	109.3(2)	N2	-	C5	-	N1	118.3(2)
N4	-	C6	-	C7	112.9(3)	C6	-	C7	-	C8	105.2(3)
N3	-	C8	-	C7	106.2(2)	C4	-	C9	-	C10	112.7(2)
C9	-	C10	-	C11	119.6(2)	C9	-	C10	-	C15	121.7(2)
C11	-	C10	-	C15	118.7(2)	C10	-	C11	-	C12	120.8(3)
C11	-	C12	-	C13	120.1(3)	C12	-	C13	-	C14	119.9(3)
C13	-	C14	-	C15	120.0(3)	C10	-	C15	-	C14	120.6(3)



III.1.5 Reação de competição entre o pirazol e 2-amino-6-metilpiridina com a metilfenilciclopropenona

Dissolveu-se o pirazol e a 2-amino-6-metilpiridina em éter etílico e juntou-se a metilfenilciclopropenona. A solução foi deixada em repouso à temperatura ambiente durante 72 horas. O sólido insolúvel formado foi separado por filtração e lavado com éter etílico, dando 0,257 g de um sólido de ponto de fusão 133-135°C.

A estrutura do composto foi deduzida a partir de seus dados espectrais de iv e rmp.

O espéctro de rmp em CDCl_3 do sólido mostrou a formação de um composto de adição 1:1:1 com rendimento de 82 % .

Em δ 2,20 com integração correspondente a seis prótons, observaram-se dois singletos que foram associados a duas metilas, uma das quais foi atribuída a metila da posição 6 da piridina.

Em δ 3,70 com integração indicando dois prótons, observou-se um sistema AB com constante de acoplamento $J=16$ Hz, que foi relacionado a um grupo CH_2 vizinho a um carbono assimétrico.

Em δ 6,08 com integração relativa a um próton, observou-se um dubbleto com constante de acoplamento $J=7,6$ Hz, que foi atribuído ao próton da posição 5 da piridina.

Em δ 6,20 com integração relativa a um próton, notou -se um singleto largo que foi associado ao próton da posição 4 do pirazol.

Em δ 6,26 com integração igual a um próton, observou-se um singleto largo que foi associado a um hidrogênio sobre nitrogênio.

Em δ 6,50 com integração de um próton, observou-se um dubbleto com constante de acoplamento $J=7,6$ Hz, que foi associado ao próton da posição 3 da piridina.

Na faixa entre δ 6,90 e 7,40 com integração correspondente a seis prótons, observou-se um multiplet que foi atribuído a um grupo fenila e ao próton da posição 4 da piridina.

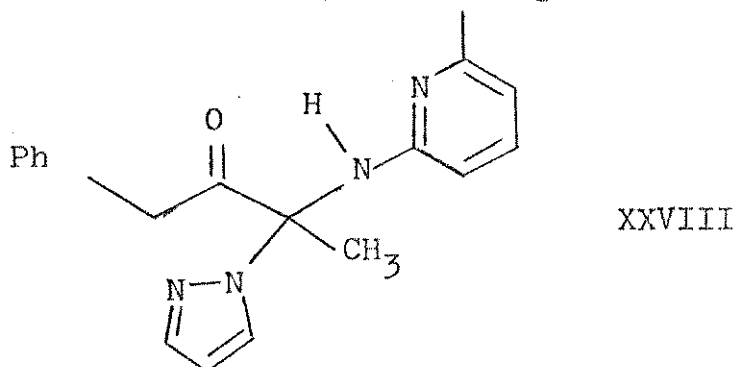
Em δ 7,60 com integração indicando um próton, notou-se um singuleto largo que foi relacionado ao próton da posição 5 do pirazol.

Em δ 7,80 com integração relativa a um próton, observou-se um dubbleto com constante de acoplamento $J=2$ Hz, que foi atribuído ao próton da posição 3 do pirazol.

O espéctro de iv em KBr apresentou as seguintes absorções principais: 3268, 1735, 1603, 1583 e 1550 cm^{-1} .

A análise elementar revelou a seguinte composição ceñtesimal: C-71,23, H-6,20, N-17,11. Mostrando tratar-se de um composto de fórmula molecular $\text{C}_{19}\text{H}_{20}\text{N}_4\text{O}$.

Com os dados acima chegou-se a seguinte estrutura:



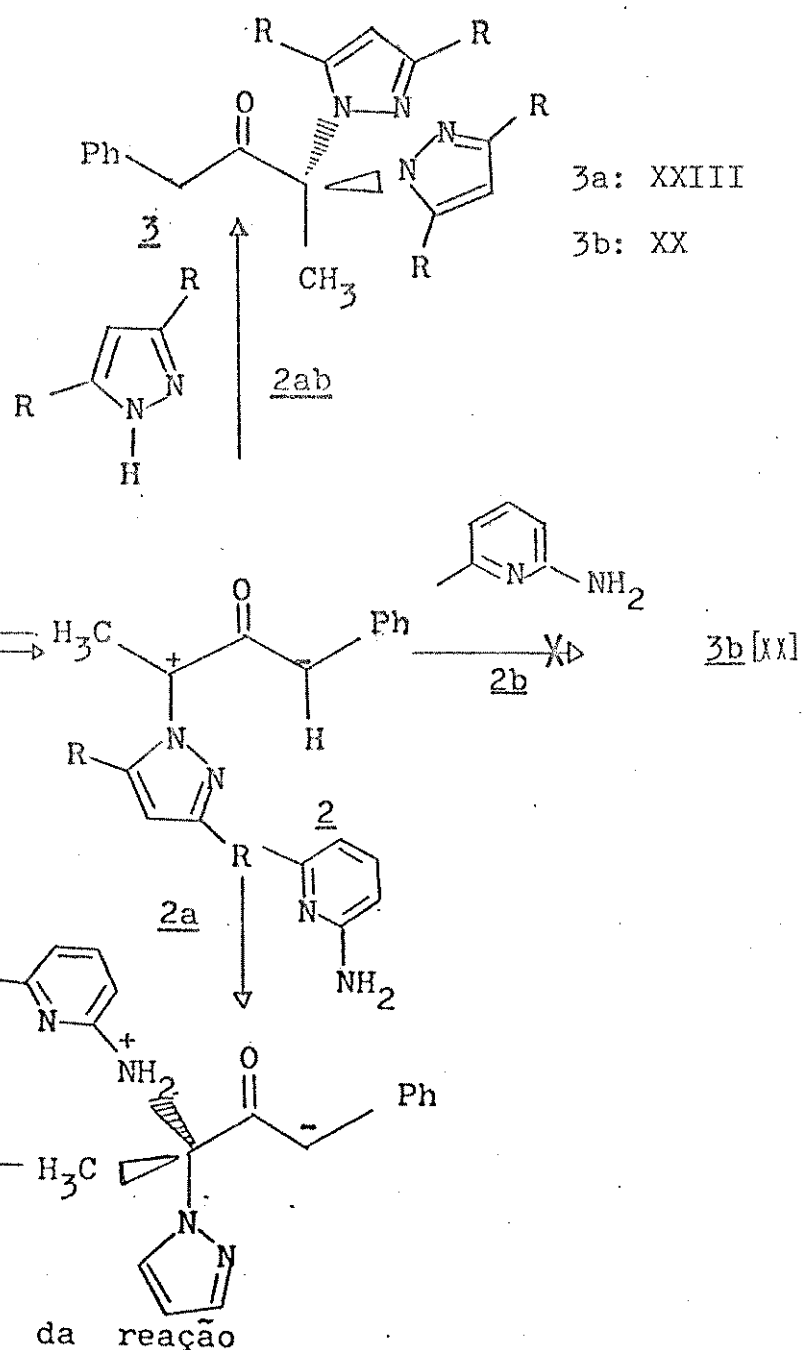
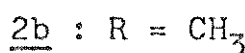
A fração solúvel em éter após a evaporação do solvente num rotavaporador rendeu um óleo amarelo, que foi cromatografado numa coluna de Florisil^R. A eluição com benzeno permitiu o isolamento de um óleo incolor identificado como sendo a cetona XXIII(15%).

III.1.6 Reação de competição entre 3,5-dimetilpirazol e 2-amino-6-metilpiridina com a metilfenilciclopropenona

Dissolveu-se o 3,5-dimetilpirazol e a 2-amino-6-metilpiridina em éter etílico e adicionou-se a metilfenilciclopropenona. Esta solução foi deixada em repouso à temperatura ambiente por 3 dias. Após a evaporação do solvente rendeu um óleo amarelo que tratado com acetoni-trila permitiu isolar a cetona XX(90%).

III.3 Mecanismo da reação

A reação de competição entre pirazol e 2-amino-6-metilpiridina com 1 levou a formação do composto XXVIII(82%) e da cetona XXIII(15%). Aqui a intercepção do intermediário dipolar é feita pelo nitrogênio do grupo amino, já que o nitrogênio piridínico está sob o efeito de um impedimento estereoquímico proporcionado pela metila da posição seis. Quando a reação é realizada com o 3,5-dimetilpirazol no lugar do pirazol a cetona XX(90%) é formada como produto único, que é explicado pelo fato do 3,5-dimetilpirazol ser mais nucleofílico que o pirazol.



III.1.7 Reação de competição entre pirazol e anilina com a metilfenilciclopropenona

Dissolveu-se o pirazol e a anilina em éter etílico e adicionou-se a metilfenilciclopropenona, deixando-se a solução em repouso à temperatura ambiente durante 1 dia. O solvente evaporado num rotavaporador forneceu um óleo amarelo, cujo rmp em CDCl_3 mostrou a formação do composto XXIX: rmp(CDCl_3) δ 1,90(3H, s), 4,25(2H, s), 7,00-7,40(H-arômáticos, m).

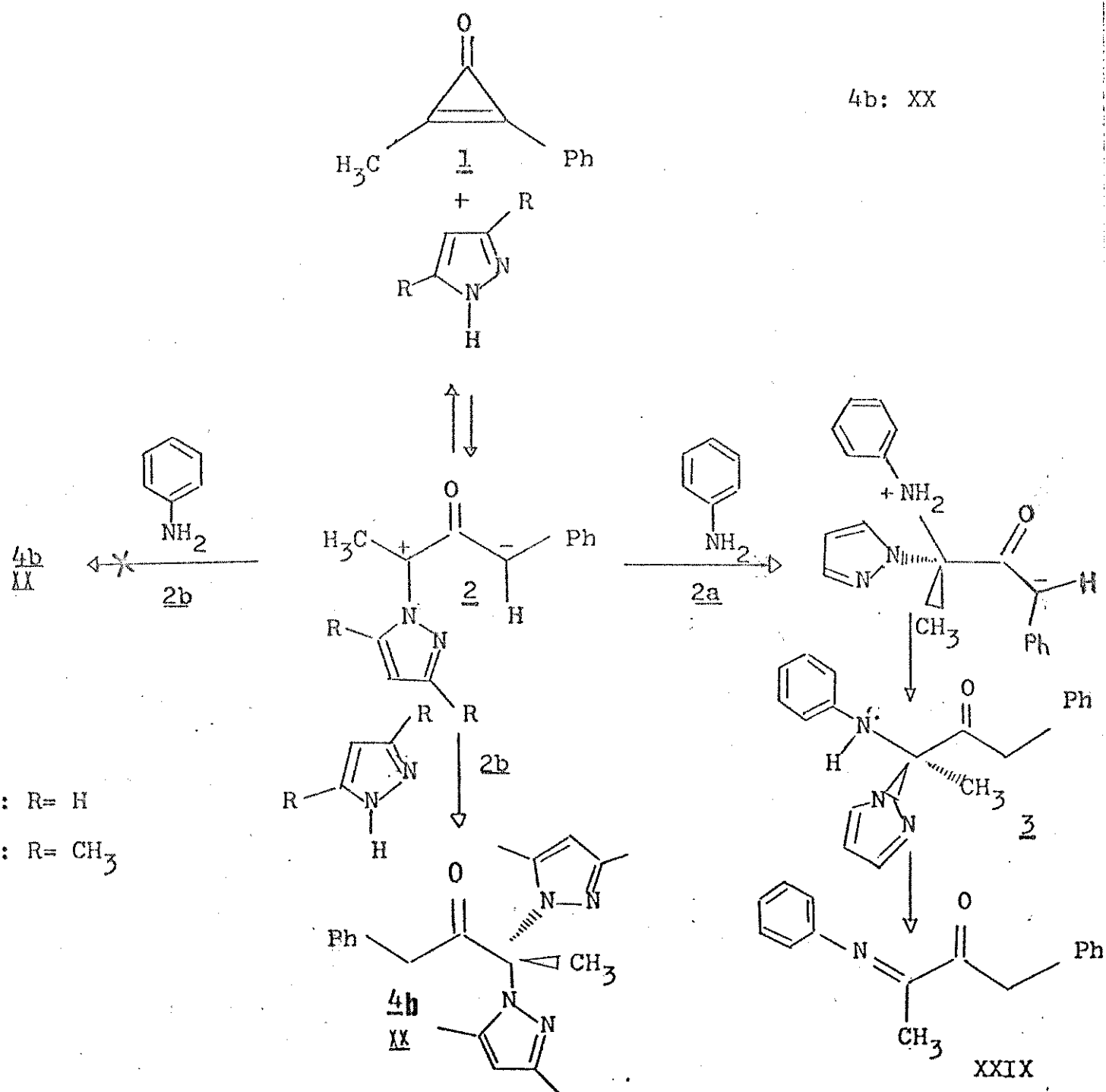
A obtenção deste composto na presença do pirazol reforça a idéia de que sua formação ocorre via intermediário dipolar, obtido da reação de 1 com o pirazol.

III.1.8 Reação de competição entre 3,5-dimetilpirazol e anilina com a metilfenilciclopropenona

O 3,5-dimetilpirazol e a anilina foram dissolvidos em éter etílico juntando-se em seguida a metilfenilciclopropenona, deixando-se a solução em repouso à temperatura ambiente durante 3 dias. O solvente evaporado num rotavaporador forneceu um óleo amarelo, que tratado com uma mistura de diclorometano e acetonitrila, permitiu o isolamento da cetona XX(86%): pf 149-150°C; iv(KBr, cm^{-1}) 1741, 1561, 1451, 1345.

III.4 Mecanismo da reação

A anilina não reage com 1 mas foi capaz de interceptar o intermediário dipolar 2. O par de elétrons sobre o nitrogênio proveniente da anilina do intermediário 3, deslocou o pirazol para formar o composto XXIX. Quando se trocou o pirazol pelo 3,5-dimetilpirazol, observou-se como produto único a cetona XX, que pode ser explicado pela maior nucleofilia do nitrogênio do 3,5-dimetilpirazol.



Com o objetivo de comparar os resultados acima obtidos com aqueles envolvendo a provável participação do intermediário ceteno, as reações foram repetidas com a difenilciclopropenona em substituição a metilfenilciclopropenona.

IV. Reação entre a difenilciclopropenona e os pirazóis

IV.1 Reação processada em benzeno

Dissolveu-se o pirazol desejado em benzeno e adicionou-se a difenilciclopropenona, deixando-se a solução em repouso à temperatura ambiente durante 72 horas.

IV.1.1 Reação com 3,5-dimetilpirazol

Preparou-se uma solução de difenilciclopropenona e 3,5-dimetilpirazol em benzeno, deixando-se em repouso à temperatura ambiente por 72 horas. O solvente evaporado num rotavaporador forneceu um sólido pastoso, que triturado com éter de petróleo rendeu 0,167g(42%) de um sólido branco de ponto de fusão 161-163°C, cujo rmp em CDCl_3 mostrou uma integração condizente com um produto de adição de uma molécula de difenilciclopropenona para duas de 3,5-dimetilpirazol (adição 1:2).

A elucidação da estrutura do sólido foi baseada em seus dados espectrais de iv, rmp e massa.

Em δ 2,11 com integração correspondente a três prótons, notou-se um singlet que foi atribuído a metila da posição 5 do pirazol J.

Em δ 2,18 com integração igual a três prótons, observou-se um singlet que foi associado a metila da posição 3 do pirazol J.

Em δ 2,20 com integração relativa a três prótons, notou-se um singlet que foi relacionado a metila da posição 3 do pirazol K.

Em δ 2,36 com integração correspondente a três prótons, notou-se um singlet que foi atribuído a metila da posição 5 do pirazol K. Esta metila foi encontrada em campo mais baixo devido ao efeito de desblindagem do grupo carbonila.

Em δ 5,75 com integração igual a um próton, observou-se um singlet que foi atribuído ao próton da posição 4 do pirazol J.

Em δ 5,79 com integração correspondente a um próton, observou-se um doubleto com constante de acoplamento $J=11,4$ Hz.

Em δ 5,81 com integração igual a um próton, observou-se um singlet que foi associado ao próton da posição 4 do pirazol K.

Em δ 6,29 com integração relativa a um próton, notou-se um doubleto com constante de acoplamento $J=11,4$ Hz.

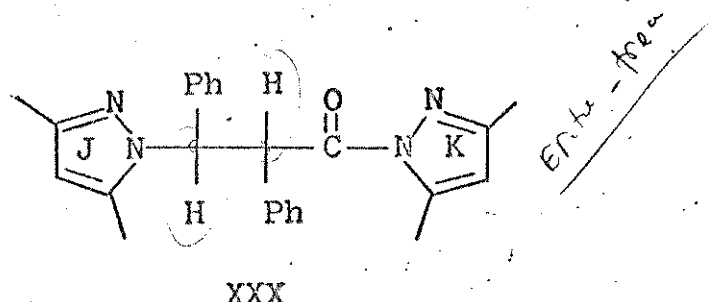
Na faixa entre δ 7,00 e 7,33 com integração correspondente a dez prótons, observou-se um multiplet que foi associado a duas fenilas.

O espéctro de iv em KBr apresentou as seguintes absorções principais: 1716, 1554, 1455 e 1376 cm^{-1} .

A espectroscopia de massa forneceu o pico do íon molecular (398 uma), mostrando tratar-se de um composto de fórmula $C_{25}H_{26}N_4O$.

A análise elementar revelou a seguinte composição centesimal: C-75,34, H-6,59, N-14,06. Este resultado confirma mais uma vez a formação de um composto 1:2.

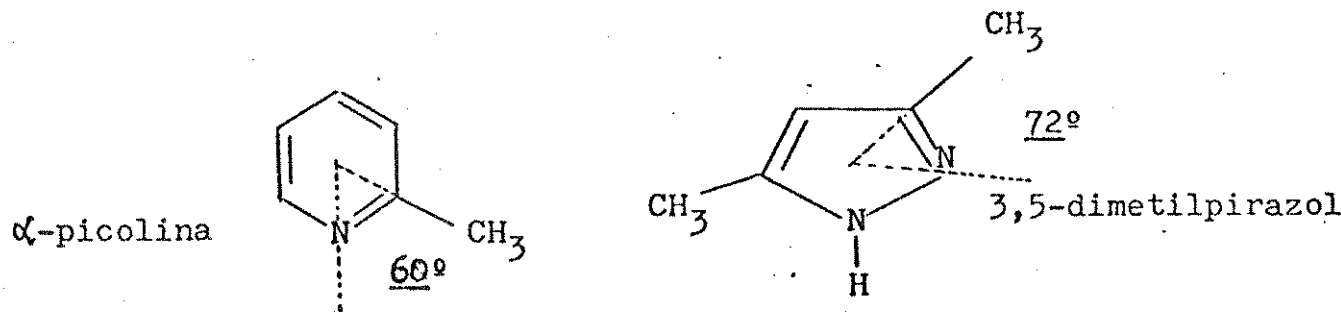
Com os dados acima chegou-se a seguinte estrutura:



A fração solúvel concentrada num rotavaporador forneceu um óleo amarelo cujo rmp em CCl_4 mostrou tratar-se de uma mistura constituída principalmente de 3,5-dimetilpirazol e por traços dos diastereoisômeros da cetona XXX. Este material foi cromatografado numa coluna de Florisil^R usando uma mistura de benzeno e éter como eluente, para dar 0,036g de um sólido branco identificado como sendo o 3,5-dimetilpirazol:pf 105-107°C;iv(KBr, cm^{-1}) 3200, 2400, 1595, 1482, 1435.

Esperava-se no entanto encontrar uma mistura enriquecida com o diastereoisômero minoritário. O isolamento de uma grande quantidade do 3,5-dimetilpirazol, associada a uma mudança de cor durante o isolamento do diastereoisômero majoritário, permitiu concluir que o diastereoisômero minoritário se decomponha possivelmente devido a fatores relacionados com a sua estereoquímica.

O 3,5-dimetilpirazol como foi visto acima reagiu com a α -fenilciclopropenona enquanto que a α -picolina não reage mesmo sob condições de aquecimento prolongado⁸. Isto pode ser explicado pelo fato de que a metila da posição 3 do pirazol proporcionar um impedimento estereoquímico não suficiente para impedir a reação, devido a sua geometria mais favorável que leva a um afastamento maior da metila do nitrogênio nucleófilo.



IV.1.2 Reação com 3(5)-metilpirazol

Preparou-se uma solução com difenilciclopropenona e 3(5)-metilpirazol em benzeno, deixando-se em repouso à temperatura ambiente durante 72 horas. O solvente evaporado num rotavaporador forneceu um óleo amarelo cujo rmp em CCl_4 mostrou a formação de uma mistura diastereoisomérica mais complexa, devido ao emprego de um pirazol assimétricamente substituído. O óleo amarelo tratado com éter de petróleo permitiu o isolamento de um sólido branco (35%) de ponto de fusão 136-138°C.

A elucidação da estrutura deste sólido foi baseada em dados espectrais de iv e rmp.

O espéctro de rmp em CCl_4 mostrou tratar-se do diastereoisômero mais abundante.

Em δ 2,13 com integração correspondente a três prótons, observou-se um singlet que foi atribuído a metila da posição 5 do pirazol J.

Em δ 2,29 com integração indicando três prótons, observou-se um singlet que foi associado a metila da posição 3 do pirazol K.

Em δ 5,81 com integração relativa a um próton, notou-se um dubbleto com constante de acoplamento $J=11,6$ Hz.

Em δ 5,84 com integração igual a um próton, observou-se um dubbleto com constante de acoplamento $J=1,9$ Hz, que foi atribuído ao próton da posição 4 do pirazol J.

Em δ 6,04 com integração correspondente a um próton, notou-se um dubbleto com constante de acoplamento $J=2,6$ Hz, que foi atribuído ao próton da posição 4 do pirazol K.

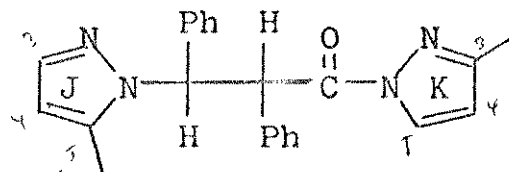
Em δ 6,09 com integração indicando um próton, observou-se um dubbleto com constante de acoplamento $J=11,6$ Hz.

Na faixa entre δ 7,0 e 7,3 com integração relativa a onze prótons, observou-se um multipleto que foi associado a dois grupos fenilas, e a um próton da posição 3 do pirazol J.

Em δ 7,93 com integração correspondente a um próton, notou-se um dubletô com constante de acoplamento $J=2,6$ Hz, que foi relacionado ao próton da posição 5 do pirazol K. Este próton foi encontrado em campo mais baixo que o esperado devido ao efeito de desblindagem adicional do grupo carbonila.

O espectro de iv em KBr mostrou as principais absorções em: 1712, 1521, 1452 e 1414 cm^{-1} .

Com os dados acima chegou-se a seguinte estrutura :



XXXI

A espectroscopia de rmp mostra que o tautômero 5-metilpirazol predomina no sistema 3(5)-metilpirazol¹². Embora o 5-metilpirazol predomine, o resultado acima mostra que é o 3-metilpirazol que inicia a reação com a difenilciclopropenona, apesar de ser mais impedido e também mais nucleofílico. É só numa etapa posterior que o 5-metilpirazol reage para formar o diastereoisômero majoritário XXXI.

A fração solúvel concentrada num rotavaporador forneceu um óleo amarelo, cujo rmp em CCl_4 mostrou uma mistura diastereoisomérica, onde ainda é predominante a presença do XXXI.

Devido à complexidade da mistura não foi possível conseguir a separação dos demais diastereoisômeros.

IV.1.4 Reação com 4-metilpirazol

Preparou-se uma solução de difenilciclopropenona e 4-metilpirazol em benzeno, deixando-se em repouso à temperatura ambiente por 72 horas. A solução amarela resultante foi concentrada e transferida para uma coluna de Florisil^R e eluída com benzeno. A evaporação do solvente forneceu 0,134g de um sólido branco de pf 95-112°C.

O espectro de rmp em CDCl₃ do sólido mostrou ser de um composto de adição 1:2, uma mistura diastereoisomérica de seus dois diastereoisômeros na proporção de 1:2, determinada pela proporção das áreas dos doubletos em δ 6,30 e 6,46, com rendimento de 85%.

O sólido branco foi recristalizado a partir de uma mistura de diclorometano e hexano, fornecendo 0,104g(28%) de um sólido branco de ponto de fusão 114-116°C.

A elucidação da estrutura deste sólido foi baseada em dados espectrais de rmp e iv.

O espectro de rmp em CDCl₃ mostrou tratar-se do diastereoisômero mais abundante.

Em δ 1,95 com integração correspondente a três protones, notou-se um singuleto que foi atribuído a metila da posição 4 do pirazol J.

Em δ 1,98 com integração igual a três protones observou-se um singuleto que foi associado a metila da posição 4 do pirazol K.

Em δ 5,90 com integração correspondente a um próton, notou-se um doubleto com constante de acoplamento J= 11,6 Hz.

Em δ 6,29 com integração indicando um próton, observou-se um doubleto com constante de acoplamento J= 11,6 Hz.

Na faixa entre δ 7,00 e 7,18 com integração relativa a dez protones, observou-se um multiplet que foi associado a dois grupos fenilas.

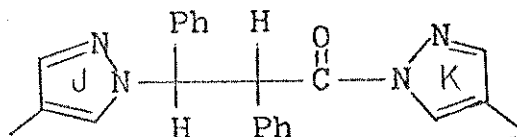
Em δ 7,23 com integração relativa a dois prótons, notou-se um singuleto largo que foi atribuído aos prótons das posições 3 e 5 dopirazol J.

Em δ 7,50 com integração indicando um próton, observou-se um singuleto largo que foi relacionada ao próton da posição 3 do pirazol K.

Em δ 7,83 com integração igual a um próton, observou-se um singuleto largo que foi atribuído ao próton da posição 5 do pirazol K. Este próton foi encontrado em campo mais baixo devido ao efeito de desblindagem adicional do grupo carbonila.

O espetro de iv em KBr mostrou as principais absorções em: 1723, 1581, 1553 e 1428 cm^{-1} .

Com os dados acima chegou-se a seguinte estrutura :



XXXII

IV.1.4 Reação com pirazol

A reação processou-se dissolvendo a difenilciclopropeno na e o pirazol em benzeno. A solução permaneceu em repouso à temperatura ambiente durante 72 horas. O solvente evaporado num rotavaporador forneceu um sólido pastoso, que triturado com éter de petróleo permitiu o isolamento de 0,280(82%) de um sólido branco, cujo rmp em CDCl_3 mostrou tratar-se de uma mistura diastereoisomérica de dois diastereoisômeros na proporção de 1:2. Este material recristalizado com uma mistura de diclorometano e hexano permitiu o isolamento de um só lido branco(35%) de ponto de fusão 168-170°C.

A elucidação da estrutura deste sólido foi baseada em dados espetrais de iv e rmp.

O espetro de rmp em CCl_4 mostrou tratar-se do diastereoisômero mais abundante.

Em δ 5,82 com integração correspondente a um próton, notou-se um triplete com constante de acoplamento $J=1,8$ Hz, que foi atribuído ao próton da posição 4 do pirazol J.

Em δ 5,83 com integração igual a um próton, observou-se um doubleto com constante de acoplamento $J= 11,6$ Hz.

Em δ 6,27 com integração referente a um próton, observou-se um duplo doubleto com constantes de acoplamentos iguais a 2,8 e 1,4 Hz, que foi associado ao próton da posição 4 do pirazol K.

Em δ 6,41 com integração referente a um próton, observou-se um doubleto com constante de acoplamento $J= 11,6$ Hz.

Na faixa entre δ 7,03 e 7,41 com integração correspondente a dez prótons, observou-se um multiplete que foi atribuído a presença de dois grupos fenilas.

Em δ 7,60 com integração correspondente a um próton, notou-se um singleto largo que foi associado ao próton da posição 5 do pirazol J.

Em δ 7,63 com integração referente a um próton, observou-se um singleto largo que foi atribuído ao próton da posição 3 do pirazol J.

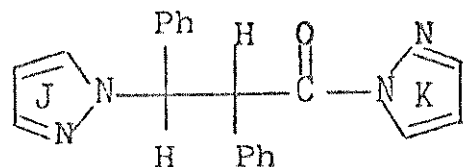
Em δ 7,65 com integração igual a um próton, observou-se um singleto largo que foi atribuído ao próton da posição 3 do pirazol K.

Em δ 7,97 com integração referente a um próton, notou-se um doubleto com constante de acoplamento $J=2,8$ Hz que foi atribuído ao próton da posição 5 do pirazol K. Este próton foi encontrado em campo mais baixo devido ao efeito de desblindagem adicional do grupo carbonila.

O espectro de iv em KBr apresentou as seguintes absorções: 1716, 1490, 1415, 1389 e 1356 cm^{-1} .

A análise elementar apresentou a seguinte composição cên-tesimal: C-73,37, H-5,30, N-15,52, mostrando tratar-se de um composto de fórmula molecular $\text{C}_{21}\text{H}_{18}\text{N}_4\text{O}$.

Com os dados acima chegou-se a seguinte estrutura :

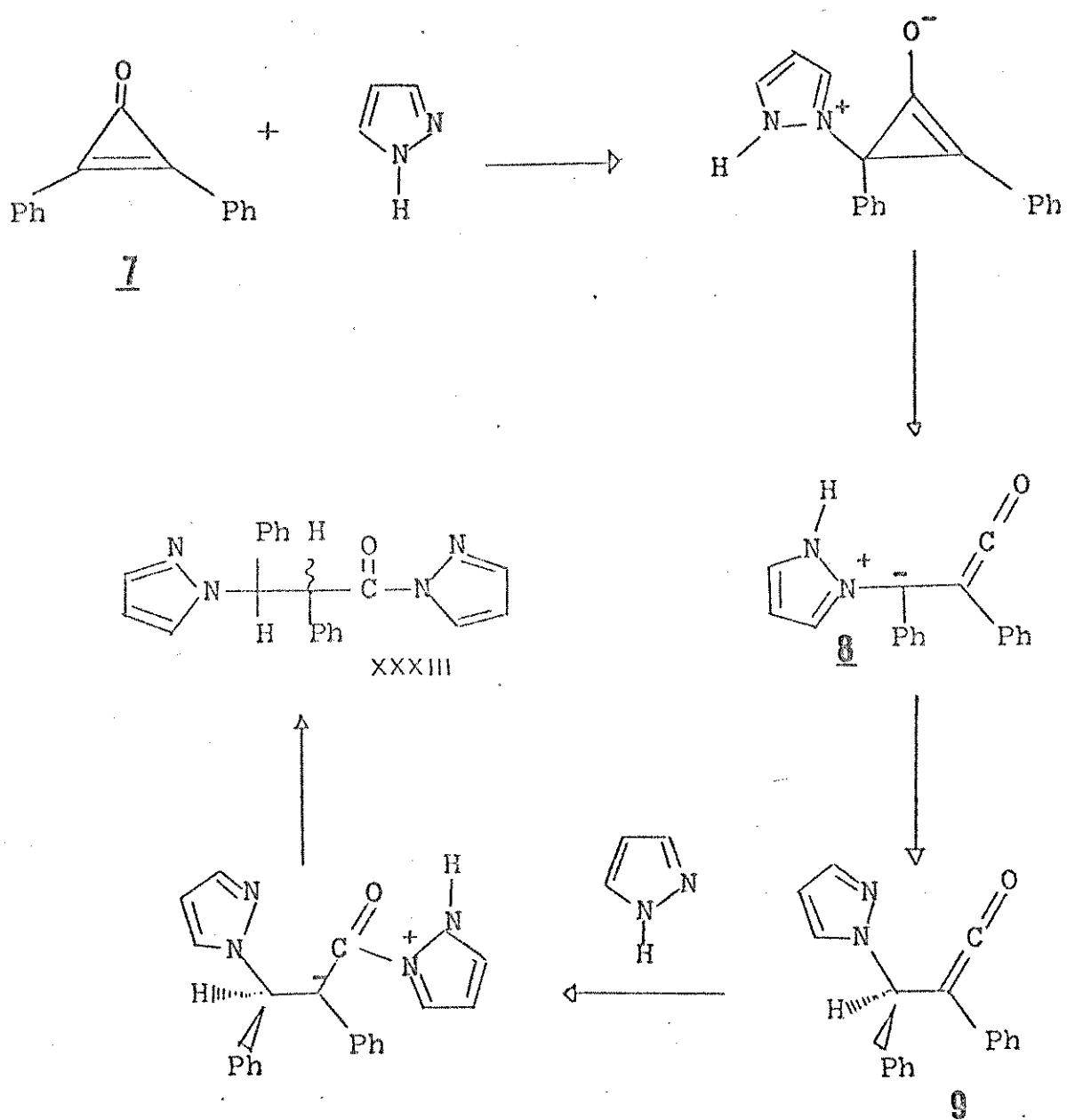


XXXIII

IV.2 Mecanismo da reação

A difenilciclopropenona reage com os 1-H-pirazóis em ben-zeno à temperatura ambiente, segundo o mecanismo da adição conjugada (Michael) com a abertura do anel de três carbonos e formação do inter-mediário ceteno 9. O ceteno formado sofre ataque nucleofílico de uma outra molécula de pirazol para formar a cetona XXXIII.

O esquema do mecanismo que é proposto a seguir, baseia-se fundamentalmente na transferência do hidrogênio do grupo NH dos pi razóis na intercepção de intermediários.



esquema da reação

IV.3 Reacção processada em refluxo de benzeno

Com a finalidade de otimizar o tempo das reacções de I com os 1-H-pirazóis, as reacções acima foram processadas em refluxo de benzeno.

Dissolveu-se o pirazol desejado em benzeno e juntou-se a difenilciclopropenona(I). A solução resultante foi refluxada por 12 horas. Os resultados obtidos são concordantes com aqueles obtidos à temperatura ambiente, com excessão do 3,5-dimetilpirazol.

IV.3.1 Reacção com 3,5-dimetilpirazol

Preparou-se uma solução de difenilciclopropenona (I) e 3,5-dimetilpirazol em benzeno, e procedeu-se um refluxo por 12 horas. O solvente evaporado num rotavaporador forneceu um sólido pastoso, cujo rmp em CCl_4 mostrou a formação da cetona XXX como uma mistura de dois diastereoisômeros na proporção de 1:6. O sólido pastoso foi triturado com éter de petróleo permitindo o isolamento de 0,139 g (35%) de um sólido branco correspondente ao diastereoisômero mais abundante: pf 161-163°C; rmp(CCl_4 , δ) 2,09(3H, s), 2,18(3H, s), 2,19(3H, s), 2,37(3H, s), 5,62(1H, d, $J=11,4$ Hz), 5,63(1H, s), 5,75(1H, s), 6,13(1H, d, $J=11,4$ Hz), 7,00-7,35(10 H, m); iv(KBr, cm^{-1}) 1716, 1554, 1455 e 1376.

A parte solúvel foi concentrada e transferida para uma coluna de Florisil^R e eluída inicialmente com benzeno. A evaporação do solvente rendeu 0,066g de um sólido amorfo de cor branca de ponto de fusão 75-77°C.

A elucidação da estrutura do sólido foi baseada em dados espectrais de iv e rmp.

O espectro de rmp em CCl_4 do sólido mostrou ser de um composto 1:1, com rendimento igual a 22 %.

Em δ 2,00 com integração correspondente a três prótons, notou-se um singuleto que foi atribuído a metila da posição 3 do pirazol.

Em δ 2,60 com integração igual a três prótons, observou-se um singuleto que foi associado a metila da posição 5 do pirazol. Esta metila foi encontrada em campo mais baixo devido ao efeito de desblindagem adicional do grupo carbonila.

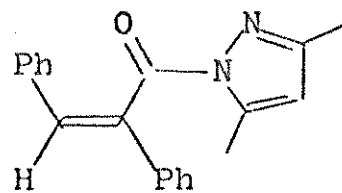
Em δ 5,80 com integração correspondente a um próton, observou-se um singuleto que foi atribuído ao próton da posição 4 do pirazol.

Em δ 6,90 com integração igual a um próton, notou-se a presença de um singuleto que foi relacionado com o próton olefínico do ácido trans 2,3-difenilacrílico¹⁹.

Na faixa entre δ 7,10 e 7,40 com integração relativa a dez prótons, observou-se um multiplet associado a dois grupos fenilas.

O espectro de iv em KBr apresentou as principais absorções em: 1706, 1588, 1500 e 1384 cm^{-1} .

Com os dados acima chegou-se a seguinte estrutura :

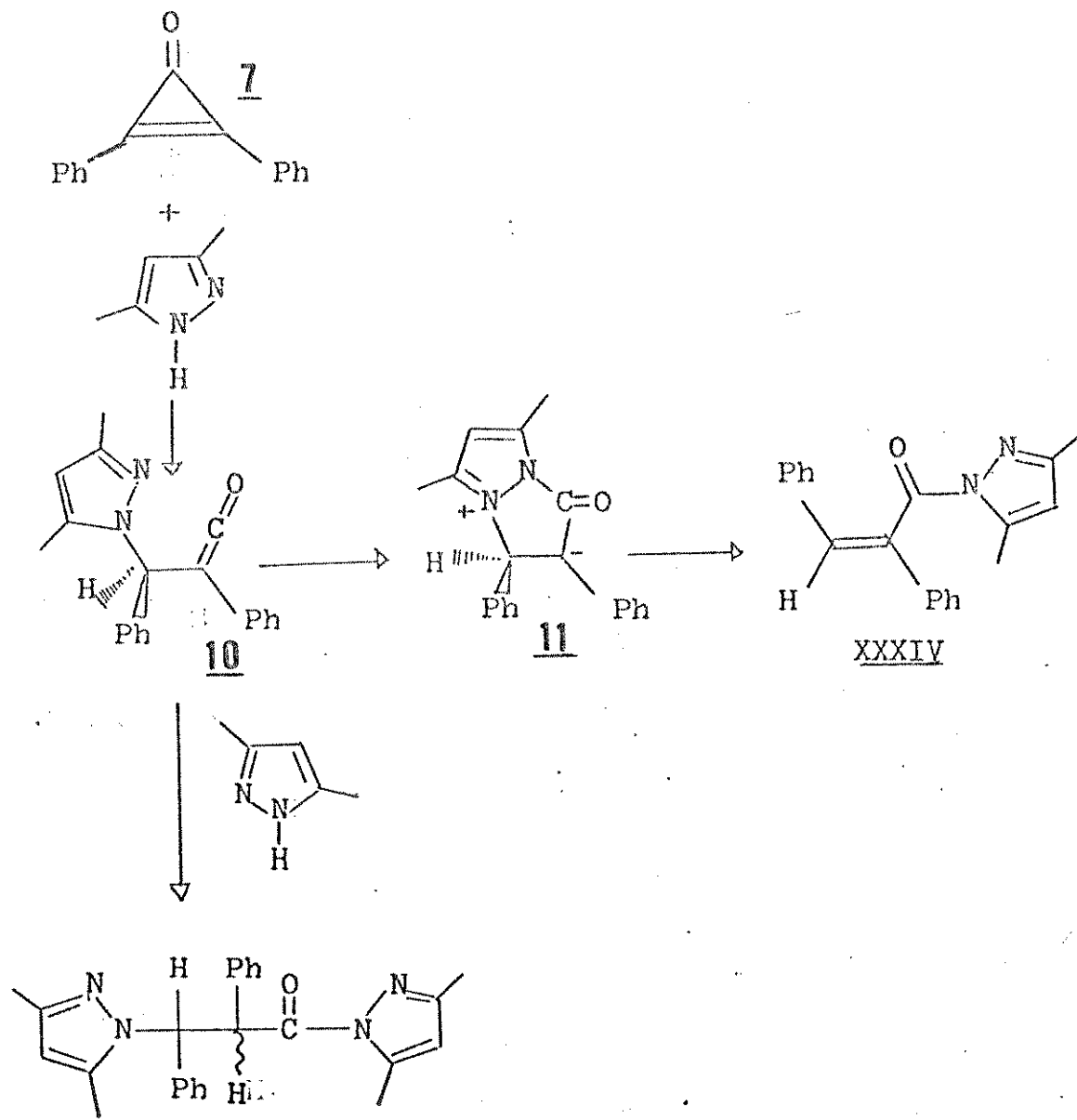


XXXIV

O 3,5-dimetilpirazol foi eluído com uma mistura de benzeno e éter para render 0,032g de um sólido branco: pf 105-107°C ; iv(KBr) 3200, 2400, 1595, 1482, 1435 e 1305 cm^{-1} .

IV.4 Mecanismo da reação

Ao reagir a difenilciclopropenona (7) com o 3,5-dimetilpirazol em refluxo de benzeno, observou-se a formação do composto XXXIV e da cetona XXX. A formação do composto XXXIV pode ser explicada em função do impedimento estereoquímico que as metilas do pirazol do intermediário ceteno 10 representam à aproximação de uma nova molécula de 3,5-dimetilpirazol. Neste caso observou-se um ataque nucleofílico intramolecular do nitrogênio do pirazol do intermediário C sobre o ceteno na formação de um intermediário cíclico 11, cuja abertura permitiu a formação do composto XXXIV.

XXX

esquema da reação

IV.3.2 Reação com 3,5-dimetilpirazol-1-carboxiamida

O mecanismo da reação de 7 com 3,5-dimetilpirazol-1-carboxiamida sugeriu a formação do intermediário ceteno, que prontamente reagiu com o amoníaco para a formação da amida XXV. Repetiu-se a reação acima com a difenilciclopropenona em substituição a metilfenilciclopropenona com o mesmo objetivo.

Preparou-se uma solução de difenilciclopropenona e 3,5-dimetilpirazol-1-carboxiamida em benzeno, e procedeu-se um refluxo durante 10 dias. Deixando-se a solução resultante em repouso por 1 dia, notou-se a deposição de um sólido que separado por filtração e lavado com benzeno rendeu 0,268g(84%), de um sólido branco de pf 189-195°C, cujo rmp em CDCl_3 mostrou ser de um composto 1:1, uma mistura de seus diastereoisômeros na proporção de 1:4. Este material foi recristalizado a partir de uma mistura de diclorometano e hexano. Inicialmente observou-se a deposição de 0,214g(67%) de um sólido cristalino de ponto de fusão 199-200°C e, posteriormente houve deposição de 0,054g(17%) de um sólido branco de ponto de fusão 248-250°C.

A elucidação da estrutura do composto foi baseada em dados espectrais de iv, rmp e massa.

O espéctro de rmp em CDCl_3 do sólido de ponto de fusão 199-200°C mostrou tratar-se do diastereoisômero majoritário.

Em δ 2,20 com integração correspondente a seis prótons, observou-se um singuleto que foi atribuído as duas metilas das posições 3 e 5 do pirazol.

Em δ 4,75 com integração igual a um próton, observou-se um dubleto com constante de acoplamento $J=11,4$ Hz.

Na faixa entre δ 5,00 e 6,20 com integração correspondente a dois prótons, observou-se um singuleto muito largo que foi atribuído ao grupo NH_2 de uma amida.

Em δ 5,70 com integração relativa a um próton, observou-se um dubbleto com constante de acoplamento $J=11,4$ Hz.

Em δ 5,75 com integração indicando um próton, observou-se um singlet que foi atribuído ao próton da posição 4 do pirazol.

Na faixa entre δ 7,00 e 7,30 com integração relativa de dez prótons, observou-se um multipleto que foi associado a duas feni_{las}.

O espéctro de iv em KBr apresentou as seguintes absorções principais: 3346, 3194, 1645, 1632, 1551 e 1457 cm^{-1} .

A análise elementar revelou a seguinte composição centesimal: C-75,61, H-6,52, N-13,60. Mostrando tratar-se de um composto de fórmula molecular $\text{C}_{20}\text{H}_{21}\text{N}_3\text{O}$.

Para o espéctro de rmp em CDCl_3 do diastereoisômero minoritário de ponto de fusão 248-250°C tem-se:

Em δ 1,95 com integração indicando três prótons, observou-se um singlet que foi associado a metila da posição 5 do pirazol.

Em δ 2,10 com integração igual a três prótons, notou-se um singlet que foi atribuído a metila da posição 3 do pirazol.

Em δ 4,70 com integração relativa a um próton, notou-se um dubbleto com constante de acoplamento igual a 11,4 Hz.

Na faixa entre δ 4,90 e 5,90 com integração correspondente a dois prótons, observou-se um singlet muito largo que foi atribuído ao grupo NH_2 de uma amida.

Em δ 5,44 com integração correspondente a um próton, notou-se um singlet que foi atribuído ao próton da posição 4 do pirazol.

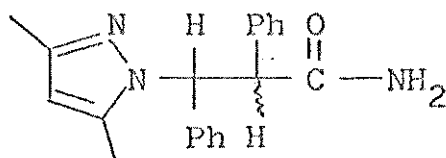
Em δ 5,72 com integração indicando um próton, observou-se um dubbleto com constante de acoplamento $J= 11,4$ Hz.

Na faixa entre δ 7,20 e 7,40 com integração correspondente a dez prótons, observou-se um multiplet que foi relacionado a duas fenilas.

O espectro de iv em KBr apresentou as seguintes absorções principais: 3380, 3208, 1680 e 1635 cm^{-1} .

Do espectro de massa a informação mais valiosa foi a do registro do íon molecular ($M-319$)⁺.

Com os dados acima chegou-se a seguinte estrutura :



XXXV

Quando o 3,5-dimetilpirazol-1-carboxiamida é refluxado em benzeno durante 72 horas, observa-se que a termólise ocorre numa extensão de 50% do material de partida, e é acompanhada da formação do 3,5-dimetilpirazol e da liberação do ácido ciânico¹³.

Como foi visto a reação do 3,5-dimetilpirazol-1-carboxiamida com a difenilciclopropenona em refluxo de benzeno se completou em 10 dias com a formação exclusiva da amida XXXV.

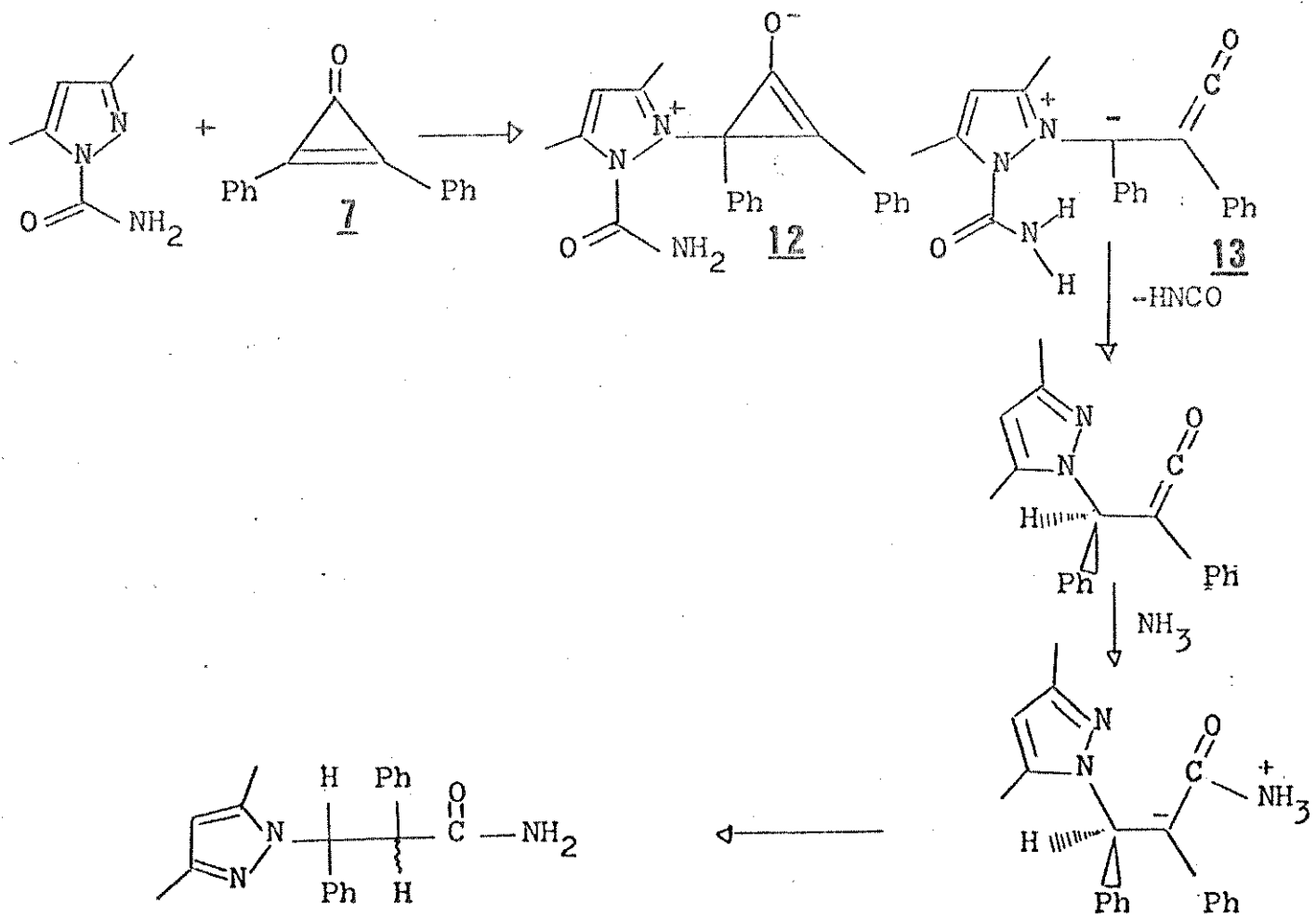
Se a termólise ocorresse antes do 3,5-dimetilpirazol-1-carboxiamida reagir com a difenilciclopropenona, ter-se-ia observado a formação da cetona XXX, mas tal não ocorreu. Donde se conclui que a reação é iniciada pelo 3,5-dimetilpirazol-1-carboxiamida.

A fração solúvel concentrada num rotavaporador forneceu um óleo amarelo, que tratado com uma mistura de diclorometano e éter de petróleo permitiu o isolamento de 0,008g de 3,5-dimetilpirazol-1-carboxiamida: iv(KBr, cm^{-1}) 3412, 3456, 1696, 1719.

IV.5 Mecanismo da reação

Uma carbonila pode atuar como ácido ou base de Lewis. Os compostos carbonilados que contêm um hidrogênio ligado a um dos átomos adjacentes ao grupo carbonila podem funcionar como ácidos próticos. Então os hidrogênios do grupo carboxiamida podem ser encarados como hidrogênios lábeis.

Quando o 3,5-dimetilpirazol-1-carboxiamida reage com a difenilcicloproponona em refluxo de benzeno, o pirazol do intermediário 12 tem a sua densidade eletrônica diminuída, facilitando assim a transferência do hidrogênio do grupo carboxiamida para a formação do intermediário ceteno 13 e liberação do ácido ciânico. Este ácido reage com a umidade para formar amoníaco e gás carbônico. O amoníaco intercepta o ceteno F para formar a amida XXXV.



IV.6 Reação processada em metanol

A reação de 2 com 3,5-dimetilpirazol em benzeno sugeriu a formação de um intermediário ceteno mais impedido que os demais pelas metilas do pirazol dêste intermediário. A fim de explorar a intercepção dêste ceteno por outro nucleófilo, a reação acima foi repetida usando o metanol como solvente e nucleófilo.

IV.6.1 Reação com 3,5-dimetilpirazol

Preparou-se uma solução de difenilciclopropenona e 3,5-dimetilpirazol em metanol, deixando-se em repouso à temperatura ambiente durante 6 dias. O solvente evaporado num rotavaporador rendeu um sólido pastoso, cujo rmp em CCl_4 mostrou tratar-se de uma mistura formada principalmente da cetona XXX(2:3) e de outro composto(1:4). O material foi cromatografado numa coluna de Florisil^R, inicialmente eluída com benzeno para permitir o isolamento de 0,144g de um sólido branco de ponto de fusão $131\text{--}133^\circ\text{C}$.

A elucidação da estrutura dêste sólido foi baseada em dados espectrais de iv e rmp.

O espéctro de rmp em CDCl_3 mostrou tratar-se do diastereoisômero majoritário.

Em δ 2,20 com integração correspondente a três prótons, observou-se um singlet que foi atribuído a metila da posição 5 do pirazol.

Em δ 2,25 com integração de três prótons, notou-se novamente um singlet que foi relacionado a metila da posição 3 do pirazol.

Em δ 3,60 com integração igual a três prótons, mostrando um singlet que foi associado a uma metila sobre oxigênio.

Em δ 4,90 com integração indicando um próton, observou-se um dubbleto com constante de acoplamento $J=11,6$ Hz.

Em δ 5,60 com integração correspondente a um próton, notou-se novamente um dubbleto com constante de acoplamento $J= 11,6$ Hz.

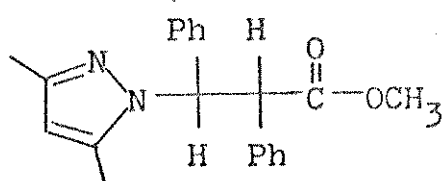
Em δ 5,80 com integração relativa a um próton, observou-se um singlet que foi atribuído ao próton da posição 4 do pirazol.

Na faixa entre δ 7,00 e 7,20 com integração relativa a dez prótons, notou-se um multiplet que foi associado a duas fenilas.

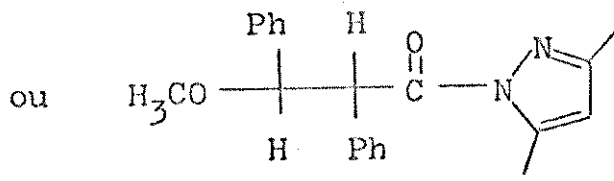
O espéctro de iv em KBr apresentou as seguintes absorções principais: 1738, 1553 e 1452 cm^{-1} .

A análise elementar revelou a seguinte composição centesimal: C-75,89, H-6,53, N-8,41. Mostrando tratar-se de um composto de fórmula molecular $C_{21}H_{22}N_2O_2$.

Com os dados acima chegou-se a duas possíveis estruturas:



XXXVI



XLV

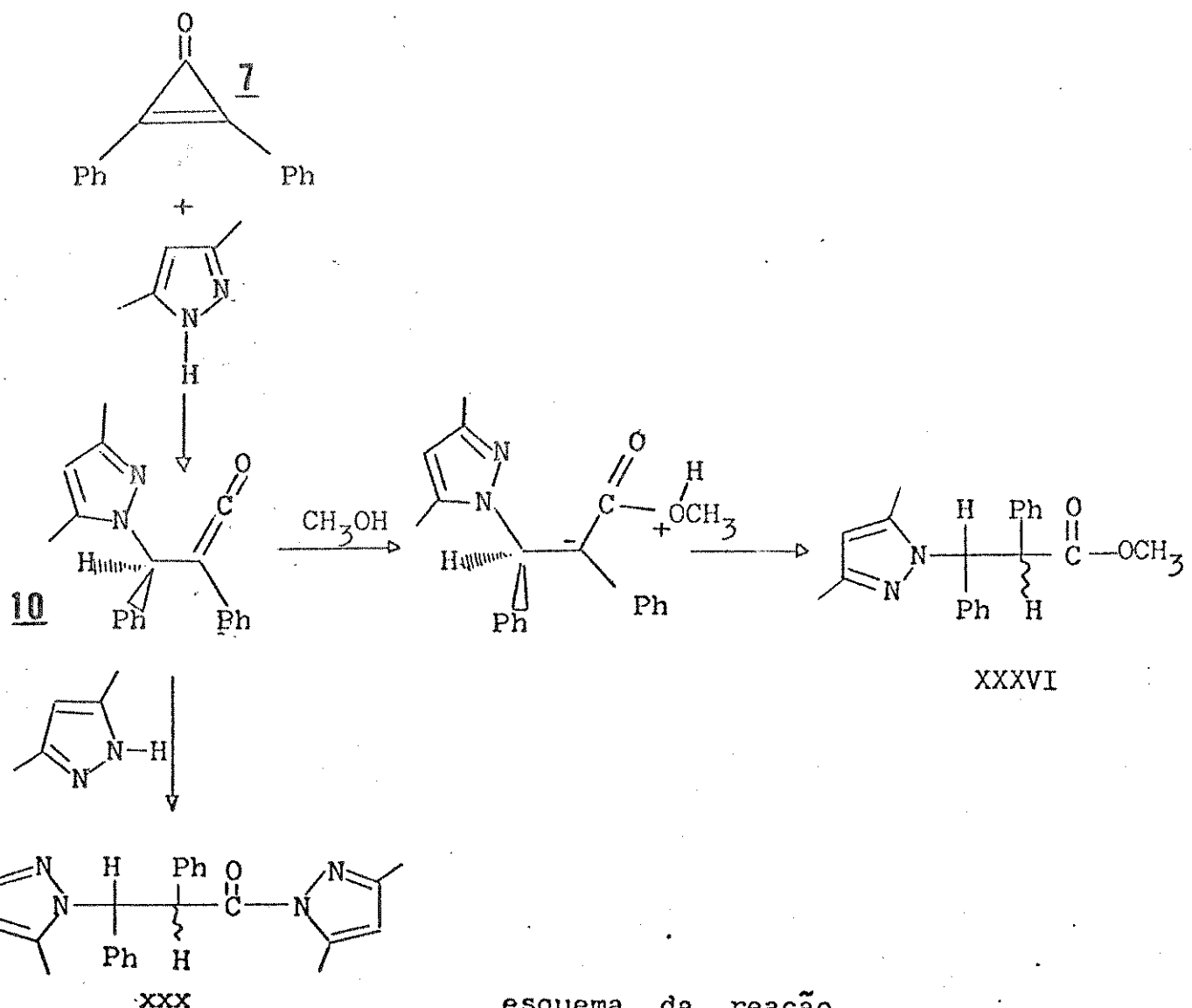
Para eliminar uma das possíveis estruturas comparou-se os dados de rmp do composto obtido com aqueles obtidos para a cetona XXX. Diante da semelhança entre os deslocamentos químicos e das constantes de acoplamento, foi possível optar pela estrutura XXXVI. Se o pirazol estivesse ligado a carbonila, por certo ter-se-ia observado uma das metilas em campo mais baixo que o esperado, devido ao efeito de desblindagem causado pela carbonila.

O composto eluído com uma mistura de benzeno e éter(95:5 v/v) foi identificado como sendo o 3,5-dimetilpirazol(0,050g) : pf 105-107°C; iv(KBr, cm^{-1}) 3200, 2400, 1595, 1435, 1305.

A eluição com benzeno-éter (85/15 v/v) rendeu 0,085g de um sólido branco correspondente a uma mistura dos dois diastereoisômeros da cetona XXX(22%).

IV.7 Mecanismo da reação

Quando se fez reagir a difenilciclopropenona com o pirazol mais impedido, o 3,5-dimetilpirazol em metanol como solvente, notou-se principalmente a formação do éster XXXVI e da cetona XXX como produto secundário. A formação do éster XXXVI pode ser explicada em função do impedimento estereoquímico que as metilas do pirazol do intermediário **10** representam à aproximação de uma nova molécula de 3,5-dimetilpirazol, o que favoreceu a participação do metanol como nucleófilo na formação do éster XXXVI.



esquema da reação

IV.6.2 Reação com 3(5)-aminopirazol

O mecanismo da reação de I com os 1-H-pirazóis sugeriu a formação de um intermediário muito reativo o ceteno A. Com o objetivo de avaliar o potencial deste sistema na síntese de compostos bicíclicos, escolheu-se um pirazol adquadamente substituído com um segundo grupo funcional capaz de interceptar este intermediário.

Preparou-se uma solução de difenilciclopropenona e 3(5) aminopirazol em metanol, deixando-se em repouso à temperatura ambiente durante 72 horas. O solvente evaporado num rotavaporador forneceu um sólido pastoso, que triturado com clorofórmio proporcionou o isolamento de 0,109g de um sólido branco de ponto de fusão 211-212°C.

A elucidação da estrutura do sólido foi baseada em dados espectrais de iv e rmp.

Em δ 4,60 com integração correspondente a um próton, notou-se um dubbleto com constante de acoplamento $J = 6,6$ Hz.

Em δ 5,74 com integração indicando um próton, observou-se novamente um dubbleto com constante de acoplamento $J = 6,6$ Hz.

Em δ 5,82 com integração de um próton, observou-se um dubbleto com constante de acoplamento $J = 2,2$ Hz, que foi atribuído ao próton da posição 4 do anel proveniente do 3(5)-aminopirazol.

Na faixa entre δ 6,60 e 7,30 com integração correspondente a dez prótons, observou-se um multiplet que foi relacionado a duas fenilas.

Em δ 7,45 com integração correspondente a um próton, observou-se um dubbleto com constante de acoplamento $J = 2,2$ Hz, que foi relacionado ao próton da posição 5 do anel proveniente do 3(5)-amino pirazol.

Em δ 8,64 com integração de um próton, observou-se um

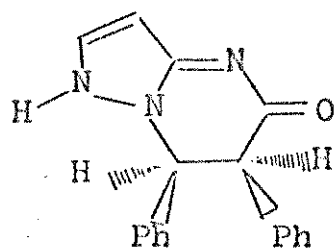
singleto largo que foi atribuído como sendo de um próton sobre nitro gênio, que desapareceu com D₂O.

O espectro de iv em KBr apresentou as seguintes absorções principais: 3209, 1679, 1591 e 1530 cm⁻¹.

A análise elementar revelou a seguinte composição centesimal: C-74,71, H-5,24, N-14,52. Mostrando tratar-se de um composto de fórmula molecular C₁₈H₁₅N₃O.

Para os sinais em δ 4,60 e 5,74 pode-se sugerir que os prótons estão acoplados, e a estereoquímica por eles apresentadas deve ser axial-equatorial, a mesma daquela apresentada pelos prótons das posições 3 e 4 do biciclo formado na reação de 2-aminopiridina e 2, pois apresentam deslocamentos químicos e constantes de acoplamento quase identicos²⁰.

Com os dados acima chegou-se a seguinte estrutura :



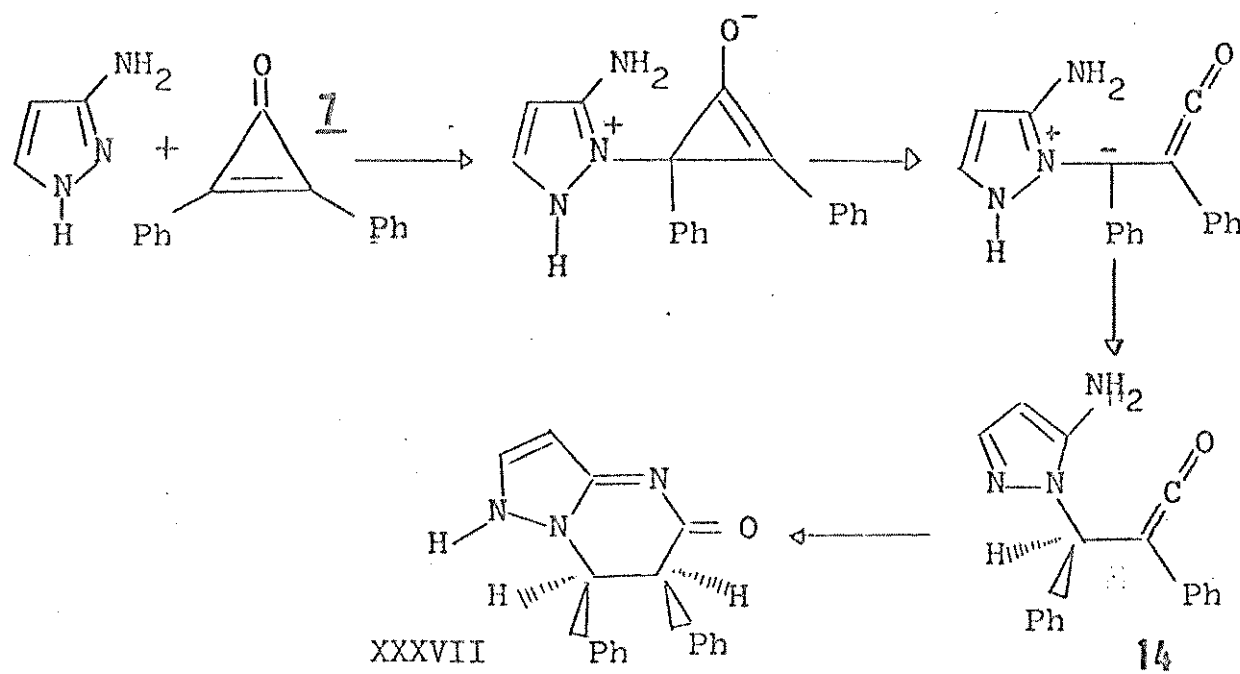
XXXVII

A fração solúvel concentrada num rotavaporador forneceu um óleo amarelo, cujo rmp mostrou tratar-se de uma mistura muito complexa, que não pode ser resolvida.

A reação acima foi repetida com a metilfenilciclopropanona em substituição a difenilciclopropenona. Um rmp do bruto da reação mostrou tratar-se de uma mistura muito complexa, que não pode ser resolvida.

IV.8 Mecanismo da reação

A difenilciclopropenona reage com o 3-aminopirazol em metanol à temperatura ambiente, segundo o mecanismo da adição conjugada (Michael). Neste caso observou-se um ataque nucleofílico intramolecular do grupo amônio do pirazol do intermediário 14 sobre o ceteno para formar o composto bicíclico XXXVII.



esquema da reação

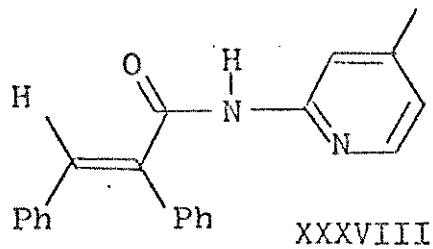
V. Reações de competição entre o pirazol, 2-amino-4-metilpiridina e 2-aminotiazol com a difenilciclopropenona

Com o objetivo de comparar os resultados das reações de competição entre pirazóis, 2-aminopiridinas e 2-aminotiazol com a metilfenilciclopropenona, com aqueles envolvendo a possível participação de um intermediário ceteno, as reações acima foram repetidas com a difenilciclopropenona(1) em substituição a metilfenilciclopropenona(1).

V.1 Reação processada em éter etílico

V.1.1 Reação de competição entre pirazol e 2-amino-4-metilpiridina com a difenilciclopropenona

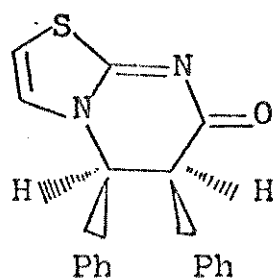
Dissolveu-se o pirazol e o 2-amino-4-metilpiridina em éter etílico e adicionou-se a difenilciclopropenona. A solução resultante foi deixada em repouso à temperatura ambiente por 72 horas. Após este tempo o solvente evaporado num rotavaporador forneceu um óleo, que tratado com uma mistura de diclorometano e éter de petróleo, rendeu um sólido cujo rmp em CDCl_3 mostrou tratar-se do composto XXXVIII⁹(83%): pf 131-133°C; rmp(CDCl_3 , δ) 2,35(3H, s), 6,8(1H, d, J=5 Hz), 7,0-7,5(10H, m), 7,9(1H, s), 8,0(1H, s), 8,1(1H, d, J=5 Hz), 8,3(1H, s). A fração solúvel foi concentrada num rotavaporador e transferida para uma coluna cromatográfica de Florisil^R. Eluída com benzeno permitiu o isolamento da cetona XXXIX(11%) como uma mistura diastereoisomérica: pf: 159-169 °C ; iv(KBr, cm^{-1}) 1716, 1490, 1415.



V.1.2 Reação de competição entre pirazol e 2-aminotiazol com a difenilciclopropenona

Dissolveu-se o pirazol e o 2-aminotiazol em éter etílico e juntou-se a difenilciclopropenona. A solução foi deixada em repouso à temperatura ambiente durante 72 horas. O sólido insolúvel formado foi separado por filtração e lavado com éter, rendendo 0,245g de um sólido branco cujo rmp em CDCl_3 mostrou tratar-se do composto XXXIX²¹. A fração solúvel foi concentrada e transferida para uma coluna de Florisil^R.

Eluída com benzeno permitiu o isolamento da cetona XXXIII(20%):pf
166-172°C; iv(KBr, cm⁻¹) 1716, 1490, 1415, 1389, 1356.



XXXIX

CONCLUSÃO

A grande incorporação de pirazol nas reações de competição com a metilfenilciclopropenona(1), deve ser atribuída a formação de intermediários ciclopropanonas relativamente estáveis, resultantes da reação no C-Me. Já nas reações de competição com difenilciclopropeno na(1) em substituição a metilfenilciclopropenona revelam que a inerente superioridade nucleofílica dos aminotiazóis e das aminopiridinas favorecem os processos em que há formação irreversível de ceteno.

PARTE EXPERIMENTAL

Os pontos de fusão foram determinados num aparelho Hoover-Unimelt, e não sofreram correções.

Os espéctros de massa foram obtidos num espectrómetro da Varian modelo 311-A.

Os espéctros de ressonância magnética protônica foram obtidos através dos instrumentos Bruker AW-80 e Varian Gemini 300 MHz, utilizando-se tetrametilsilano como padrão interno, e as posições das linhas em unidades de δ .

Os espéctros de absorção no infravermelho foram obtidos de um instrumento Perkin-Elmer modelo 1600(FTIV).

As análises elementares foram realizadas num Analizador Elementar PE-2400.

VI

Preparação da 3,5-dimetilpirazol-1-carboxiamida²²

Adicionou-se 0,220g(2 mmol) de semicarbazida-HCl e 0,200g (2 mmol) de acetilacetona em 70 ml de tampão acetato(pH=4,1). A mistura deixada em repouso à temperatura ambiente durante 6 horas forneceu 0,200g(72%) de 3,5-dimetilpirazol-1-carboxiamida: pf 111-113°C; iv(KBr) 3456, 3412, 1719 e 1696 cm⁻¹; rmp(CDCl₃, δ) 2,20(3H, s), 2,53(3H, s), 5,90 (1H, s), 5,30-6,40(2H, sl).

VII

Preparação do 3,5-dimetilpirazol²³

Misturou-se 1 ml(2 mmol) de hidrato de hidrazina (95%) em 10 ml de etanol. A solução foi mantida a 15°C num banho de gêlo sob agitação, enquanto se adicionou gôta a gôta 2 ml(2 mmol) de acetilacetona. A solução resultante permaneceu sob agitação por mais 1 hora a 15°C. O solvente evaporado num rotavaporador forneceu um sólido branco amarelo. Este sólido recristalizado com éter de petróleo rendeu 0,135g(69 %) de um sólido branco identificado como sendo o 3,5-dimetilpirazol: pf 105-107°C; iv(KBr, cm⁻¹) 3200, 2400, 1595, 1482, 1435, 1305; rmp(CCl₄, δ) 2,30 (6H, s), 5,60(1H, s), 11,6(1H, sl).

VIII

Reação entre a metilfenilciclopropenona com os pirazóis

VIII.1

Reação processada em benzeno

VIII.1.1

Reação com 3,5-dimetilpirazol

Dissolveu-se(0,144g,1 mmol) de metilfenilciclopropeno na e (0,192g,2 mmol) de 3,5-dimetilpirazol em 5 ml de benzeno, deixando -se em repouso à temperatura ambiente durante 6 dias. O solvente evaporado num rotavaporador forneceu um óleo amarelo, que tratado com uma mistura de diclorometano e acetonitrila rendeu 0,329g(98%) de um sólido cristalino incolor, atribuído a cetona XX pelos seus dados espectrais: pf 149-150°C; rmp(CCl_4 , δ) 1,70(6H,s), 2,10(6H,s), 2,30(3H,s), 3,90(2H,s), 5,70(2H,s), 7,10-7,30(5H,m); iv(KBr, cm^{-1}) 1741, 1561, 1451, 1345; Análise elementar calculada para $\text{C}_{20}\text{H}_{24}\text{N}_4\text{O:C}$ -71,39, H-7,20, N-16,60; obtida: C-70,66, H-7,29, N-16,78.

VIII.1.2 Reação com 3(5)-metilpirazol

Uma solução de metilfenilciclopropenona(0,144g,1mmol) e 3(5)-metilpirazol(0,164g,2 mmol) em 5 ml de benzeno, foi deixada em repouso à temperatura ambiente durante 6 dias. O solvente evaporado num rotavaporador forneceu um óleo amarelo cujo rmp em CDCl_3 mostrou a formação da cetona XXI como uma mistura de seus isômeros a,b e c(3:2:2). O óleo amarelo foi transferido para uma coluna de Florisil^R(5,0g 100-200 mesh), eluída inicialmente com hexamo, e posteriormente com hexano-éter(aumentando-se sucessivamente o gradiente). O rmp da principais frações mostrou que a melhor separação conseguida foi ainda uma mistura de dois isômeros, mas na comparação de todos os espectros entre si foi possível designar os deslocamentos químicos para cada um dos isômeros. A soma das massas de todas as frações permitiu calcular o rendimento para a reação(93%). Para a mistura temos: iv(filme, cm^{-1}): 1738, 1532, 1450, 1352; rmp(CDCl_3 , δ) 1,75(6H,s,a), 2,05(3H,s,b), 2,24(9H, s,c), 2,38(6H,s,b), 2,49(3H,s,a), 3,64(2H,s,c), 3,79(2H,qAB, J=17 Hz, b),

4,10(2H,s,a), 6,00-6,20(H-aromáticos,m,pirazol,a,b e c), 7,00-740(H-aromáticos,m, Ph e pirazol, a,b e c).

VIII.1.3 Reação com 4-metilpirazol

Preparou-se uma solução de metilfenilciclopropenona (0,144g,1 mmol) e 4-metilpirazol(0,164g,2 mmol) em 5 ml de benzeno. A solução permaneceu em repouso à temperatura ambiente por 6 dias. A solução amarela resultante foi concentrada e transferida para uma coluna de Florisil^R(5,0 g, 100-200 mesh)e eluída com benzeno. A evaporação do solvente(100 ml) forneceu 0,290g(94%)de um óleo incolor, cuja estrutura foi atribuída como sendo da cetona XXII baseada em seus dados espectrais:iv(filme,cm⁻¹)1742,1498,1457,1345;rmp(CCl₄, δ) 2,03(6H,s), 2,22(3H,s), 3,58(2H,s), 7,03-7,20(5H,m), 7,30(2H,s).

VIII.1.4 Reação com pirazol

A 5 ml de benzeno juntou-se 0,144g(1 mmol)de metilfenilciclopropenona e 0,136g(2 mmol)de pirazol.A solução permaneceu em repouso à temperatura ambiente durante 6 dias.A solução amarela resultante foi concentrada e transferida para uma coluna de Florisil^R(5,0g 100-200 mesh) e eluída com benzeno.A evaporação do solvente(100 ml) num rotavaporador forneceu 0,268g(95%)de um óleo incolor,cuja estrutura foi atribuída a cetona XXIII baseada em seus dados espectrais: iv (filme,cm⁻¹)1739,1497,1412,1387,1328;rmp(CCl₄, δ)2,36(3H,s),3,58(2H ,s), 6,29(2H,m), 7,08-7,21(5H,m), 7,33(2H,d,J=2,4 Hz),7,55(2H,d,J=1,2 Hz).

VIII.2 Reação com 3,5-dimetilpirazol-1-carboxiamida

Preparou-se uma solução de 0,144g(1 mmol) de metilfenilclopopenona e 0,278g(2 mmol) de 3,5-dimetilpirazol-1-carboxiamida em 5 ml de benzeno, e procedeu-se um refluxo por 12 dias. A solução resultante deixada em repouso à temperatira ambiente durante 1 dia, fornece u um sólido que foi isolado por decantação e lavado com benzeno(2 x 10 ml). Recristalizado a partir de uma mistura de diclorometano-hexano permitiu o isolamento de uma amostra analítica da amida XXIV 0,224 g (87%): pf 218-220°C; iv(KBr, cm⁻¹) 3346, 3198, 1665, 1631, 1551, 1413 ; rmp (CDCl₃, δ) 1,14(3H, d, J=6,6 Hz), 2,21(3H, s), 2,23(3H, s), 3,55-3,61(1H, m), 5,17(1H, d, J=9,9 Hz), 5,48 e 5,70(2H, 2s), 5,80(1H, s), 7,21-7,46(5H, m); Análise elementar calculada para C₁₅H₁₉N₃O:C-70,00, H-7,46, N-16,33; obtida:C- 70,33, H-7,14, N-16,12; ¹³C(CDCl₃, δ) 11.14, 13.71, 16.15, 46.77, 63.94, 85.67, 104.99, 127.58, 127.79, 128.45.

* A redução da amida XXIV foi realizada em atmosfera de nitrogênio seco. O material de vidro foi cuidadosamente seco, bem como o solvente e os reagentes.

A uma suspensão, agitada e resfriada com gelo, de 0,057 g (1,5 mmol) de LiAlH₄ em THF(1 ml) foi adicionada aos poucos uma solução de 0,040g(0,14 mmol) da amida XXIV em THF(2 ml), a mistura resultante foi deixada sob agitação durante 5 horas numa atmosfera de nitrogênio. Depois de ser deixada em repouso à temperatura ambiente durante a noite, adicionou-se 2 ml de uma solução de THF em água(1:l v/v) e 1 ml de uma mistura aquosa de NaOH(10%). A mistura foi agitada por 30' minutos e o precipitado foi separado por filtração. O filtrado foi extraído com éter(3x5 ml). Os extractos etílicos combinados foram lavados com salmoura e secos sobre MgSO₄. O solvente foi removido num rotavaporador fornecendo 0,025g de um óleo amarelo, cujo rmp em CDCl₃ mostrou tratar-se da a-

mina XLIII(58%): rmp(CDCl_3 , δ)0,90(3H,d,J=6 Hz), 1,90-2,00(2H, s1), 2,15(3H,s), 2,18(3H,s), 2,25-2,80(1H,m), 4,82(1H,d,J=9 Hz), 5,70(1H,s), 7,10-7,60(5H,m).

* A fração solúvel concentrada num rotavaporador forneceu um óleo amarelo, que tratado com uma mistura de diclorometano e éter de petróleo permitiu o isolamento de 0,078g de 3,5-dimetilpirazol-1-carboxiamida:pf 110-112°C, iv(KBr, cm^{-1})3456, 3412, 1719, 1696.

IX Reações de competição entre pirazóis, 2-aminopiridinas, 2-aminotiazol e anilina com a metilfenilciclopropenona

IX.1 Reação processada em éter etílico

IX.1.1 Reação de competição entre o pirazol e 2-aminotiazol com a metilfenilciclopropenona

Dissolveu-se o pirazol(0,136g, 2 mmol) e o 2-aminotiazol (0,200g, 2 mmol) em 3 ml de éter etílico e juntou-se a metilfenilciclopropenona(0,144g, 1 mmol), deixando-se em repouso por 72 horas. O sólido branco insolúvel foi separado por filtração e lavado com éter(2x10ml) com rendimento de 80%, cuja estrutura foi atribuída a uma 5,6-dihidroimidazo[2,1-b]tiazol XXV pelas suas propriedades espectrais:pf 132-133 °C; rmp(CDCl_3 , δ)2,08 e 2,58(2H,qAB, J=13,5 Hz), 2,16(3H,s), 3,00-3,30 (1H,s1), 5,96(1H,d,J=4,8 Hz), 6,33(1H,m), 6,46(1H,d,J=4,8 Hz), 7,20-7,30(6H,m), 7,60(1H,d,J=2 Hz); iv(KBr, cm^{-1})1581, 1548, 1266, 1096; Análise elementar calculada para $\text{C}_{16}\text{H}_{16}\text{N}_4\text{OS}$: C-61,51, H-5,16, N-17,94 ; obtida: C-61,66, H-4,92, N-17,83; ^{13}C (CDCl_3 , δ)18.73, 40.98, 85.74, 103.33 ,

106.76, 108.28, 119.64, 126.62, 127.66, 127.94, 131.10, 135.38.

A parte solúvel em éter após evaporação do solvente foi filtrada numa coluna de Florisil^R(5,0g, 100-200 mesh). A eluição com benzeno(100 ml) permitiu o isolamento da cetona XXIII(20%) rmp(CDCl₃, δ)2,30(3H,s), 3,60(2H,s), 6,33(2H,m), 7,10-7,20(5H,m), 7,30(2H,d, J=2 Hz), 7,50(2H, s1).

IX.1.2 Reação de competição entre 3,5-dimetilpirazol e 2-amino-tiazol com a metilfenilciclopropenona

Dissolvendo-se o 3,5-dimetilpirazol(0,192g,2 mmol) e o 2-aminotiazol(0,200g,2 mmol)em 3 ml de éter etílico e juntou-se a metilfenilciclopropenona(0,144g,1 mmol),deixando-se em repouso à temperatura ambiente durante 72 horas.O sólido branco foi separado por filtração lavado com éter(2x10 ml)com rendimento de 38 %,cuja estrutura foi atribuída a uma 5,6-dihidroimidazo[2,1-b]tiazol XXVI pelos seus dados espectrais:pf 134-135°C;rmp(CDCl₃, δ)2,16(3H,s), 2,21(6 H, s), 2,32(2H,qAB,J=12 Hz), 1,80-2,80(1H,s1), 5,87(1H,s), 5,97(1H,d,J=4,8 Hz), 6,59(1H,d,J=4,8 Hz), 7,20-7,30(5 H,m);iv(KBr,cm⁻¹)1587 , 1541 , 1495,1343;Análise elementar calculada para C₁₈H₂₀N₄OS:C-63,53,H-5,92, N-16,46;obtida:C-63,38, H-5,78, N-16,42.

A parte solúvel em éter após a evaporação do solvente num rotavaporador forneceu um óleo amarelo,que tratado com uma mistura de diclorometano e acetonitrila rendeu 0,195g(58%)de um sólido cristalino incolor identificado como sendo a cetona XX pelos seus dados espectrais:pf 149-150°C;iv(KBr,cm⁻¹)1741,1561,1451,1345.

IX.1.3 Reação de competição entre pirazol e 2-amino-4-metilpiridina com a metilfenilciclopropenona

Dissolveu-se 0,136g(2 mmol)de pirazol e 0,216g(2 mmol)de 2-amino-4-metilpiridina em 3 ml de éter etílico e juntou-se 0,144 g (1 mmol)de metilfenilciclopropenona.A mistura foi deixada em repouso à temperatura ambiente durante 72 horas.O sólido branco insolúvel separado por filtração e lavado com éter(2x10 ml)proporcionou um rendimento de 38%. Este sólido foi identificado como sendo uma 2,3-dihidroimidazo[1,2-a]piridina XXVII pelos seus dados espectrais:pf 150-151°C; δ (CDCl_3 , ppm) 2,04(3H,d,J=0,9 Hz), 2,05(1H,s), 2,09(3H,s), 2,16 e 2,58 (2H,qAB,J=13,8 Hz), 5,69(1H,dd,J=7 e 1,8 Hz), 6,25(2H,m), 6,77(1H,d,J=7,0 Hz), 7,00-7,20(5H,m), 7,24(1H,d,J=2,7 Hz), 7,54(1H,d,J=1,5 Hz);iv ($\text{KBr}, \text{cm}^{-1}$) 1655, 1560, 1493, 1390;Análise elementar calculada para $\text{C}_{19}\text{H}_{20}\text{N}_4\text{O}$:C-71,22, H-6,30, N-17,41;obtido:C-70,78, H-6,68, N-17,21; $^{13}\text{C}(\text{CDCl}_3, \delta)$ 18.58, 21.82, 41.41, 77.54, 106.6, 108.40, 113.29, 126.11, 127.46, 129.34, 130.98, 131.06, 139.75 .

A parte solúvel em éter após evaporação do solvente num rotavaporador rendeu um óleo amarelo,que foi cromatografado numa coluna de Florisil^R(5,0g, 100-200 mesh).A eluição com benzeno(100 ml) permitiu o isolamento de um óleo incolor identificado como sendo a cetona XXIII(59%):iv(filme, cm^{-1}) 1739, 1515, 1497, 1387.

IX.1.4 Reação de competição entre 3,5-dimetilpirazol e 2-amino-4-metilpiridina com a metilfenilciclopropenona

Dissolveu-se 0,192g(2 mmol)de 3,5-dimetilpirazol e 0,216g (2 mmol)de 2-amino-4-metilpiridina em 3 ml de éter etílico e adicionou

-se 0,144g(1 mmol) de metilfenilciclopropenona. A mistura foi deixada em repouso à temperatura ambiente durante 72 horas. A evaporação do solvente num rotavaporador forneceu um óleo amarelo que tratado com uma mistura de diclorometano e acetonitrila rendeu um sólido cristalino incolor(88%), cuja estrutura foi atribuída a cetona XX pelas suas propriedades espectrais: pf 149-150°C; iv(KBr, cm⁻¹) 1741, 1561, 1451, 1345.

IX.1.5 Reação de competição entre pirazol e 2-amino-6-metilpiridina com a metilfenilciclopropenona

Dissolveu-se 0,136g(2 mmol) de pirazol e 0,216g(2 mmol) 2-amino-6-metilpiridina em 3 ml de éter etílico e juntou-se 0,144 g (1 mmol) de metilfenilciclopropenona. A mistura foi deixada em repouso à temperatura ambiente durante 72 horas. O sólido branco insolúvel foi separado por filtração rendendo 0,257g(82%) como cetona XXVIII; pf 133-135°C; rmp(CDCl₃, δ) 2,20(6H, 2 s), 3,70(2H, qAB, J=16 Hz), 6,08(1H, d, J=7,6 Hz), 6,20(1H, s), 6,28(1H, m), 6,50(1H, d, J=7,6 Hz), 6,90-7,40(6H, m), 7,60(1H, s), 7,80(1H, d, J=2 Hz); iv(KBr, cm⁻¹) 1735, 1603, 1583, 1550; Análise elementar calculada para C₁₉H₂₀N₄O:C-71,22, H-6,30, N-17,48; obtida: C-71,23, H-6,20, N-17,11.

A fração solúvel em éter após evaporação do solvente num rotavaporador forneceu um óleo amarelo, que foi cromatografado numa coluna de Florisil^R(5,0 g, 100-200 mesh). A eluição com benzeno permitiu o isolamento de um óleo incolor identificado como sendo a cetona XXIII(15%): iv(filme, cm⁻¹) 1739, 1515, 1497, 1387.

IX.1.6 Reação de competição entre 3,5-dimetilpirazol e 2-amino-6-metilpiridina com a metilfenilciclopropenona

Dissolveu-se 0,192g(2 mmol)de 3,5-dimetilpirazol e 0,216 g (2 mmol)de 2-amino-6-metilpiridina em 3 ml de éter etílico e adicioneu-se 0,144g(1 mmol)de metilfenilciclopropenona.A mistura foi deixada em repouso à temperatura ambiente durante 72 horas.A evaporação do solvente num rotavaporador forneceu um óleo amarelo,que tratado com uma mistura de diclorometano e acetonitrila rendeu um sólido cristalino incolor(90%),cuja estrutura foi atribuída a cetona XX pelas suas propriedades espectrais:pf 149-150°C;iv(KBr,cm⁻¹)1741,1561,1451,1345 ; rmp(CCl₄, δ)1,70(6H,s), 2,10(6H,s), 2,30(3H,s), 3,90(2H,s),5,70(2 H, s), 7,10-7,30(5H,m).

IX.1.7 Reação de competição entre pirazol e anilina com a metilfenilciclopropenona

Dissolveu-se o pirazol(0,136g,2 mmol) e a anilina(0,186g, 2 mmol) em 3 ml de éter etílico,juntou-se a metilfenilciclopropenona (0,144g, 1 mmol).A mistura foi deixada em repouso à temperatura ambiente durante 24 horas.O solvente evaporado num rotavaporador forneceu um óleo amarelo,cujo rmp sugeriu a formação do composto XXIX : rmp (CDCl₃, δ)1,90(3H,s), 4,25(2H,s), 7,00-7,40(H-aromático, m).

70

IX.1.8 Reação de competição entre 3,5-dimetilpirazol e anilina com a metilfenilciclopropenona

O 3,5-dimetilpirazol(0,192g, 2 mmol) e a anilina(0,186g , 2 mmol) foram dissolvidos em 3 ml de éter etílico, em seguida juntou-se a metilfenilciclopropenona(0,144g, 1 mmol). A mistura permaneceu em repouso à temperatura ambiente durante 72 horas. O solvente evaporado num rotavaporador forneceu um óleo amarelo, que tratado com uma mistura de diclorometano e acetonitrila permitiu o isolamento da cetona XX(86%):pf 149-150°C;iv(KBr,cm⁻¹)1741,1561,1451,1345.

X. Reação entre a difenilciclopropenona e os pirazóis

X.1 Reação processada em benzeno

X.1.1 Reação com 3,5-dimetilpirazol

Preparou-se uma solução de difenilciclopropenona(0,206g, 1 mmol) e 3,5-dimetilpirazol(0,192g, 2mmol)em 5 ml de benzeno, deixando-se em repouso à temperatura ambiente durante 72 horas. O solvente evaporado num rotavaporador forneceu um sólido pastoso, que tratado com éter de petróleo rendeu 0,167g(42%)de um sólido branco correspondente ao diastereoisômero majoritário da cetona XXX:pf 161 - 163°C; rmp(CDCl₃, δ)2,11(3H,s), 2,18(3H,s), 2,20(3H,s), 2,36(3H,s) , 5,75 (1H,s), 5,79(1H,d,J=11,4 Hz), 5,81(1H,s), 6,29(1H,d,J=11,4 Hz), 7,00-7,33(10 H,m);iv(KBr,cm⁻¹)1716,1554,1455,1376;Análise elementar calculada para C₂₅H₂₆N₄O:C-75,34, H-6,59, N-14,06;obtida:C-75,35 ,H - 6,63, N-13,04; A espectroscopia de massa forneceu um íon molecular correspondete a 398 uma.

71

A fração solúvel concentrada num rotavaporador forneceu um óleo amarelo cujo rmp mostrou tratar-se de uma mistura constituída principalmente de 3,5-dimetilpirazol e traços dos dois diastereoisômeros de cetona XXX. Este material foi cromatografado numa coluna preenchida com Florisil^R(5,0g, 100-200 mesh)usando uma mistura de benzeno-éter(v/v 95:5)como eluente,para dar 0,036g de um sólido branco identificado como sendo o 3,5-dimetilpirazol:pf 105-107°C,iv(KBr , cm⁻¹) 3200,2400,1595,1482,1435,1305.

X.I.2 Reação com 3(5)-metilpirazol

Preparou-se uma solução com difenilciclopropenona(0,206g, 1 mmol) e 3(5)-metilpirazol(0,164g, 2 mmol) em 5 ml de benzeno, deixando-se em repouso à temperatura ambiente por 72 horas.O solvente evaporado num rotavaporador forneceu um óleo amarelo cujo rmp em CCl₄ mostrou tratar-se de uma mistura diastereoisomérica da cetona XXXI .O óleo tratado com éter de petróleo permitiu o isolamento de 0,130 g de um sólido branco identificado como sendo do diastereoisômero majoritário XXXI(35%):pf 136-138°C;rmp(CCl₄,δ)2,13(3H,s) , 2,29(3H,s) , 5,81 (1H,d,J=11,6 Hz) , 5,84(1H,d,J=1,9 Hz) , 6,04(1H,d,J=2,6 Hz) , 6,09(1H , d,J=11,6 Hz) , 7,00-7,30(11 H,m) , 7,93(1H,d,J=2,6 Hz); iv(KBr) 1712 , 1521,1452 e 1414.

Um rmp da fração solúvel mostrou uma mistura dos diastereoisômeros da cetona XXXI,que não pode ser resolvida.

X.I.3 Reação com 4-metilpirazol

Misturou-se a difenilciclopropenona(0,206g,1 mmol) e 4-metilpirazol(0,164g, 2 mmol)em 5 ml de benzeno.A mistura foi deixada em repouso à temperatura ambiente durante 72 horas.A solução amarela resultante foi concentrada e transferida para um coluna de Florisil^R (5,0g, 100-200 mesh)e eluída com benzeno(150 ml).O solvente evapora-

rado num rotavaporador forneceu 0,314g(85%) de um sólido branco, cujo rmp em CCl_4 mostrou a formação da cetona XXXII como uma mistura diastereoisomérica (1:2): rmp(CCl_4 , δ) 1,90(3H, s, a), 2,00(6H, s, a e b), 5,72(1H, d, J=11,6 Hz, a), 5,75(1H, d, J=11,6 Hz, b), 6,14(1H, d, J=11,6 Hz, b), 6,35(1H, d, J=11,6 Hz, a), 7,00-7,80(prótons aromáticos, m, a e b). A recristalização da mistura com diclorometano e hexano proporcionou uma amostra analítica do diastereoisômero majoritário(0,104g, 28%): pf 114-116°C; rmp(CDCl_3 , δ) 1,95(3H, s), 1,98(3H, s), 5,90(1H, d, J=11,6 Hz), 6,29(1H, d, J=11,6 Hz), 7,00-7,18(10H, m), 7,23(2H, s1), 7,50(2H, s1), 7,83(1H, s1); iv(KBr, cm^{-1}) 1725, 1500, 1457, 1422, 1385.

X.1.4 Reação com pirazol

A reação processou-se dissolvendo a difenilciclopropenona (0,206g, 1 mmol) e pirazol(0,136g, 2 mmol) em 5 ml de benzeno. A solução permaneceu em repouso à temperatura ambiente durante 72 horas. O solvente foi evaporado num rotavaporador fornecendo um sólido pastoso, que triturado com éter de petróleo permitiu o isolamento da cetona XXXIII(0,280g, 82%) como uma mistura de dois diastereoisômeros (na proporção de 1:2 de acordo com o espectro de rmp): pf 151-159°C; iv(KBr, cm^{-1}) 1716, 1490, 1415, 1389, 1356; rmp(CDCl_3 , δ) 5,93(1H, t, J=2,1 Hz, a), 6,03(1H, d, J=11,8 Hz, a), 6,68(1H, d, J=11,6 Hz, b), 6,20(1H, t, J=2,1 Hz, b), 6,21(1H, dd, J=2,8 Hz e 1,4 Hz, a), 6,34(1H, dd, J=2,8 e 1,4 Hz, b), 6,36(1H, d, J=11,6 Hz, b), 6,53(1H, d, J=11,8 Hz, a), 7,10-7,60(m, Ph, a e b), 7,65-7,72(prótons sobre anel de pirazol, m, a e b), 8,02(1H, d, J=2,8 Hz, a), 8,11(1H, d, J=2,8 Hz, b). A recristalização da mistura com diclorometano e hexano proporcionou uma amostra analítica do diastereoisômero majoritário XXXIII (0,120g, 35%): pf 168-170°C; rmp(CCl_4 , δ) 5,81(1H, t, J=1,8 Hz), 5,82(1H, d, J=11,6 Hz), 6,27(1H, dd, J=2,8 e 1,4 Hz), 6,41(1H, d, J=11,6 Hz), 7,03-7,42(10 H, m), 7,60(1H, s1), 7,63(1H, s1), 7,65(1H, s1),

7,97(1H,d,J=2,8 Hz);iv(KBr,cm⁻¹)1716,1490,1415,1389,1356; Análise elemental calculada para C₂₁H₁₈N₄O:C-73,67, H-5,31, N-16,36 ;obtida : C-73,37, H-5,30, N-15,52.

X.2 Reação processada em refluxo de benzeno

X.2.1 Reação com 3,5-dimetilpirazol

Preparou-se uma solução de difenilciclopropenona(0,206 g, 1 mmol) e 3,5-dimetilpirazol(0,192g,2 mmol) em 5 ml de benzeno , e procedeu-se um refluxo por 12 horas.O solvente evaporado num rotavaporador forneceu um sólido pastoso, cujo rmp mostrou a formação da cetona XXX como uma mistura de dois diastereoisômeros na proporção de 1:6 . O sólido pastoso foi triturado com éter de petróleo permitindo o isolamento de 0,139g(35%)de um sólido branco, correspondente ao diastereoisômero mais abundante:pf 161-163°C;rmp(CC₁₄,δ) 2,09 (3H,s), 2,18(3H,s), 2,19(3H,s), 2,37(3H,s), 5,62(1H,d,J=11,4 Hz) , 5,63(1H,s), 5,75(1H,s), 6,13(1H,d,J=11,4 Hz),7,00-7,35(10 H , m) ; iv(KBr,cm⁻¹)1716,1554,1455,1376.

A parte solúvel foi concentrada e transferida para uma coluna de Florisil^R(5,0g g,100-200 mesh) e eluída inicialmente com benzeno(100 ml).A evaporação do solvente rendeu 0,066g(22%)de um sólido amorfo de cor branca,correspondente ao composto XXXIV:pf 75 -77 °C; rmp(CC₁₄,δ)2,00(3H,s), 2,60(3H,s), 5,80(1H,s), 6,90(1H,s), 7,10 -7,40(10H,m);iv(KBr,cm⁻¹)1706,1588,1500,1348.

O 3,5-dimetilpirazol foi eluído com 150 ml de uma mistura de benzeno-éter(v/v 95:5).A evaporação do solvente rendeu 0,032g de um sólido branco:pf 105-107°C;iv(KBr)3200,2400,1595,1498,1435 e 1305 .

X.2.2 Reação com 3,5-dimetilpirazol-1-carboxiamida

Preparou-se uma solução de 0,206g(1 mmol) de difenilciclopropenona e 0,139g(1 mmol) de 3,5-dimetilpirazol-1-carboxiamida em 5 ml de benzeno, e procedeu-se um refluxo por 10 dias. Deixando-se a solução resultante em repouso por 1 dia, observou-se a deposição de um sólido que separado por filtração rendeu 0,268g(84%) de um sólido branco de ponto de fusão 189-195°C, cujo rmp em CDCl_3 mostrou a formação da amida XXXV como uma mistura de seus dois diastereoisômeros na proporção de 1:4. Este material foi recristalizado a partir de uma mistura de diclorometano e hexano(95:5 v/v). Inicialmente observou-se a deposição de 0,214g(67%) de um sólido cristalino incolor correspondente ao diastereoisômero majoritário: pf 199-200°C; rmp(CDCl_3 , δ) 2,10(6H, s), 4,75(1H, d, $J=11,4$ Hz), 5,60-6,20(2H, s), 5,70(1H, d, $J=11,4$ Hz), 5,75(1H, s), 7,00-7,30(10H, m); iv(KBr, cm^{-1}) 3346, 3194, 1645, 1632, 1551, 1457; Análise elementar calculada para $\text{C}_{20}\text{H}_{21}\text{N}_3\text{O}$: C=75,21, H=6,63, N=13,16; obtida: C=75,69, H=6,12, N=13,60; E.M. (70 ev) revelou a presença do íon molecular ($M-319^+$). Posteriormente houve deposição de 0,054g(17%) de um sólido de cor branca, correspondente ao diastereoisômero minoritário: pf 248-250°C; rmp(CDCl_3) δ 1,95(3H, s), 2,10(3H, s), 4,70(1H, d, $J=11,4$ Hz), 4,90-5,90(2H, s), 5,94(1H, s), 5,72(1H, d, $J=11,4$ Hz), 7,20-7,40(10H, m); iv(KBr, cm^{-1}) 3380, 3208, 1680, 1635.

X.3 Reação processada em metanol

X.3.1 Reação com 3,5-dimetilpirazol

Preparou-se uma solução de difenilciclopropenona(0,206g,

1 mmol) e 3,5-dimetilpirazol(0,192g, 2 mmol) em 5 ml de metanol, deixando -se em repouso à temperatura ambiente durante 6 dias. Em seguida o solvente foi evaporado num rotavaporador obtendo-se um sólido pastoso, cujo rmp em CCl_4 mostrou tratar-se de uma mistura constituída principalmente pelos dois diastereoisômeros do éster XXXVI(1:4) e da cetona XXX(2:3). O material foi cromatografado numa coluna de Florisil^R(5,0g, 100-200 mesh), inicialmente eluída com benzeno, tomando frações de 1-6 foram combinadas e concentradas até 0,144g(42%) de um sólido branco identificado como sendo do diastereoisômero majoritário do éster pf 131-133°C; rmp(CDCl_3 , δ) 2,20(3H, s), 2,25(3H, s), 3,60(3H, s), 4,90(1H, d, J=11,6 Hz), 5,80(1H, s), 5,60(1H, d, J=11,6 Hz), 7,00-7,20(10H, m); iv (KBr, cm⁻¹) 1738, 1553, 1452; Análise elementar calculada para $\text{C}_{21}\text{H}_{22}\text{N}_2\text{O}_2$: C-75,41, H-6,64, N-8,38: obtida: C-75,89, H-6,53, N-8,41.

A eluição com benzeno-éter(95:5 v/v) forneceu 0,050g de um sólido branco identificado como sendo o 3,5-dimetilpirazol:pf 105-107°C; iv(KBr, cm⁻¹) 3200, 2400, 1595, 1482, 1435, 1305.

A eluição com benzeno-éter(85:15 v/v)(100 ml) rendeu 0,085g(22%) de um sólido branco correspondente a uma mistura de diclorometano-éter de petróleo forneceu 0,036g(9,5%) de um sólido branco identificado como sendo do diastereoisômero majoritário:pf 161-163°C; iv(KBr, cm⁻¹) 1716, 1554, 1455, 1376.

X.3.2 Reação com 3(5)-aminopirazol

Em 5 ml de metanol juntou-se 0,206g(1 mmol) de difenilclopopenona e 0,083g(1 mmol) de 3(5)-aminopirazol, deixando-se a solução em repouso à temperatura ambiente durante 72 horas. Após este tempo o solvente evaporado num rotavaporador forneceu um sólido pastoso, que triturado com clorofórmio rendeu 0,109g(38%) de um sólido branco identi-

ficado como sendo do composto XXXVII; pf 211-212°C, rmp(CDCl_3 , δ) 4,60 (1H, d, J=6,6 Hz), 5,64 (1H, d, J=6,6 Hz), 5,81 (1H, d, J=2,2 Hz), 6,60-7,23 (10H, m), 7,45 (1H, d, J=2,2 Hz), 8,64 (1H, s); iv(KBr, cm^{-1}) 3209, 1679, 1591, 1530; Análise elementar calculada para $\text{C}_{18}\text{H}_{15}\text{N}_3\text{O:C}$ -74,72 ; H-5,24, N-14,52.

XI. Reação de competição entre pirazol, 2-amino-4-metilpiridina com a difenilciclopropenona

XI.1 Reação processada em éter etílico

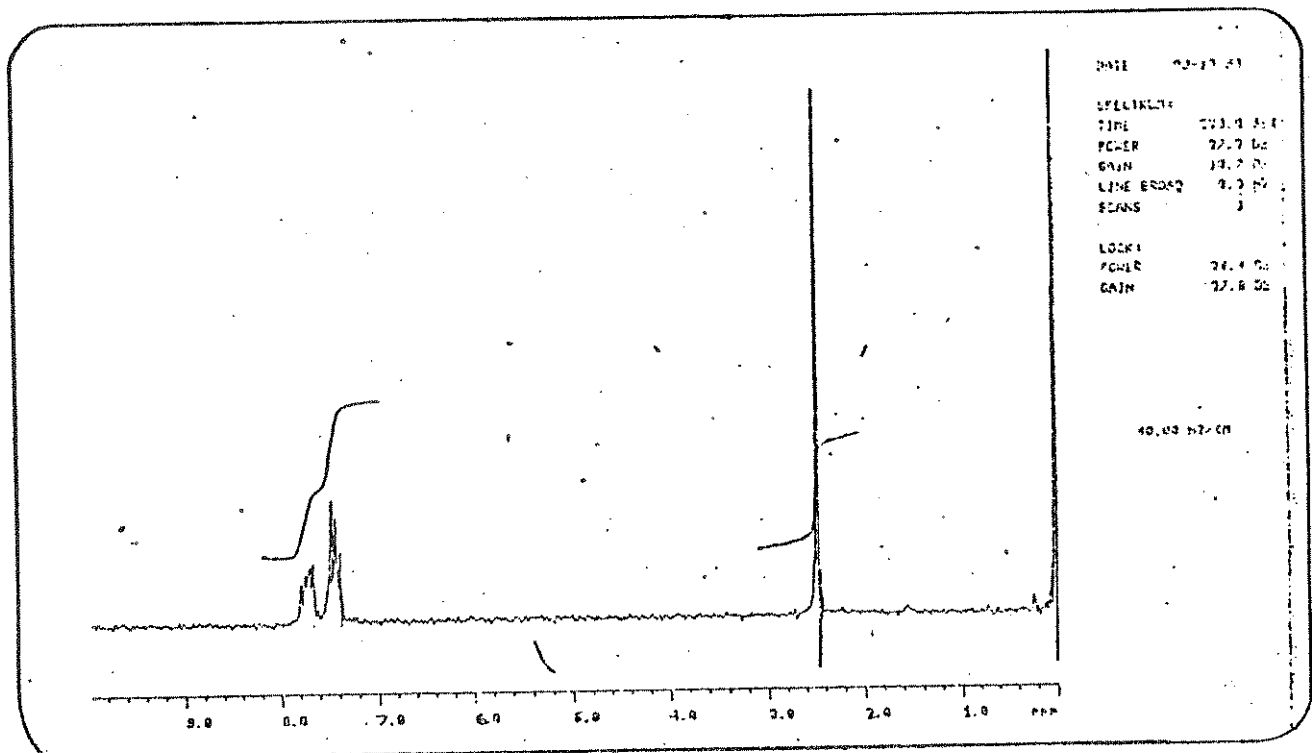
XI.1.1 Reação de competição entre pirazol e 2-amino-4-metilpiridina com a difenilciclopropenona

Dissolveu-se o pirazol(0,136g, 2mmol)e a 2-amino-4-metilpiridina(0,216g, 2 mmol)em 3 ml de éter etílico e juntou-se a difenilciclopropenona(0,206g, 1 mmol), deixando-se em repouso à temperatura ambiente durante 72 horas.A evaporação do solvente num rotavaporador forneceu um óleo amarelo, que tratado com uma mistura de diclorometano e éter de petróleo rendeu 0,260g de um sólido branco, identificado como sendo o composto XXXVIII⁹(83%):pf 131-133°C; rmp(CDCl_3 , δ) 2,35(3H, s), 6,8(1H, d, J=5 Hz), 7,0-7,5(10H, m), 7,9(1H, s), 8,0(1H, s), 8,1(1H, d, J = 5 Hz), 8,3(1H, s). A fração solúvel foi concentrada num rotavaporador e transferida para uma coluna de Florisil^R(5,0g, 100-200 mesh) e eluída com benzeno(150 ml).A evaporação do solvente permitiu o isolamento da cetona XXXIX (11%)como uma mistura de seus dois diastereoisômeros:pf 159-168°C ; iv(KBr, cm^{-1}) 1716, 1490, 1415.

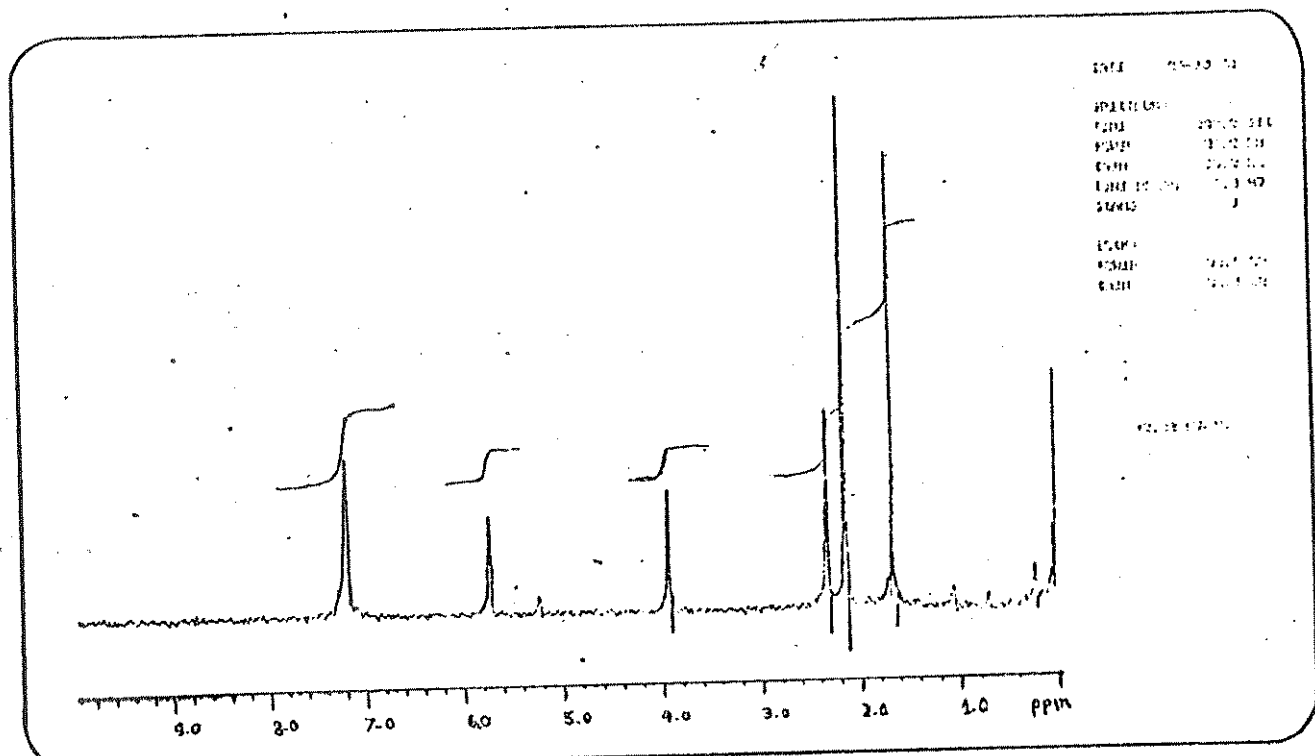
XI.1.2 Reação de competição entre pirazol e 2-aminotiazol com a difenilciclopropenona

Dissolveu-se o pirazol(0,136g,2 mmol)e o 2-aminotiazol (0,,200g, 2 mmol)em 3 ml de éter etílico e adicionou-se a difenilciclopropenona(0,206g,2 mmol),deixando-se a solução em repouso à temperatura ambiente durante 72 horas.O sólido insolúvel formado foi separado por filtração e lavado com éter,rendendo 0,245g de um sólido de cor branca,cujo rmp em CDCl_3 mostrou tratar-se do composto XXXIX²¹ (78%);pf 167-170°C;rmp(CDCl_3 , δ)4,25(1H,d,J=7 Hz), 5,40(1H,d,J=7 Hz), 6,50(1H,d,J=5 Hz), 6,65-7,40(11 H,m). A fração solúvel foi concentrada e transferida para uma coluna de Florisil^R(5,0g,100-200 mesh). Eluída com benzeno(150 ml)permitiu o isolamento da cetona XXXIII(20%, mistura de diastereoisômeros):pf 166-176°C;iv(KBr, cm^{-1})1716,1490, 1415 , 1389,1356.

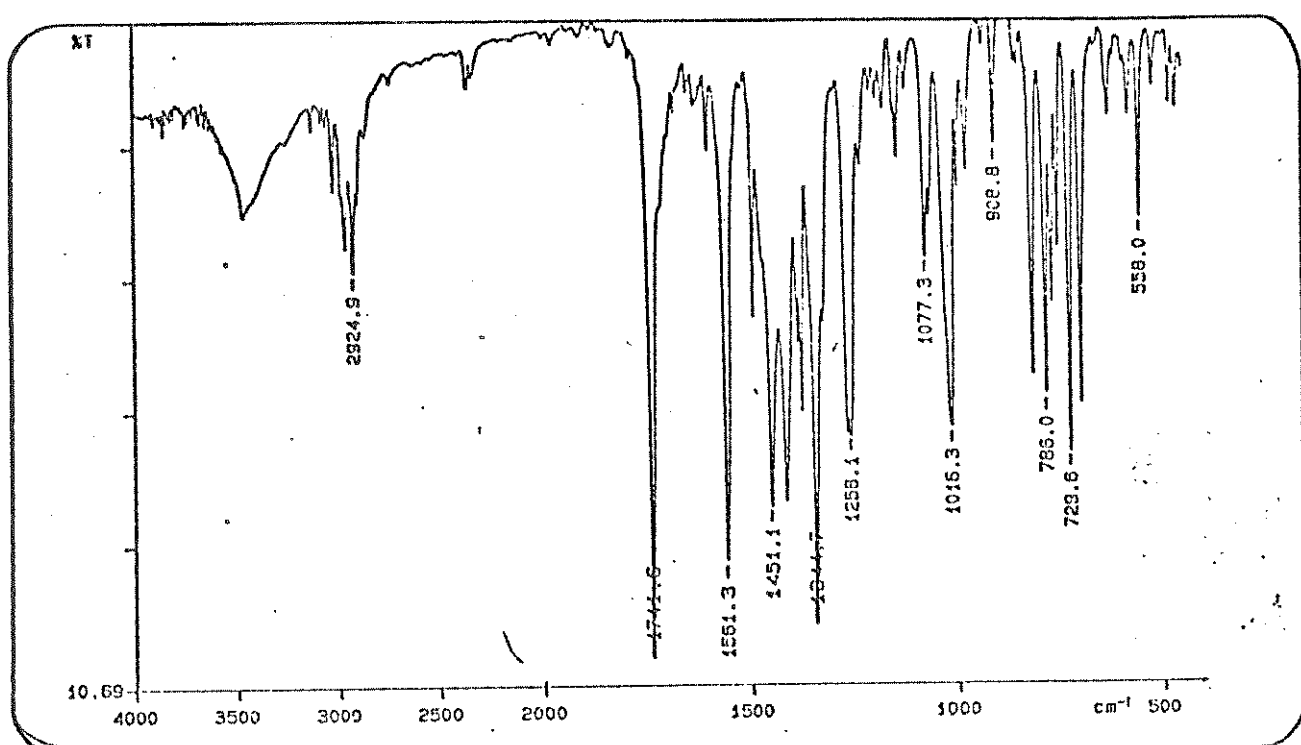
ESPÉCTROS



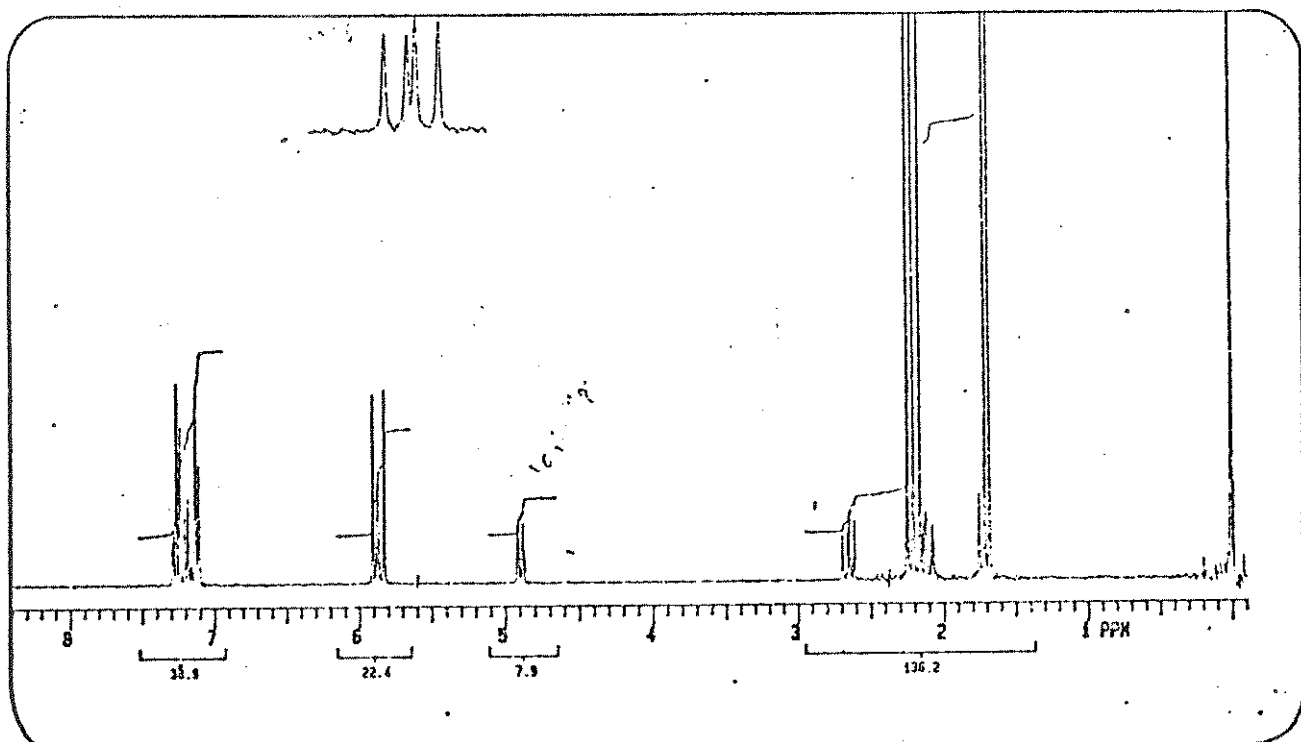
Espéctro 01 : rmp (CCl_4) da metilfenilciclopropenona (1)



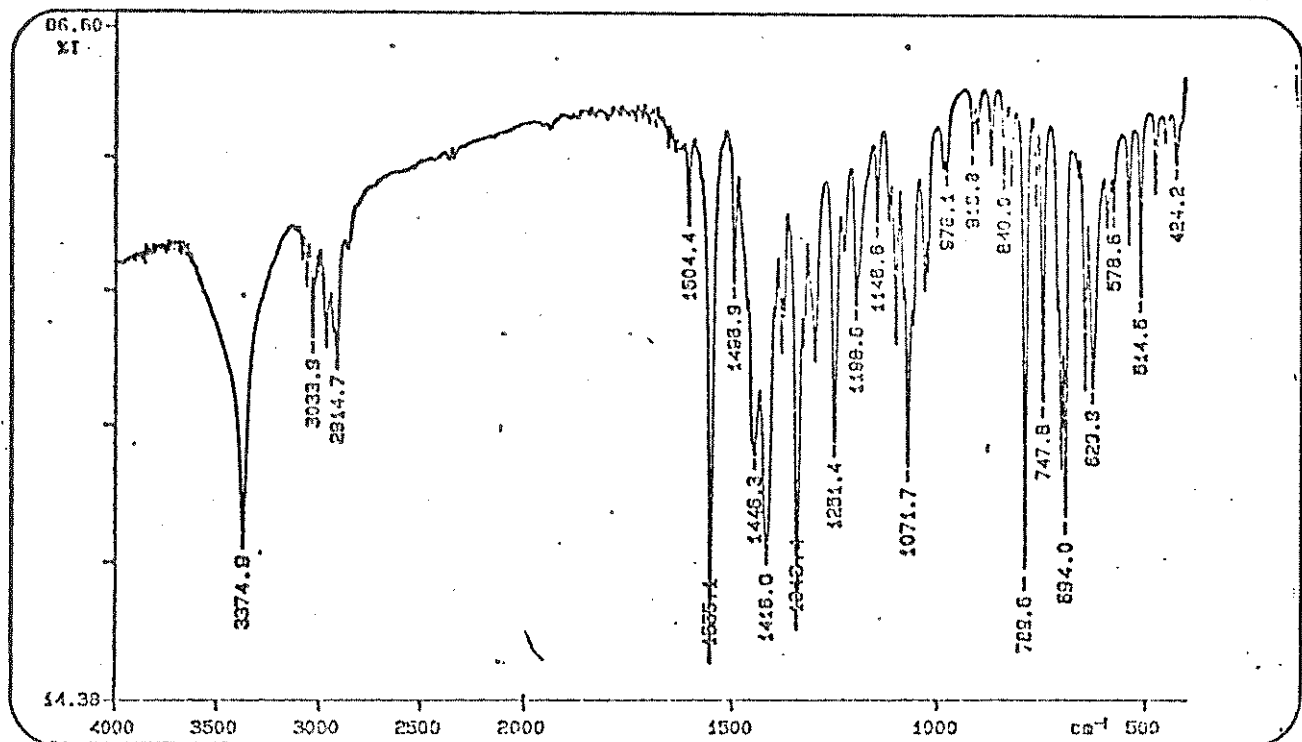
Espéctro 02 : rmp (CCl_4) do composto XX



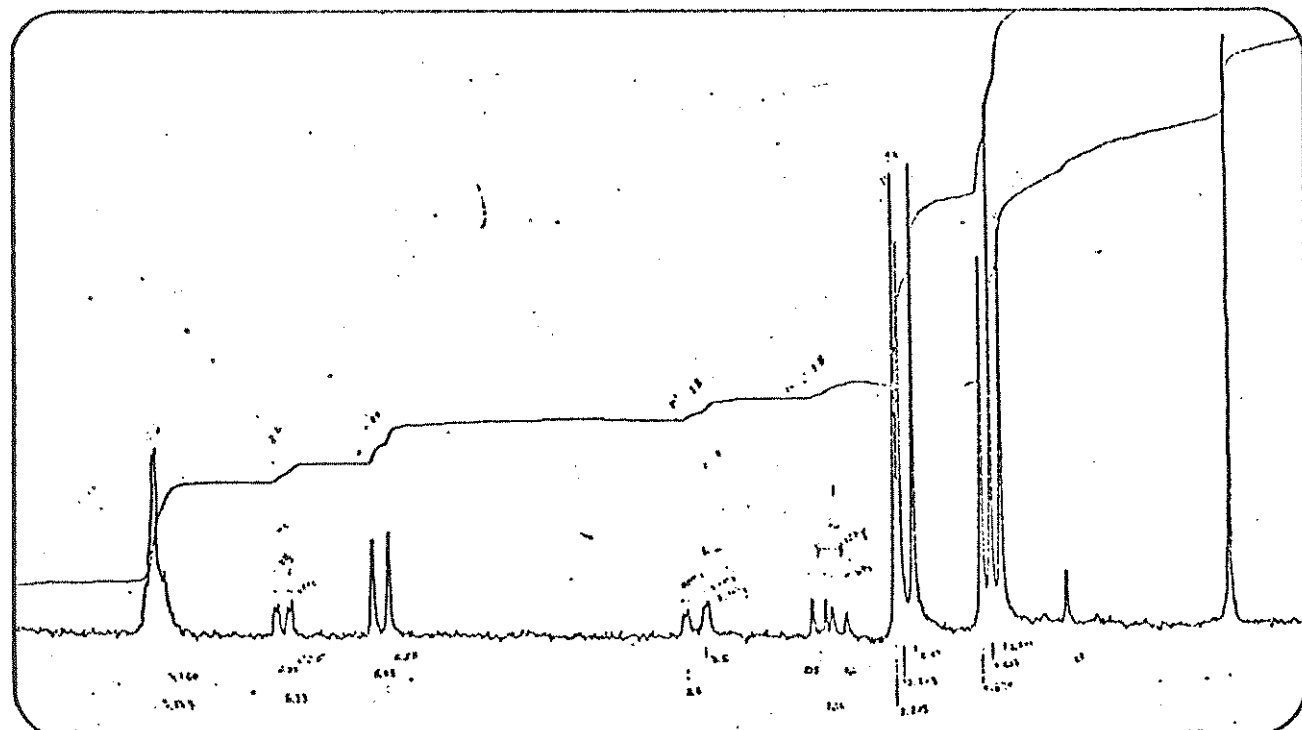
Espéctro 03 : iv (KBr) do composto XX



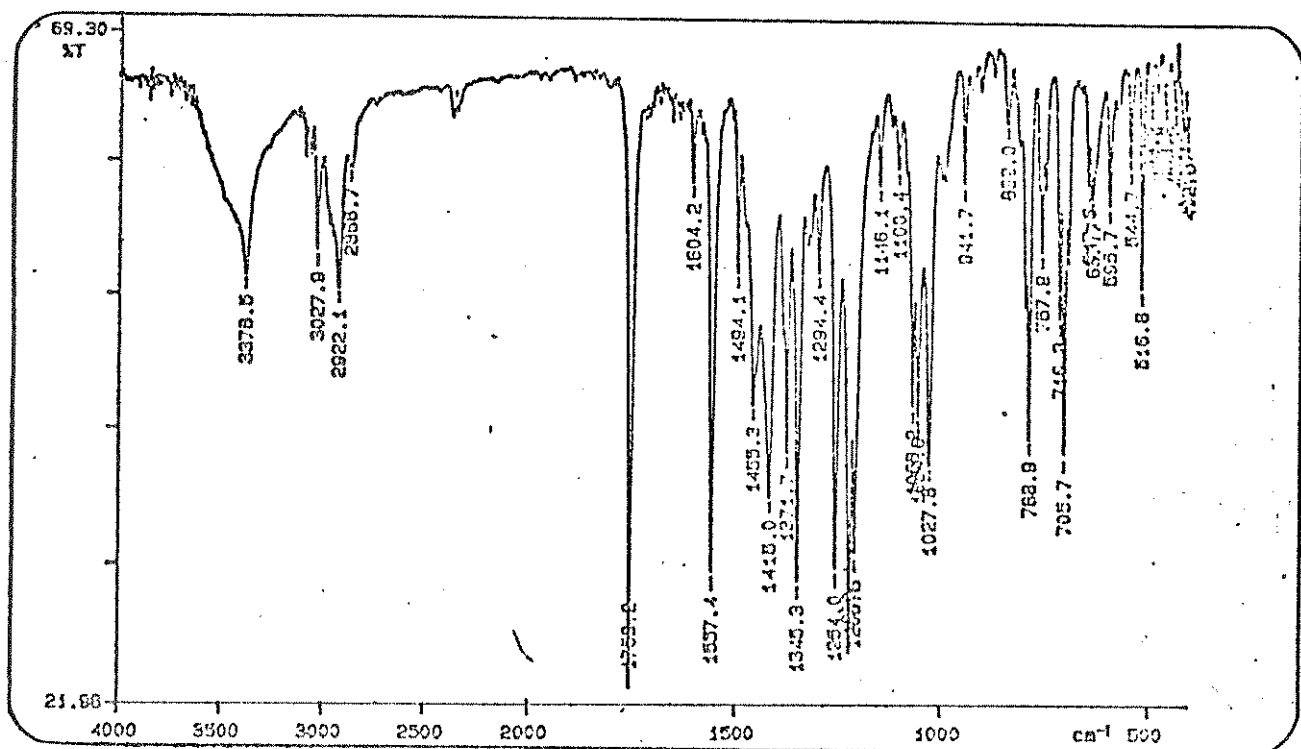
Espéctro 04 : rmp (CDCl_3) do composto XL



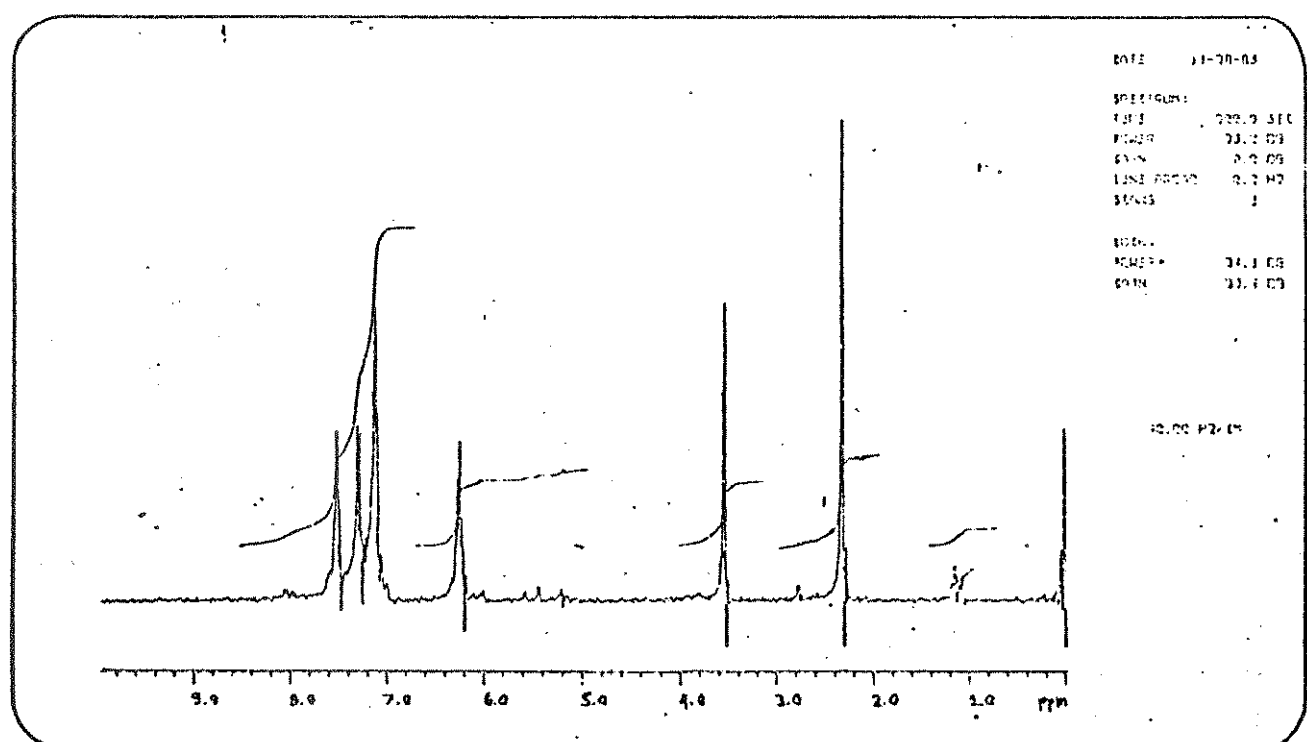
Espéctro 05 : iv (KBr) do composto XL

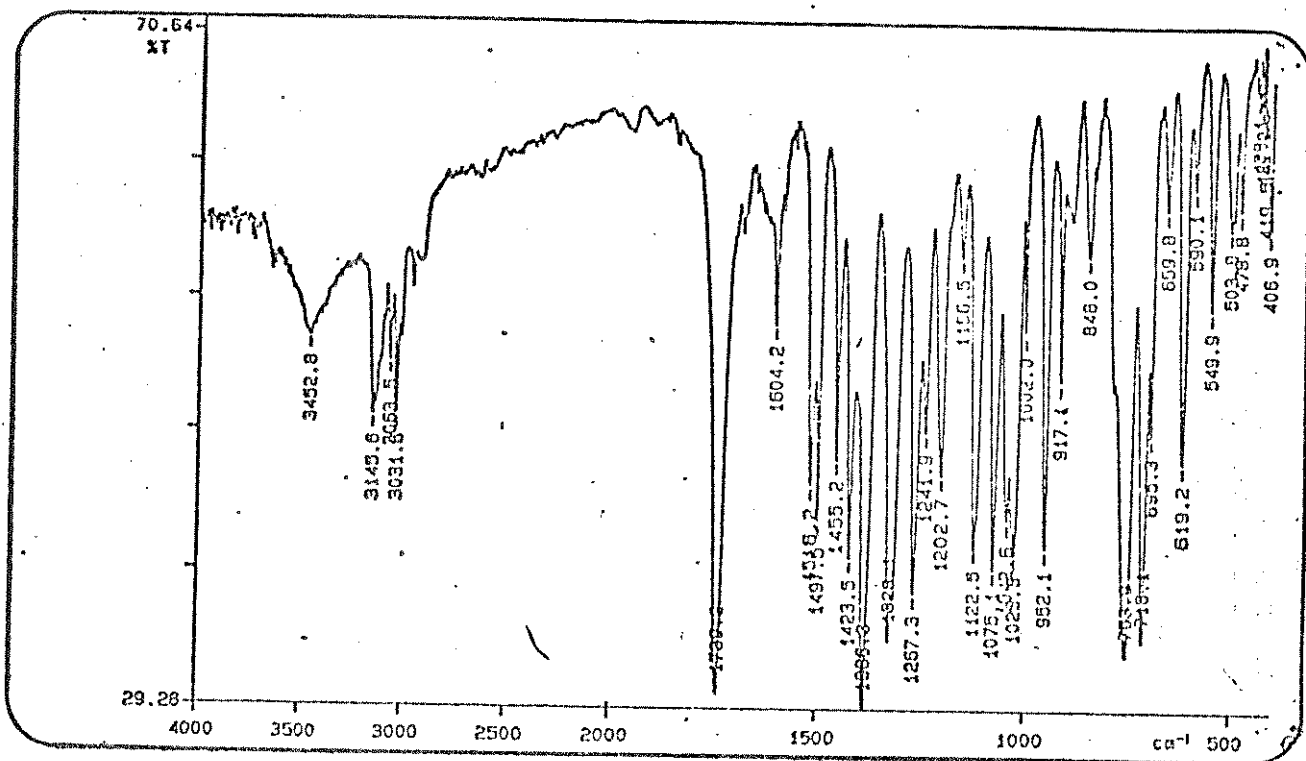


Espéctro 06 : rmp(CCl_4) do composto XLI

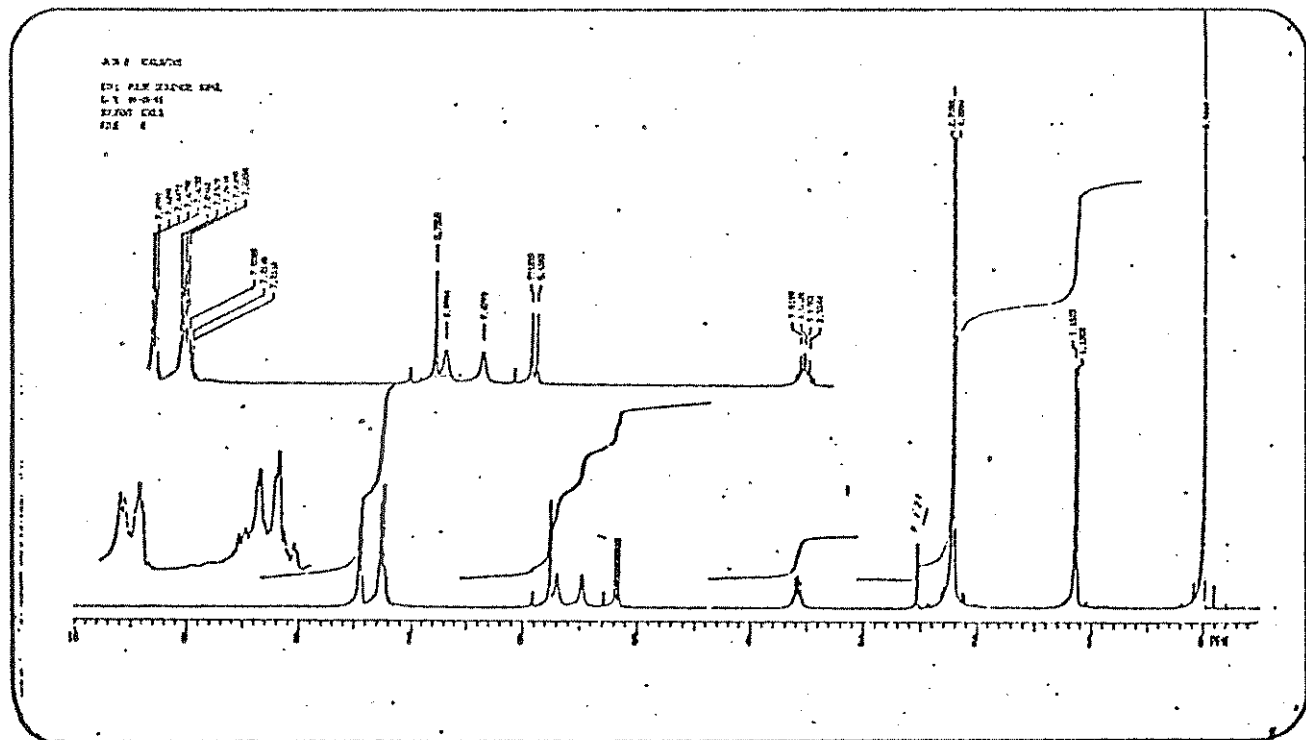


Espéctro 07 : iv (KBr) do composto XLI

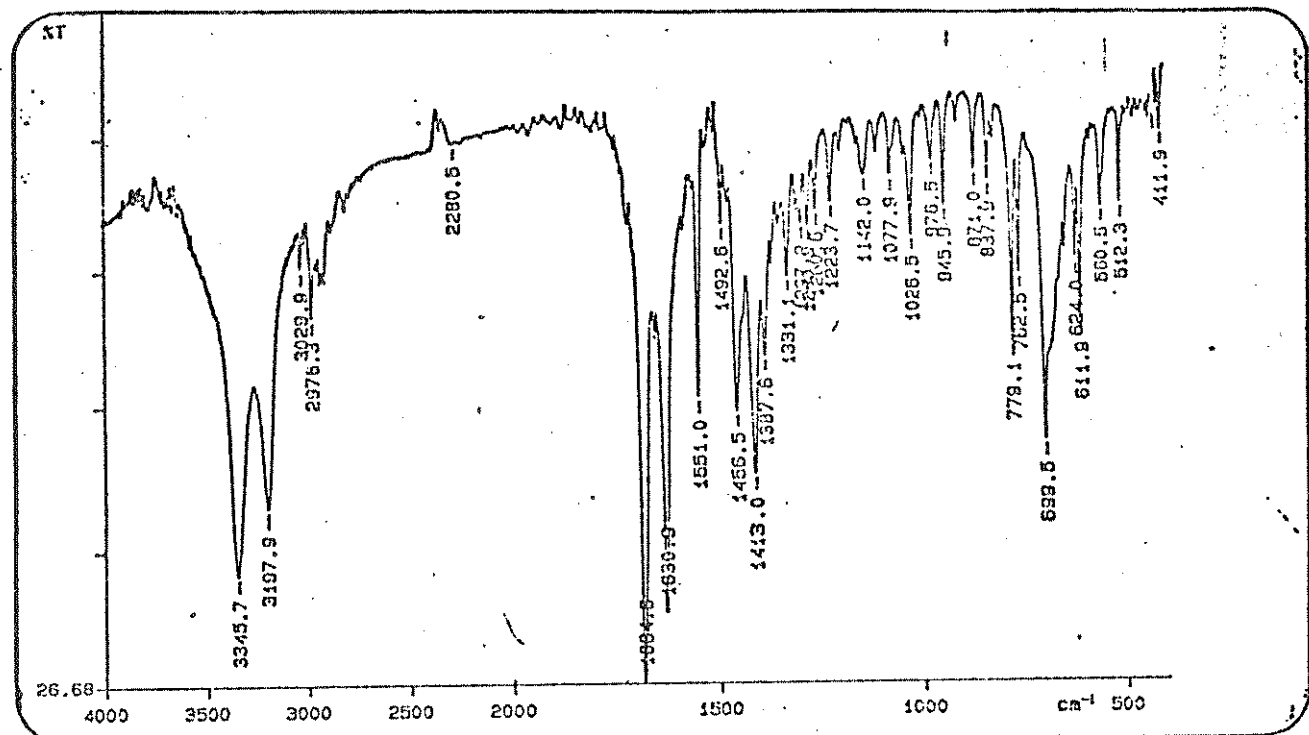
Espéctro 08 : rmp (CCl₄) do composto XXIII



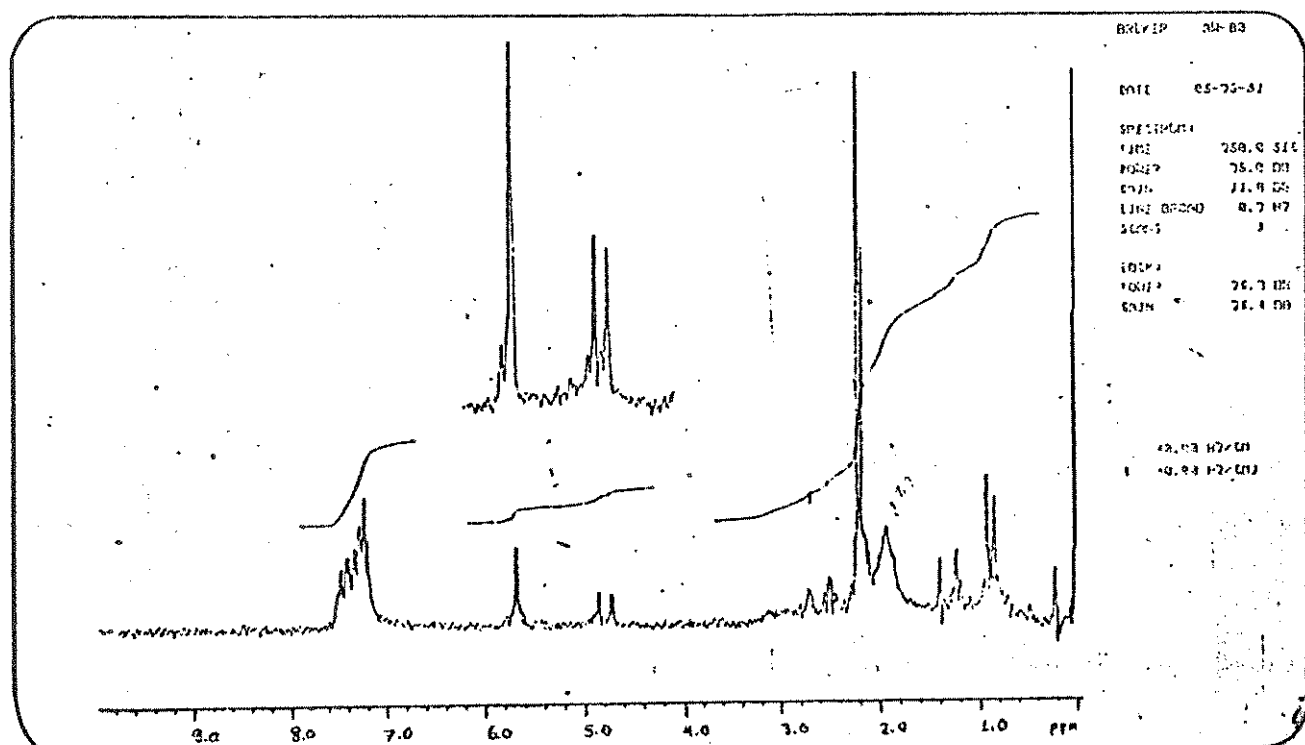
Espectro 09 : iv (filme) do composto XXIII



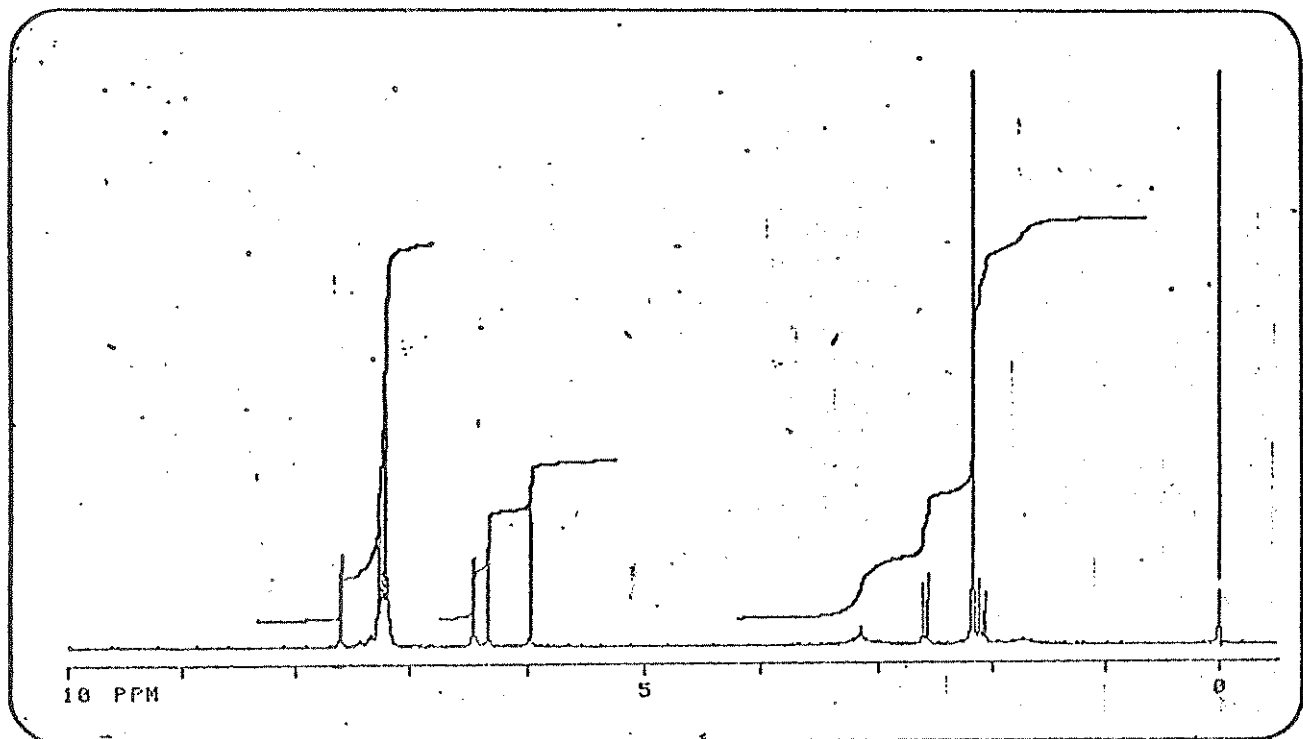
Espectro 10 : rmp (CDCl₃) do composto XXIV



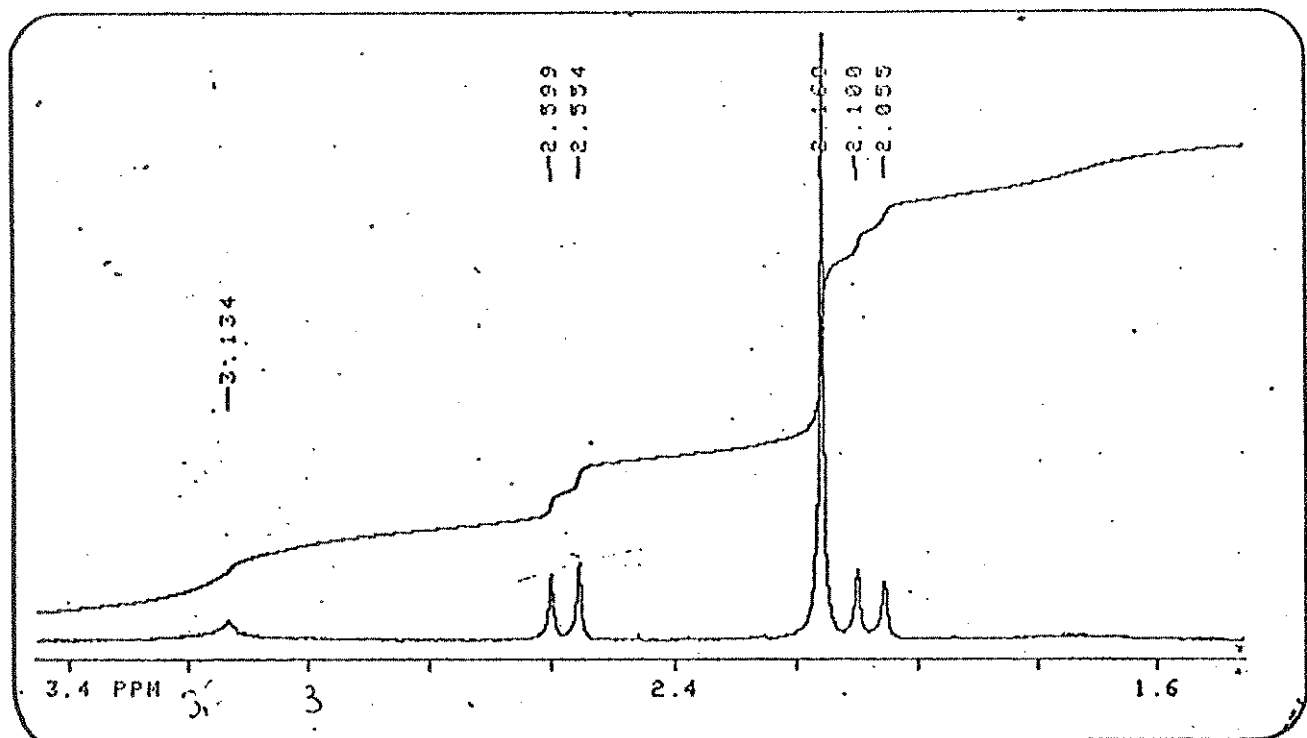
Espéctro 11 : iv (KBr) do composto XXIV



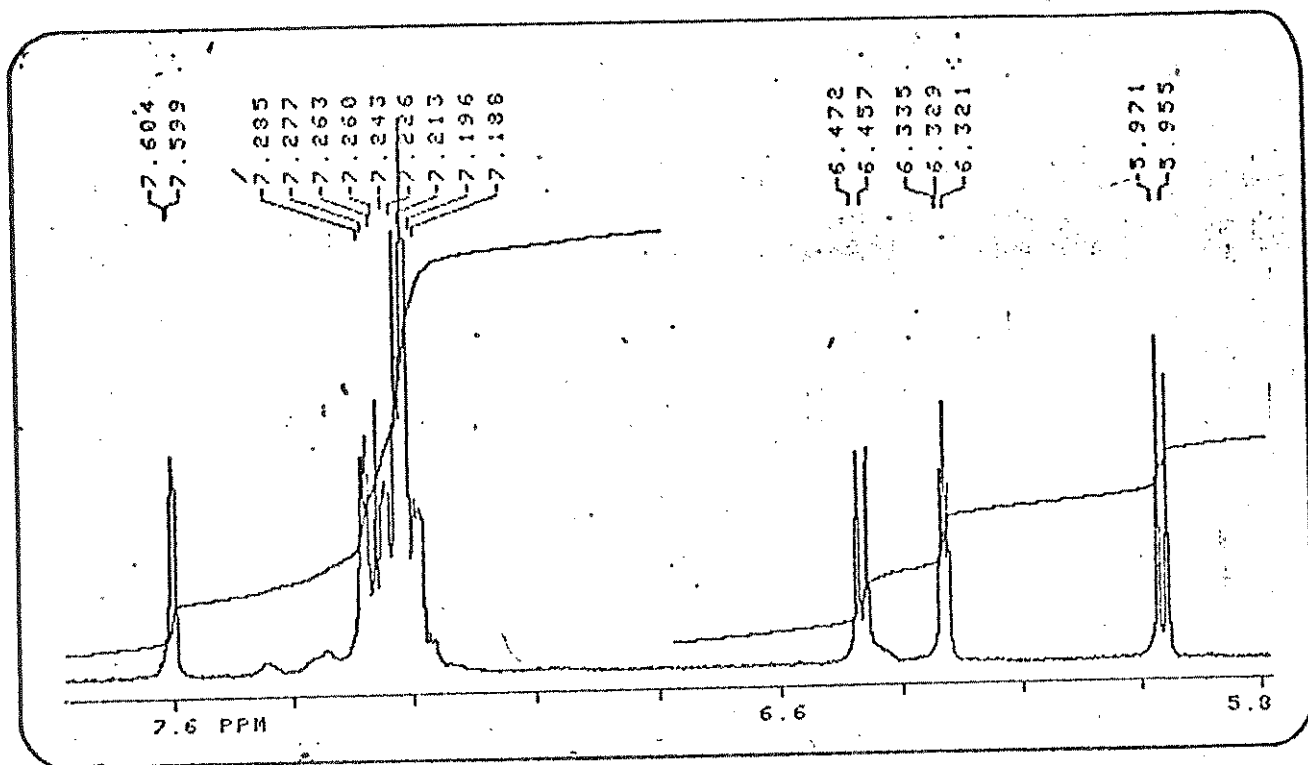
Espéctro 12 : rmp(CDCl₃) do composto LXIII



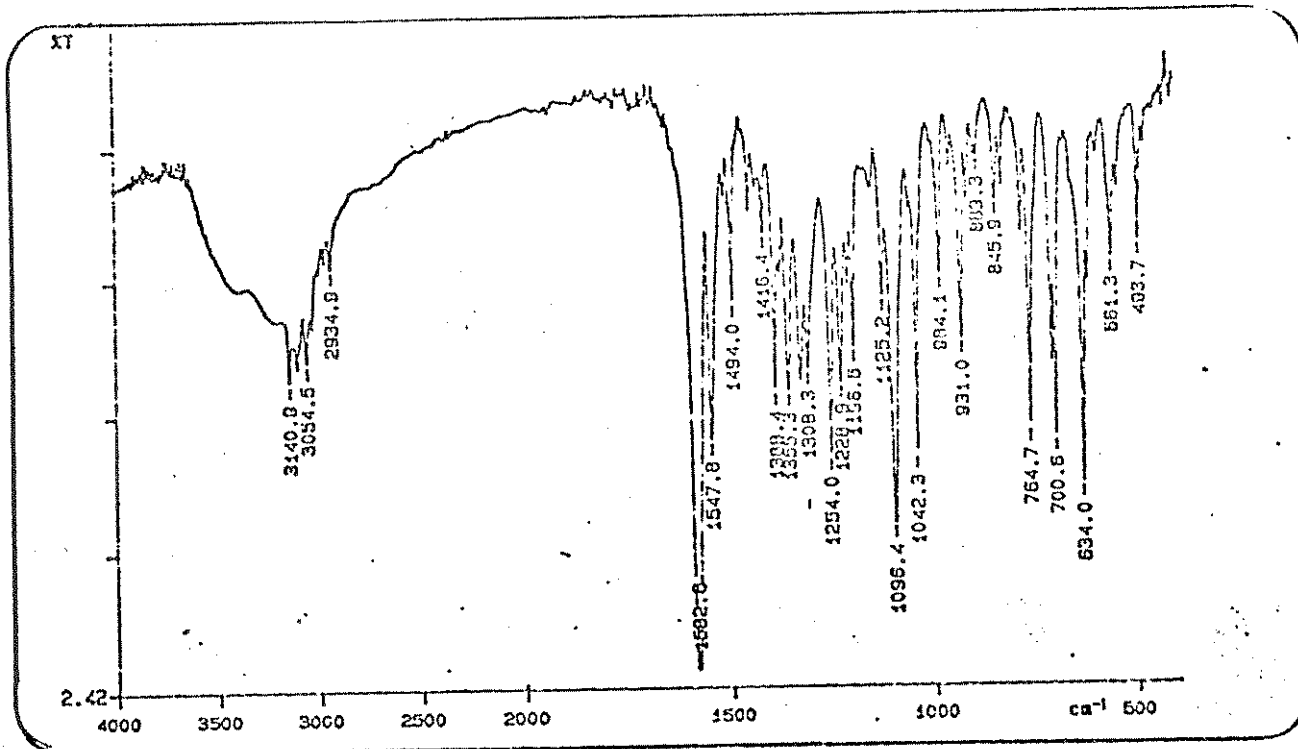
Espéctro 13a: rmp (CDCl_3) do composto XXV



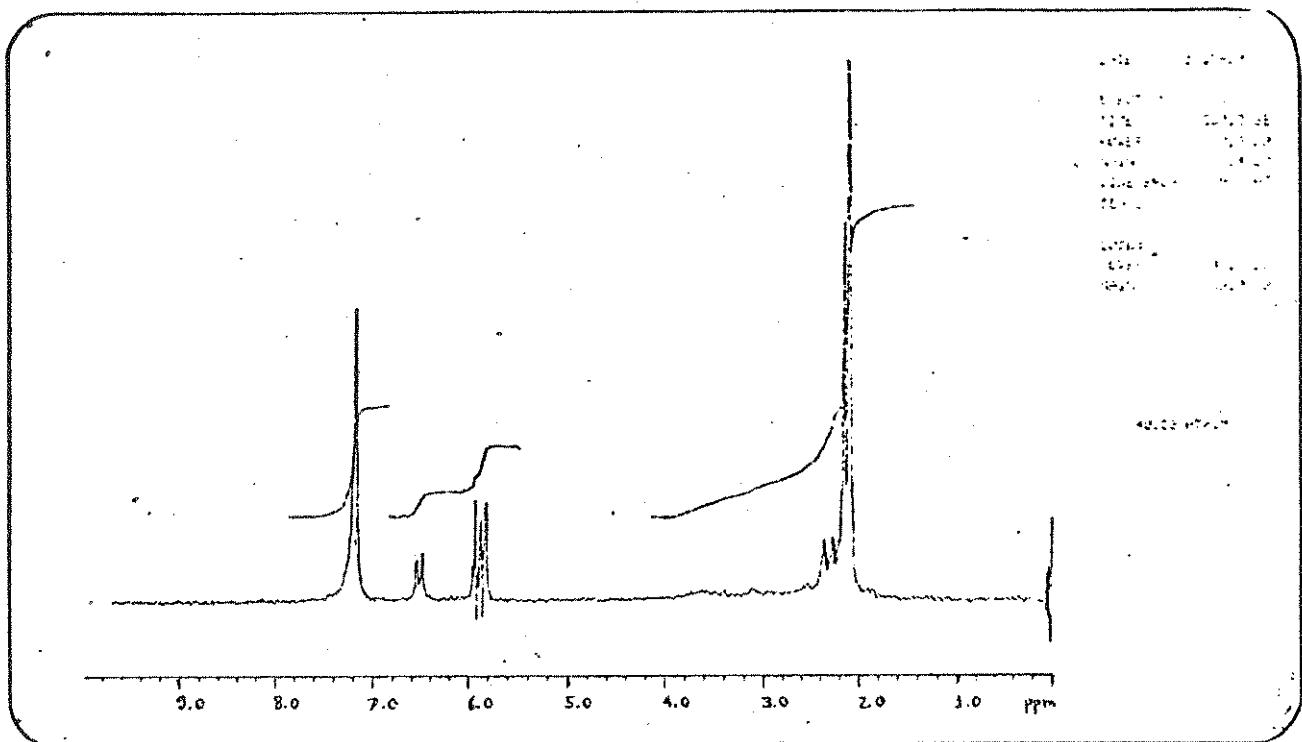
Espéctro 13 b : rmp (CDCl_3) do composto XXV



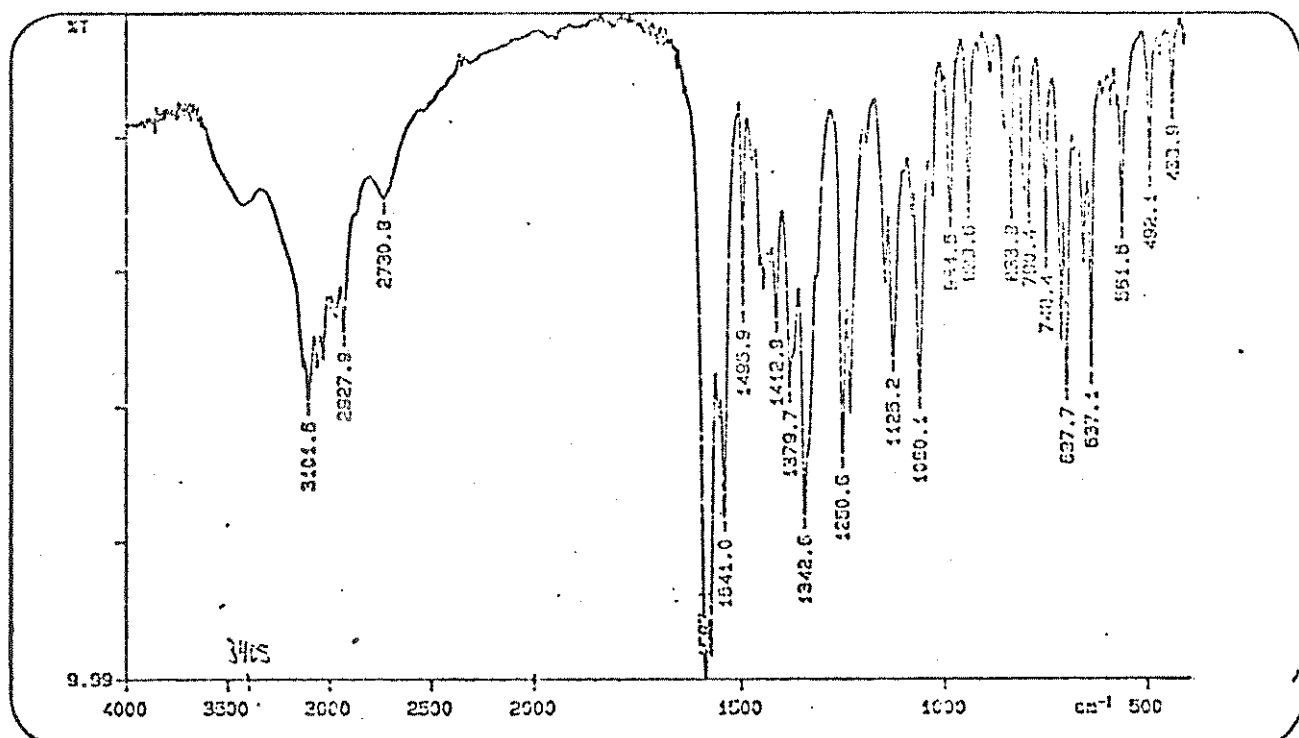
Espéctro 13 c : rmp (CDCl_3) do composto XXV



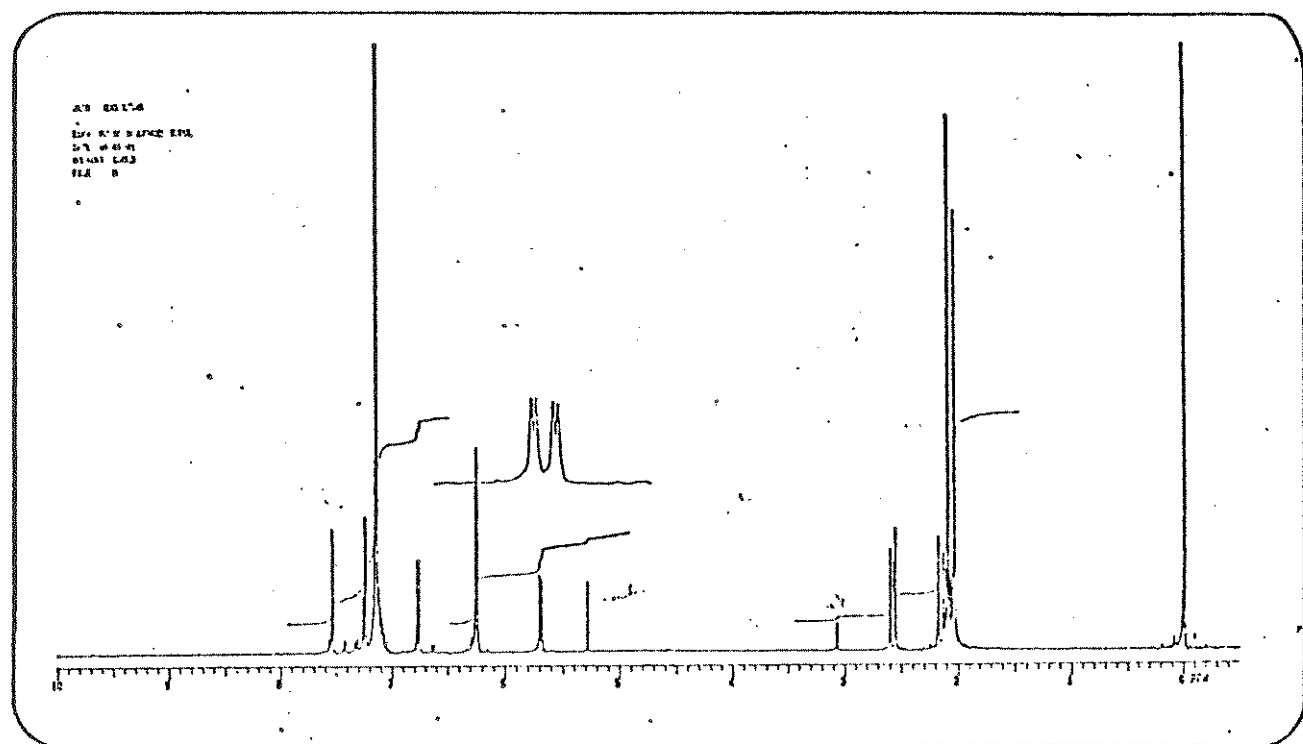
Espéctro 14 : iv (KBr) do composto XXV

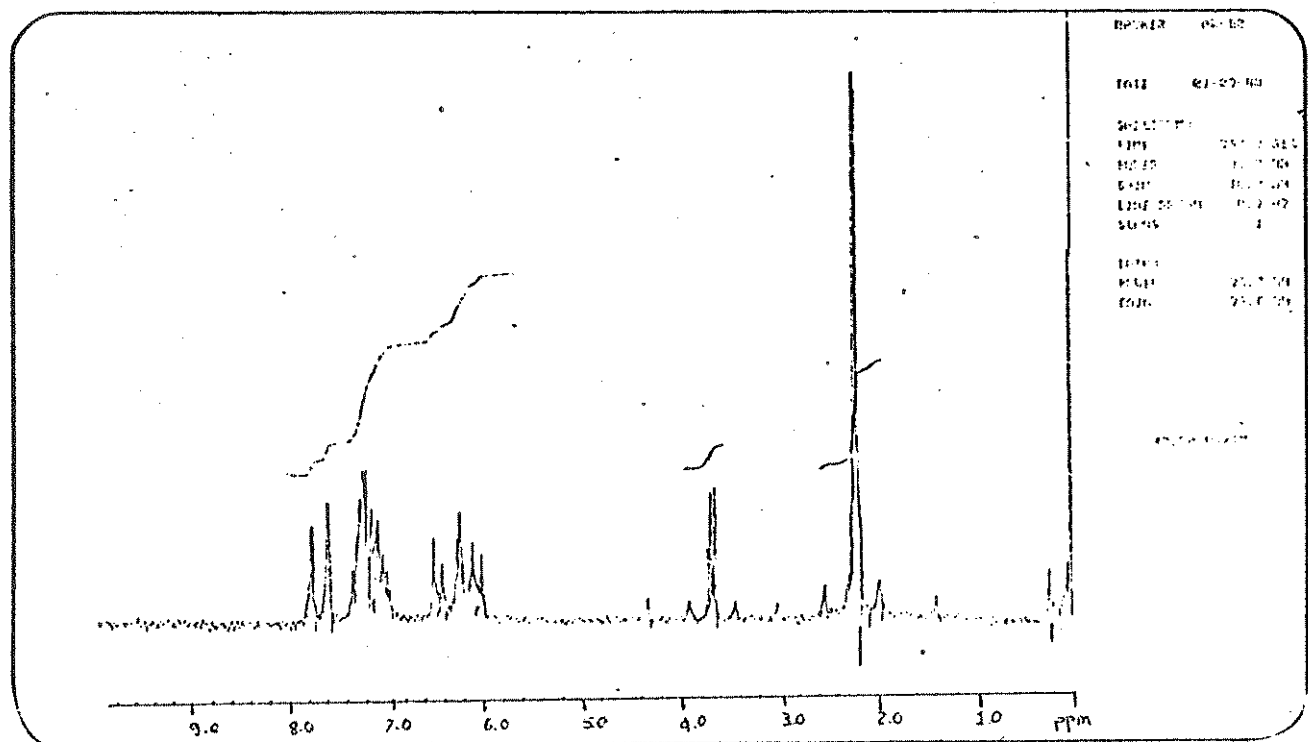


Espéctro 15 : rmp (CDCl_3) do composto XXVI

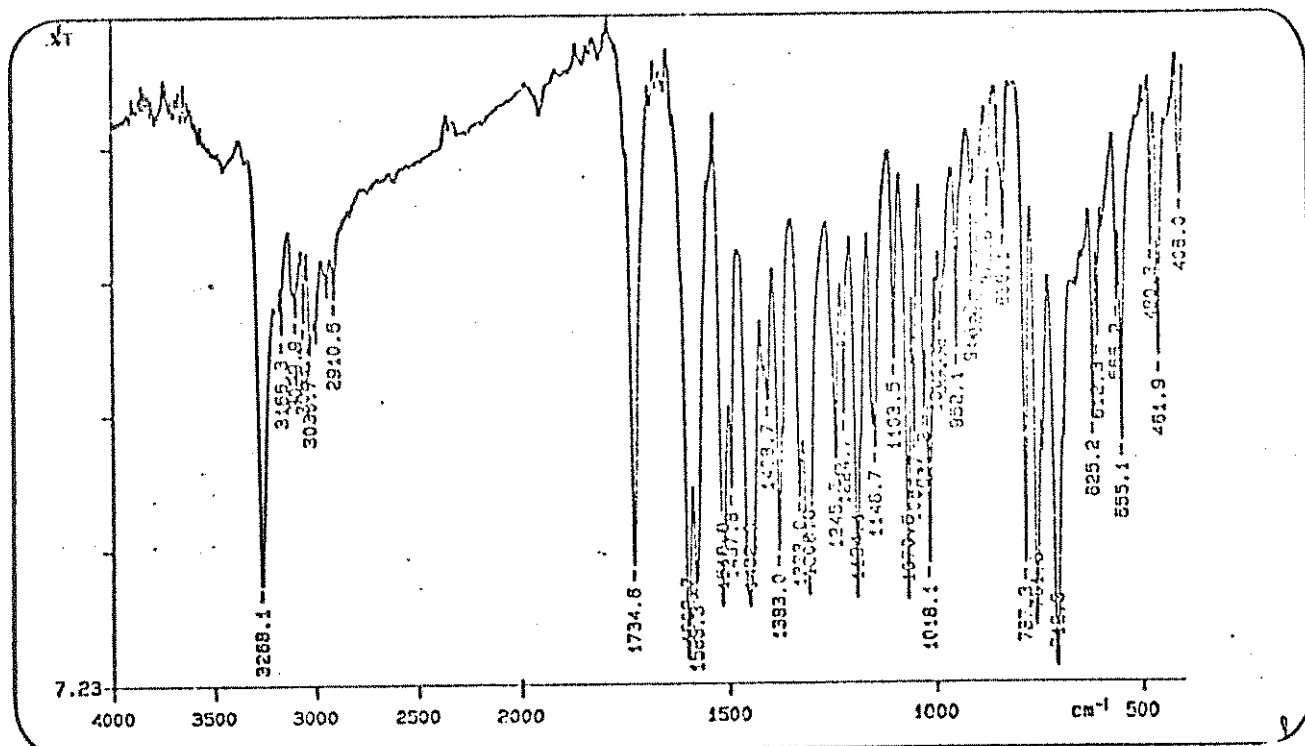


Espéctro 16 : iv (KBr) do composto XXVI

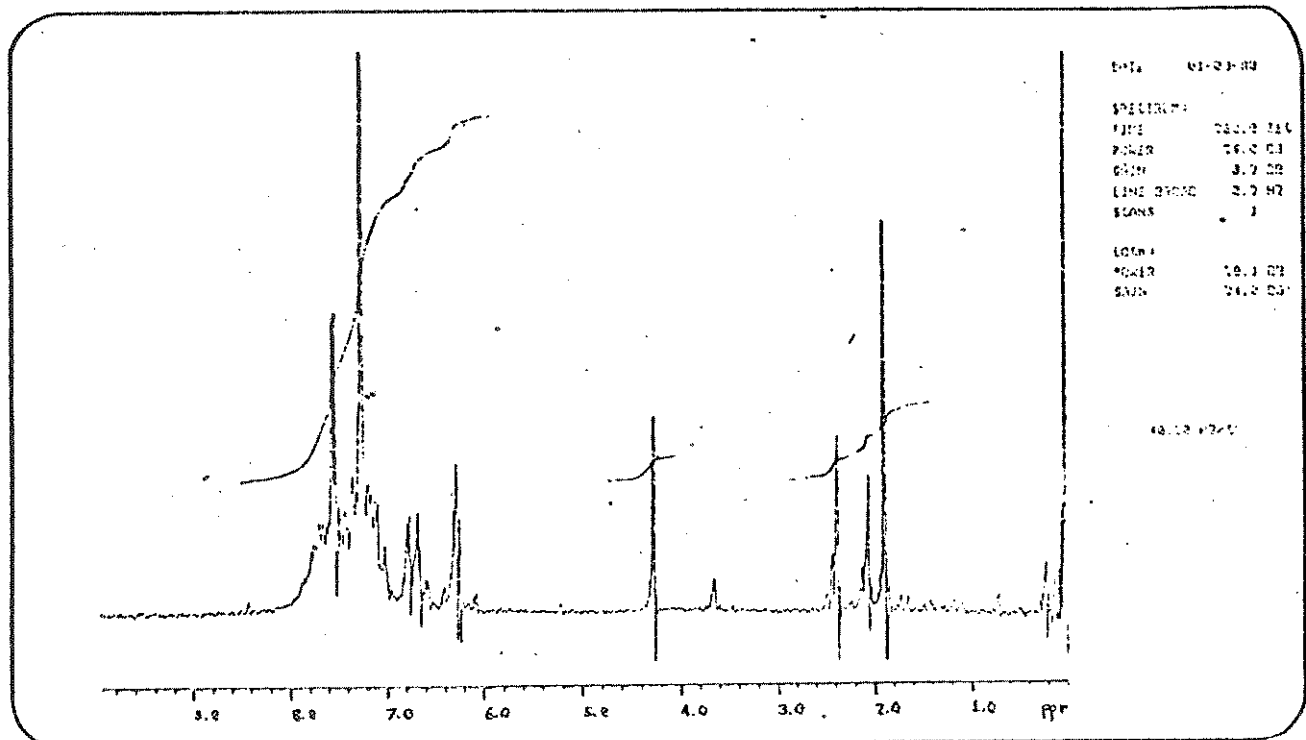




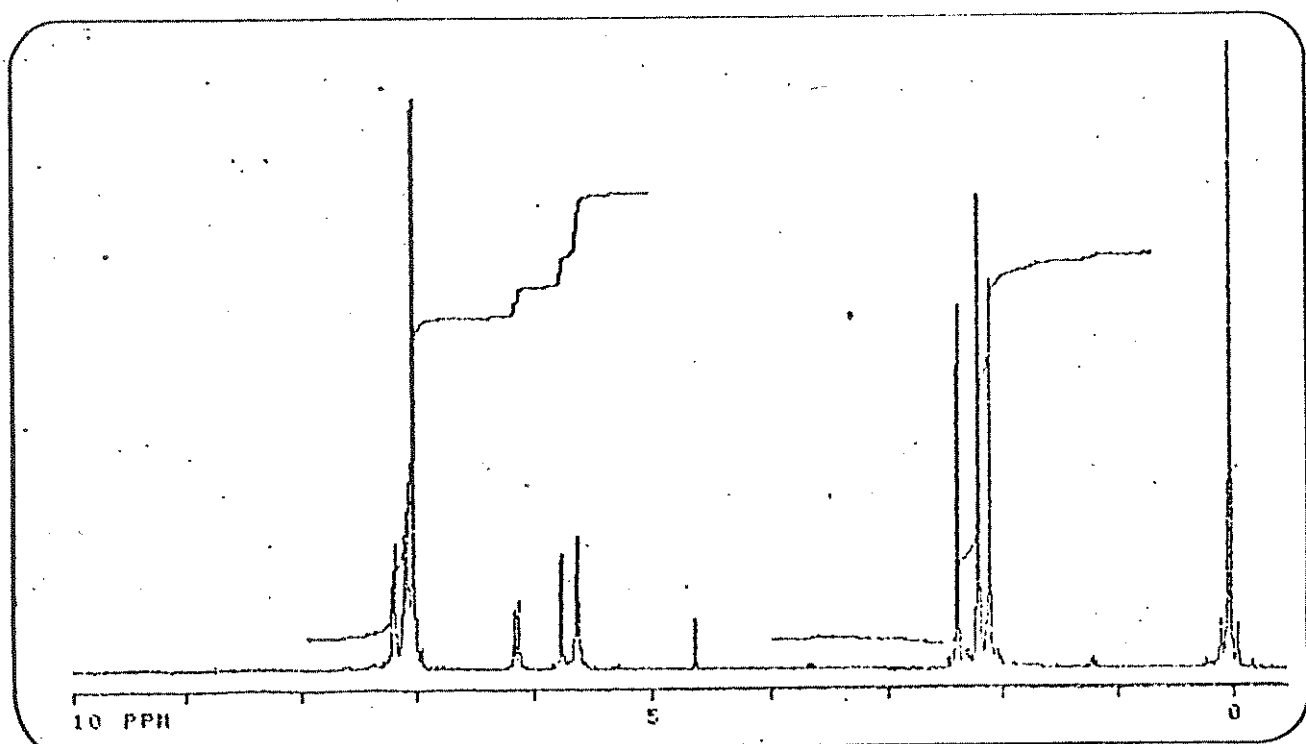
Espéctro 19 : rmp (CDCl_3) do composto XXVIII



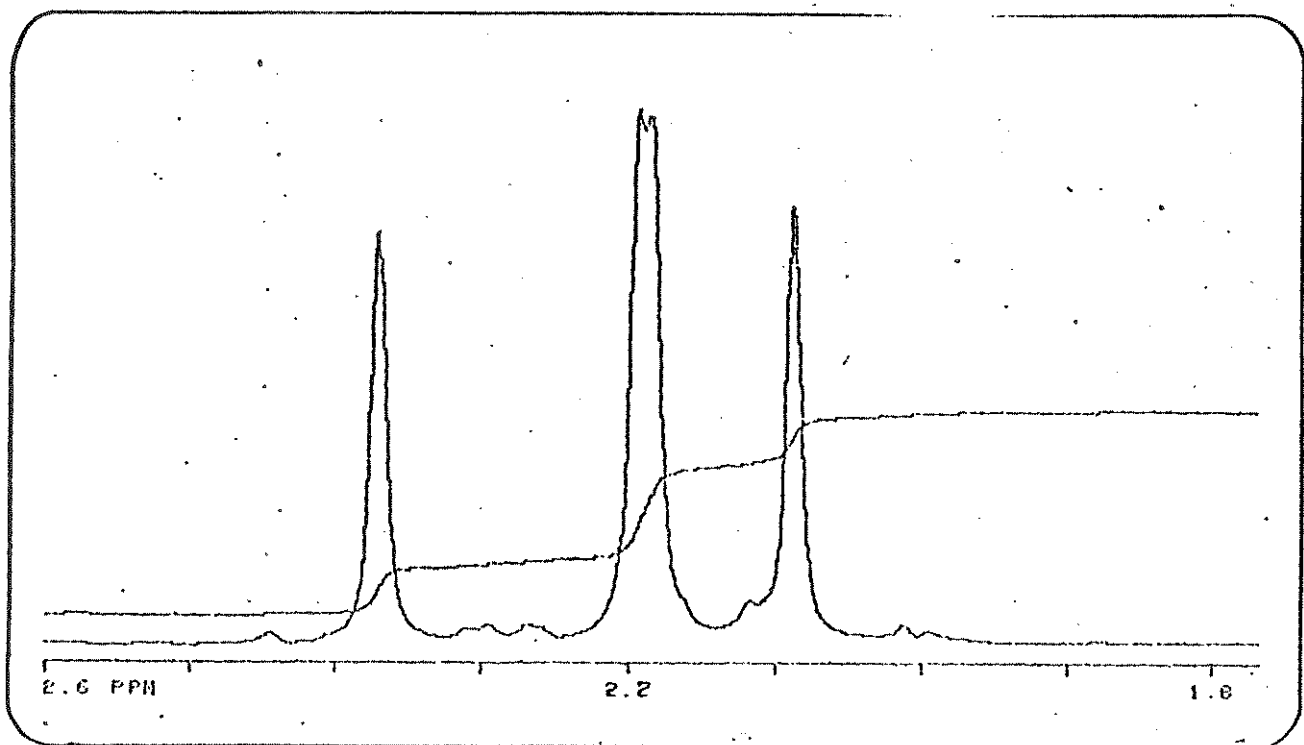
Espéctro 20 : iv (KBr) do composto XXVIII



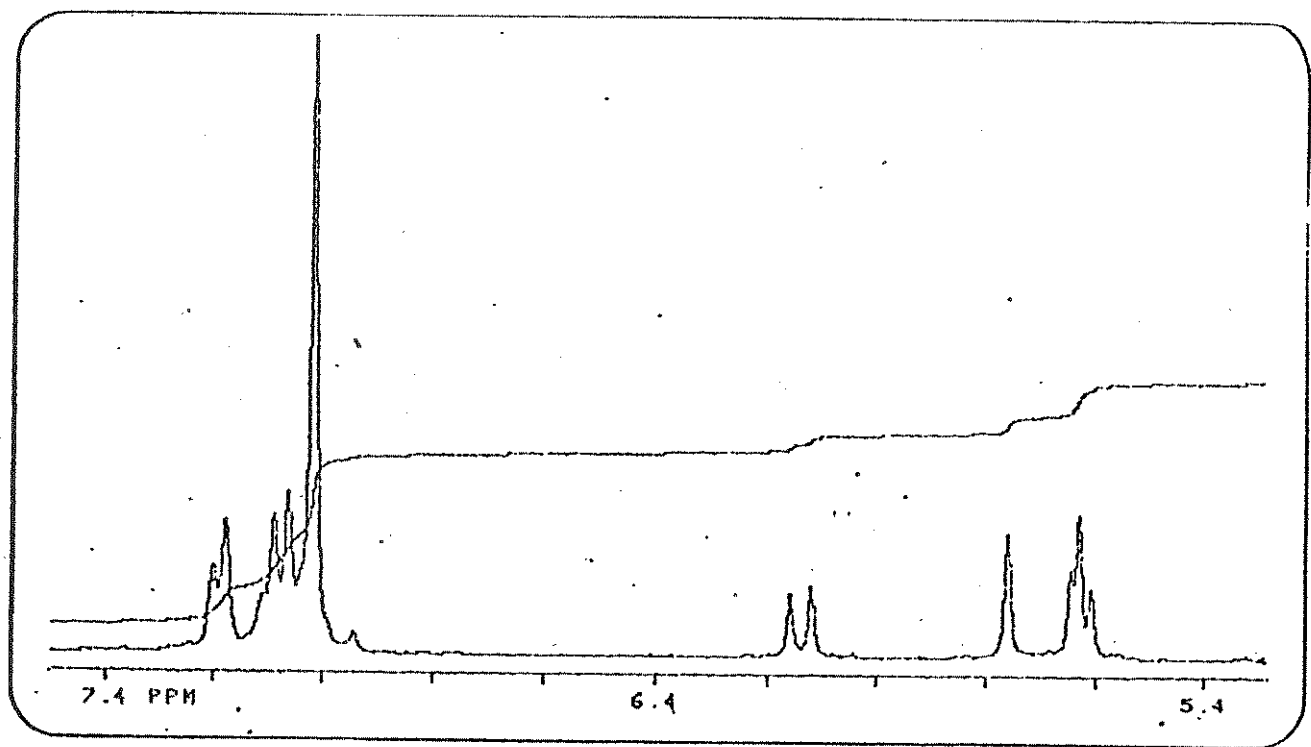
Espéctro 21 : rmp (CDCl_3) do composto XXIX



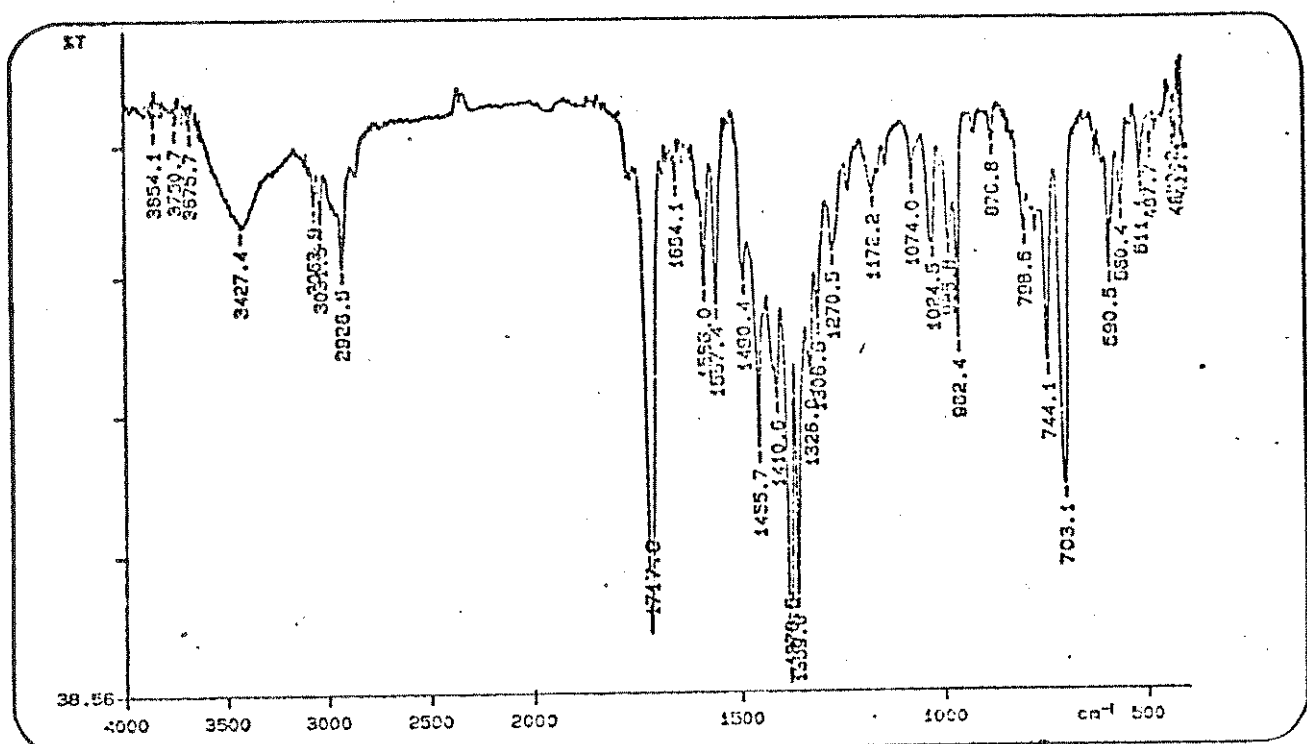
Espéctro 22 a : rmp (CCl_4) do composto XXX



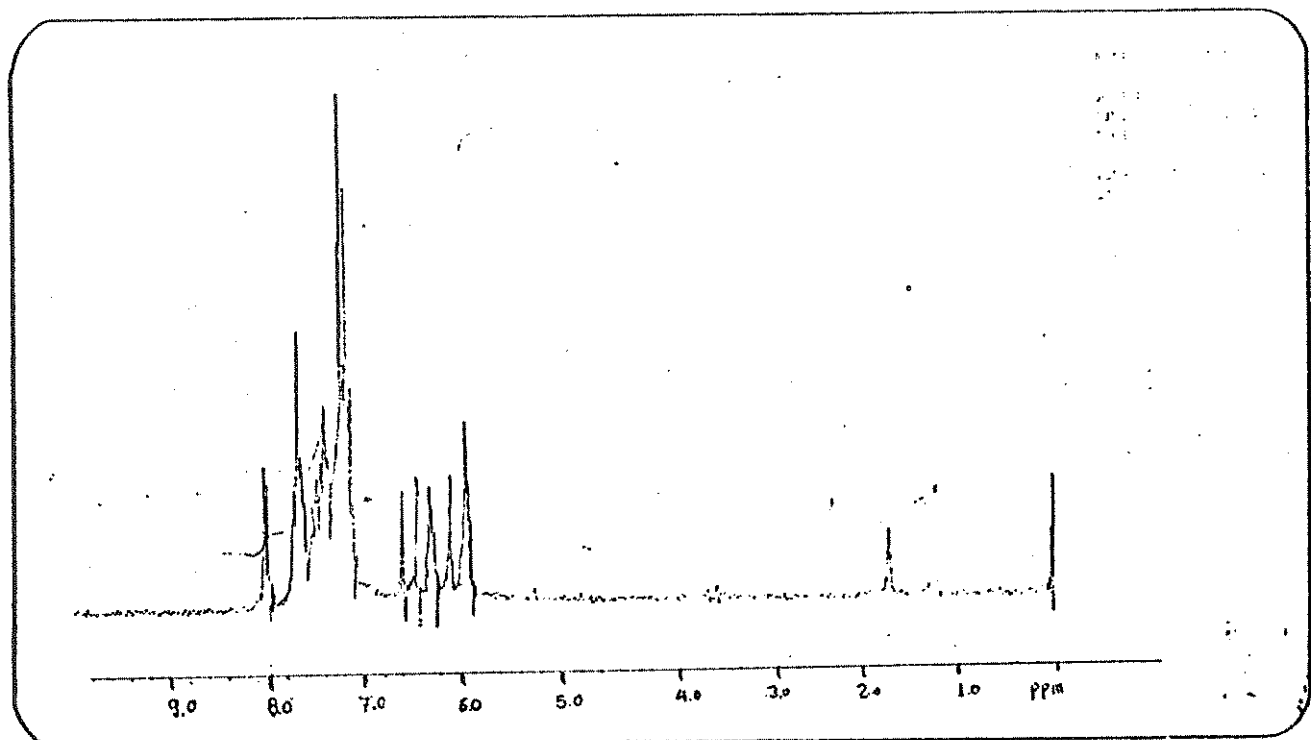
Espéctro 22 b : rmp (CCl_4) do composto XXX



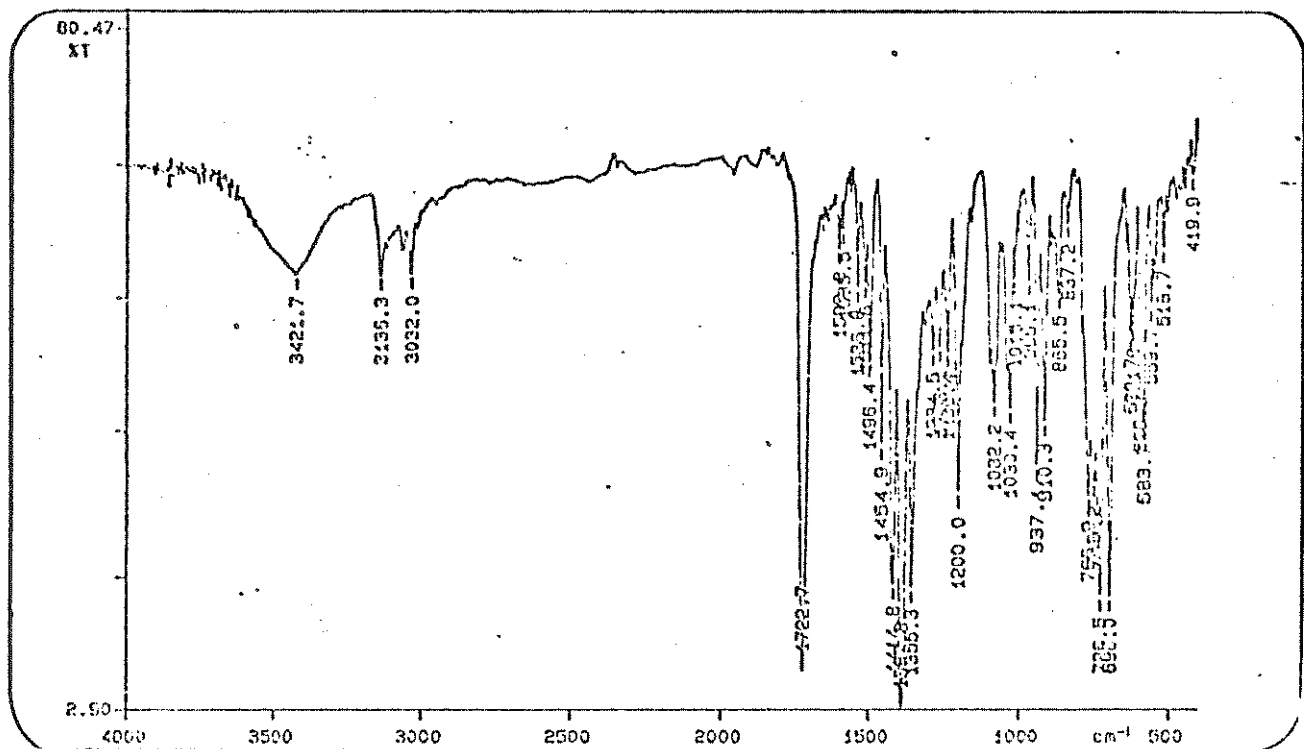
Espéctro 22 c : rmp (CCl_4) do composto XXX



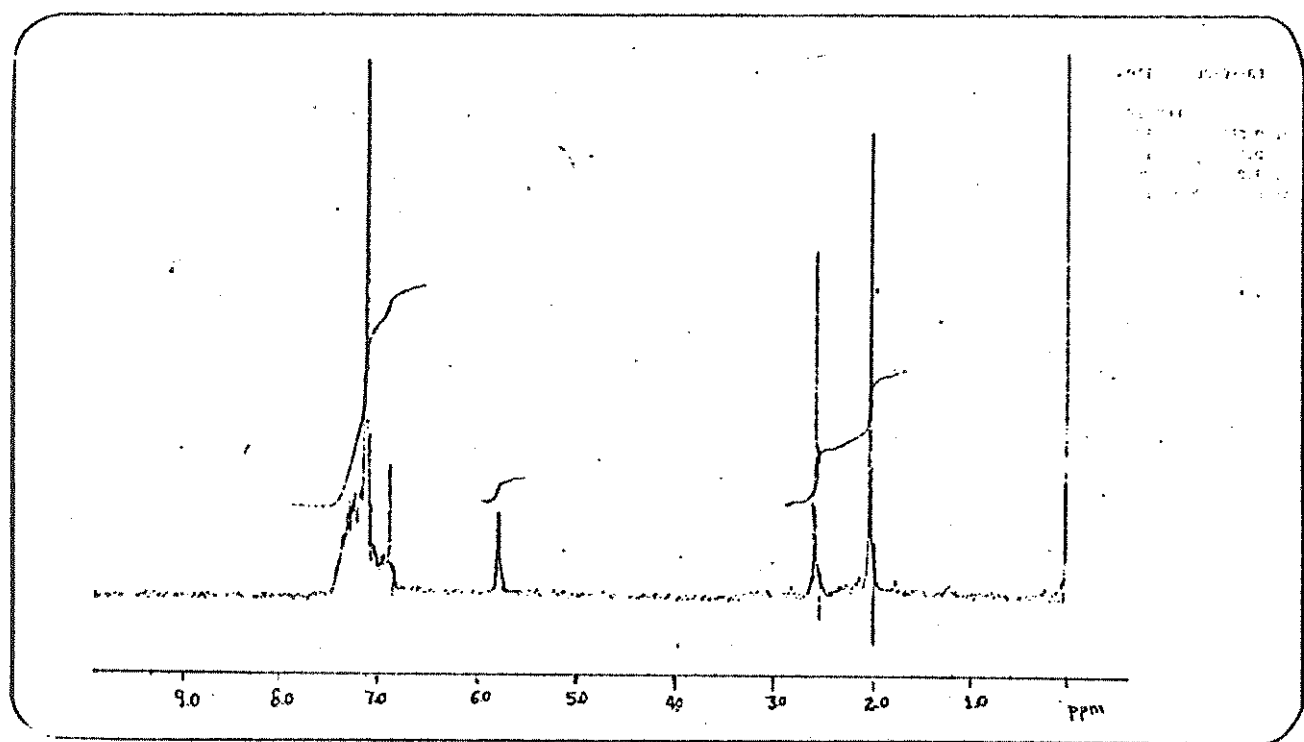
Espéctro 23 : iv (KBr) do composto XXX



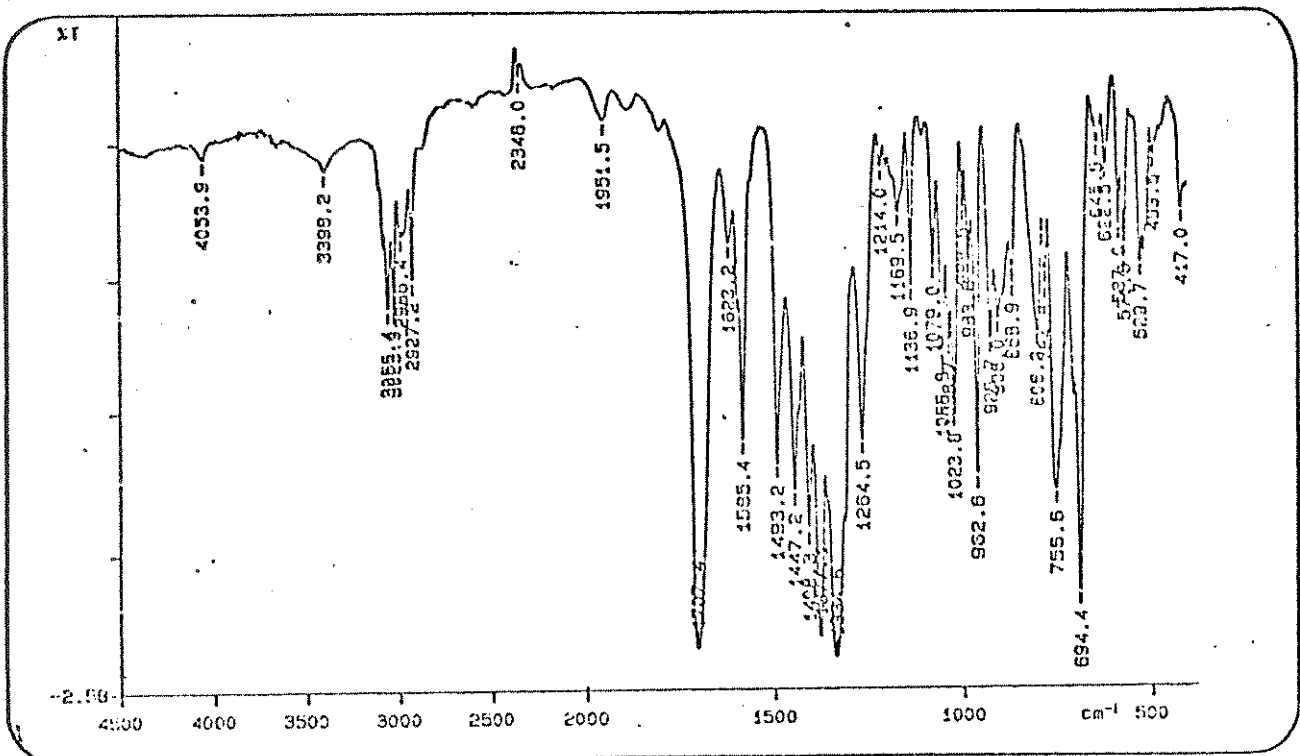
Espéctro 24 : rmp(CDCl₃) do composto XXXIII



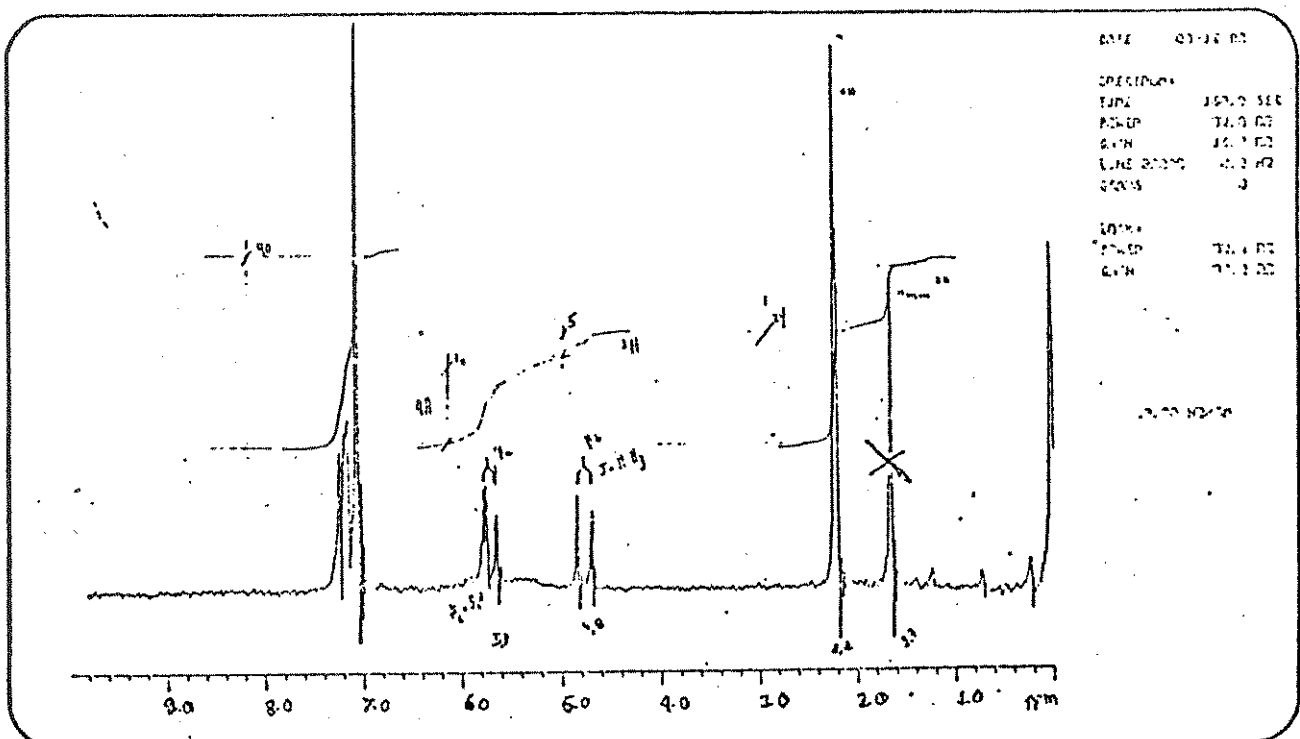
Espéctro 25 : iv (KBr) do composto XXXIII



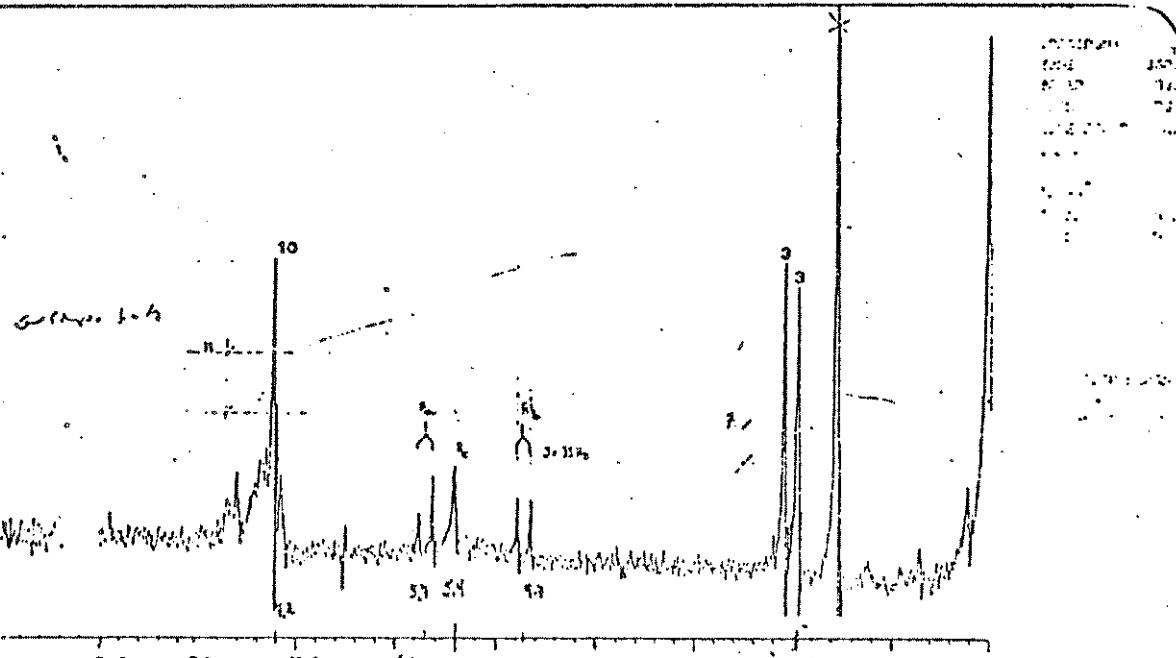
Espéctro 26 : rmp (CCl₄) do composto XXXIV



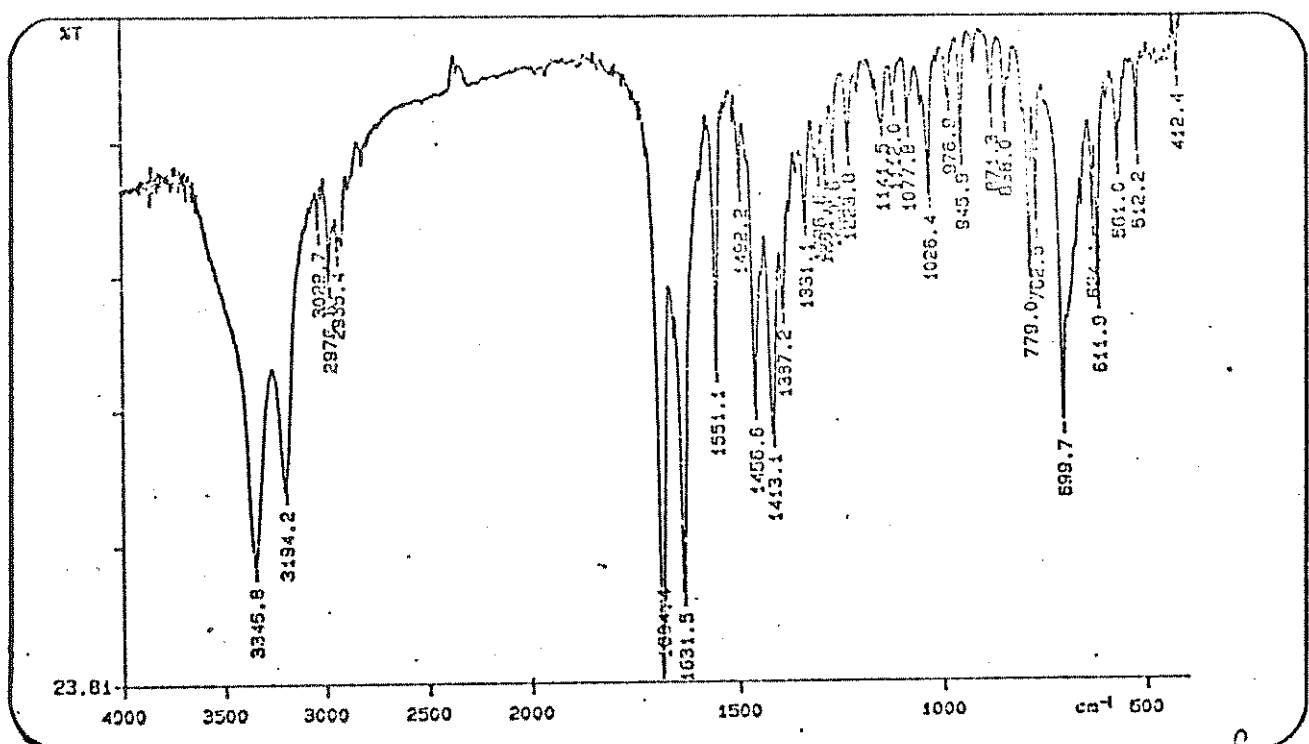
Espéctro 27 : iv (KBr) do composto XXXIV



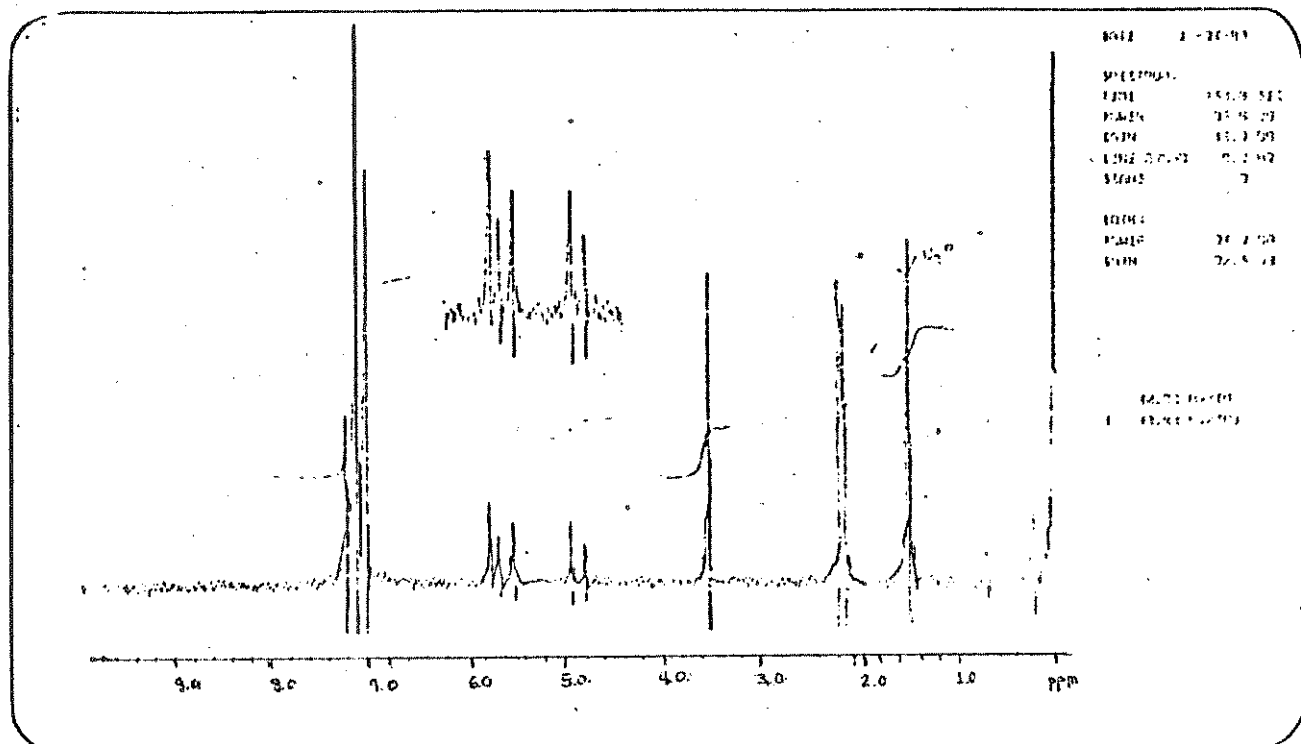
Espéctro 28 : rmp (CDCl₃) do composto XXXVa



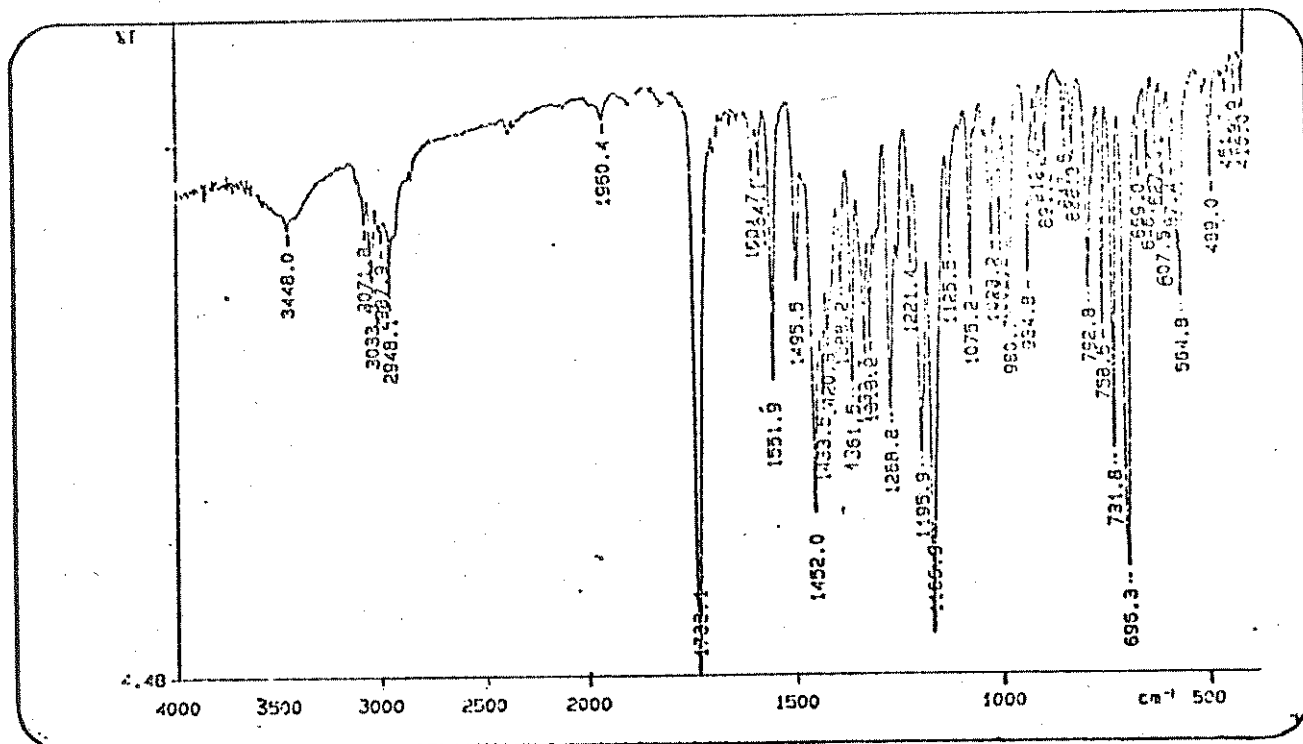
Espectro 29 : rmp (CDCl_3) do composto XXXVb



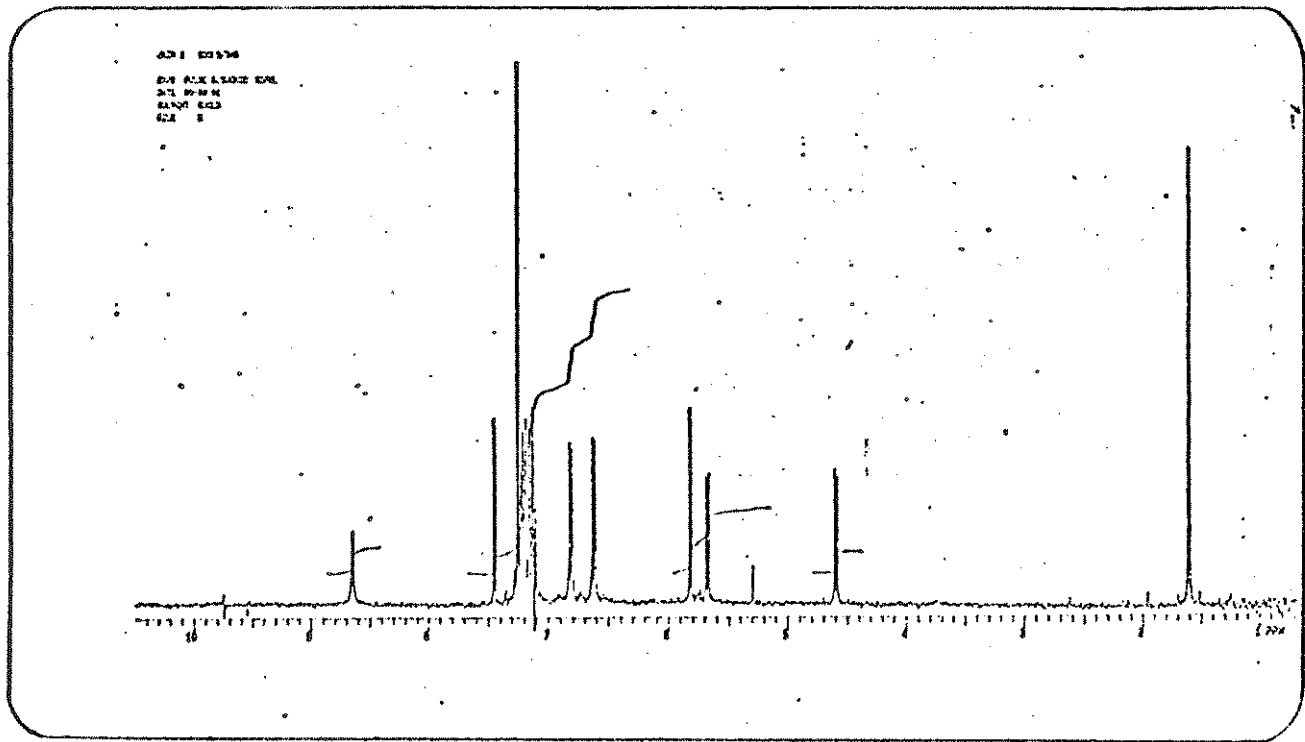
Espectro 30 : iv (KBr) do composto XXXV



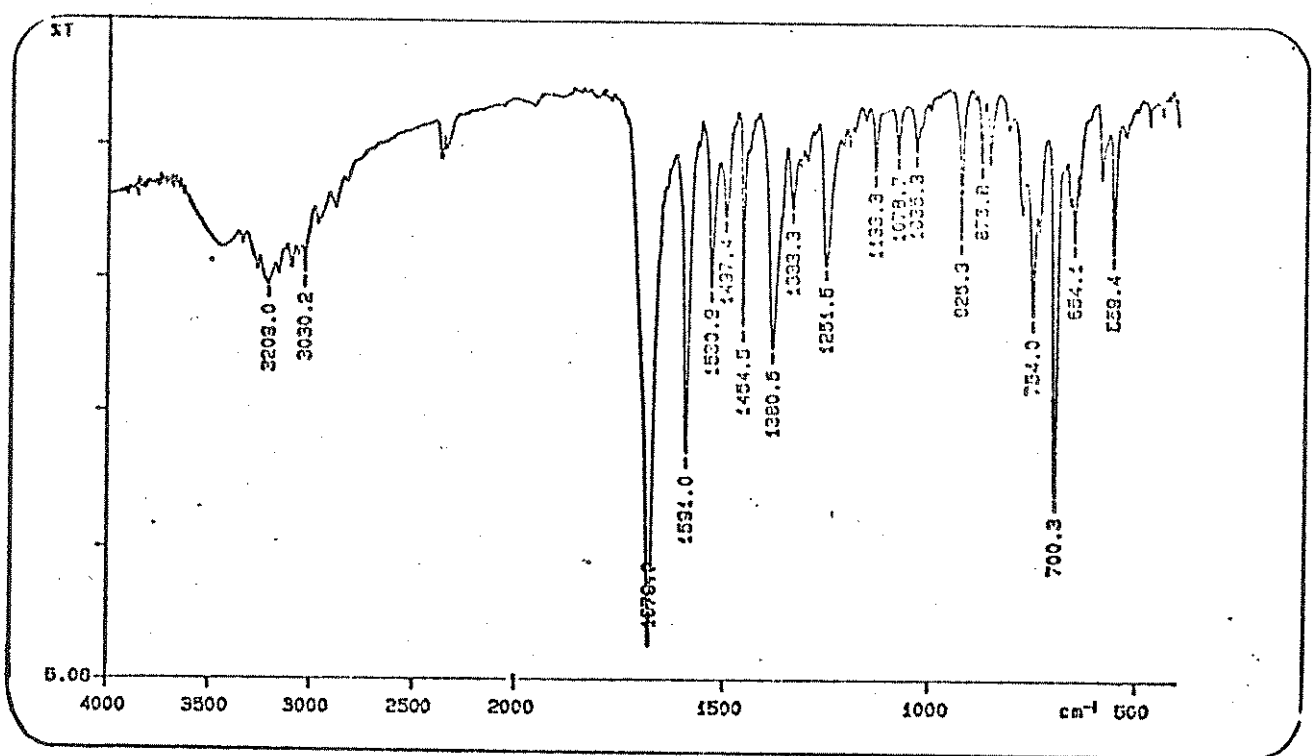
Espéctro 31 : rmp (CDCl₃) do composto XXXVI



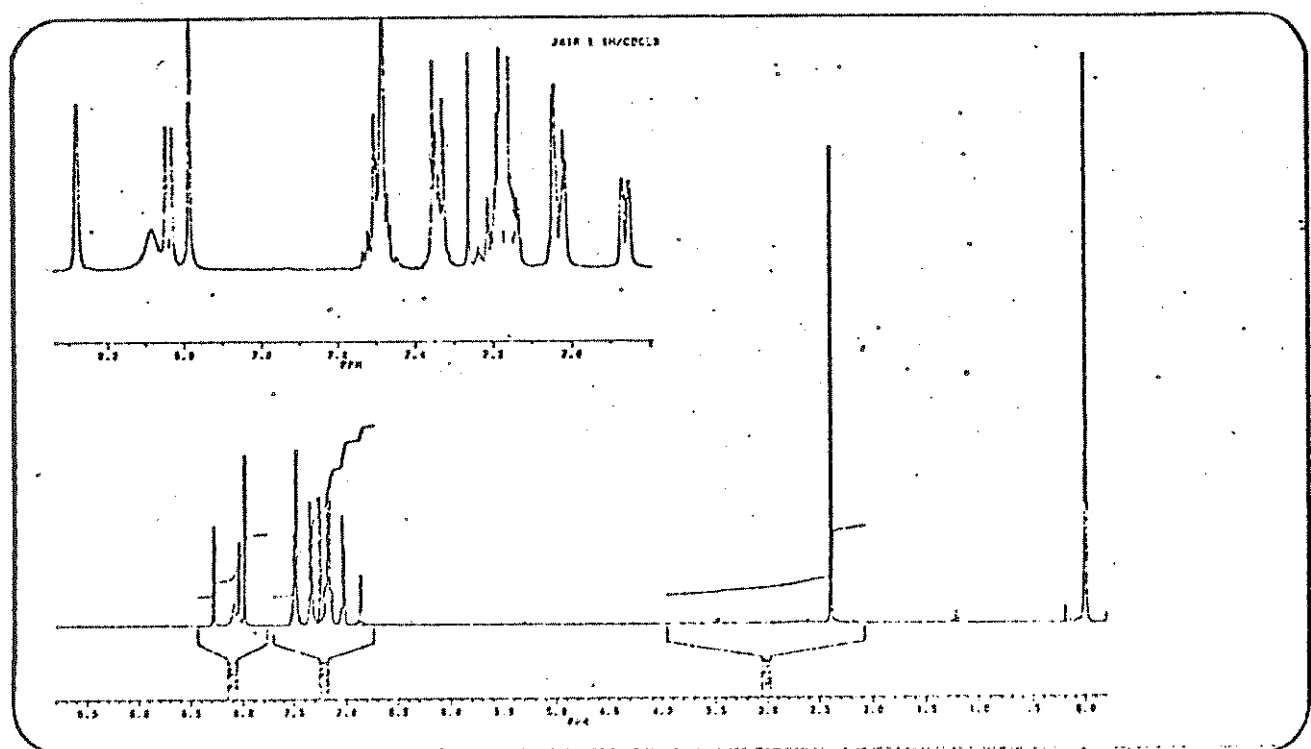
Espéctro 32 : iv (KBr) do composto XXXVI



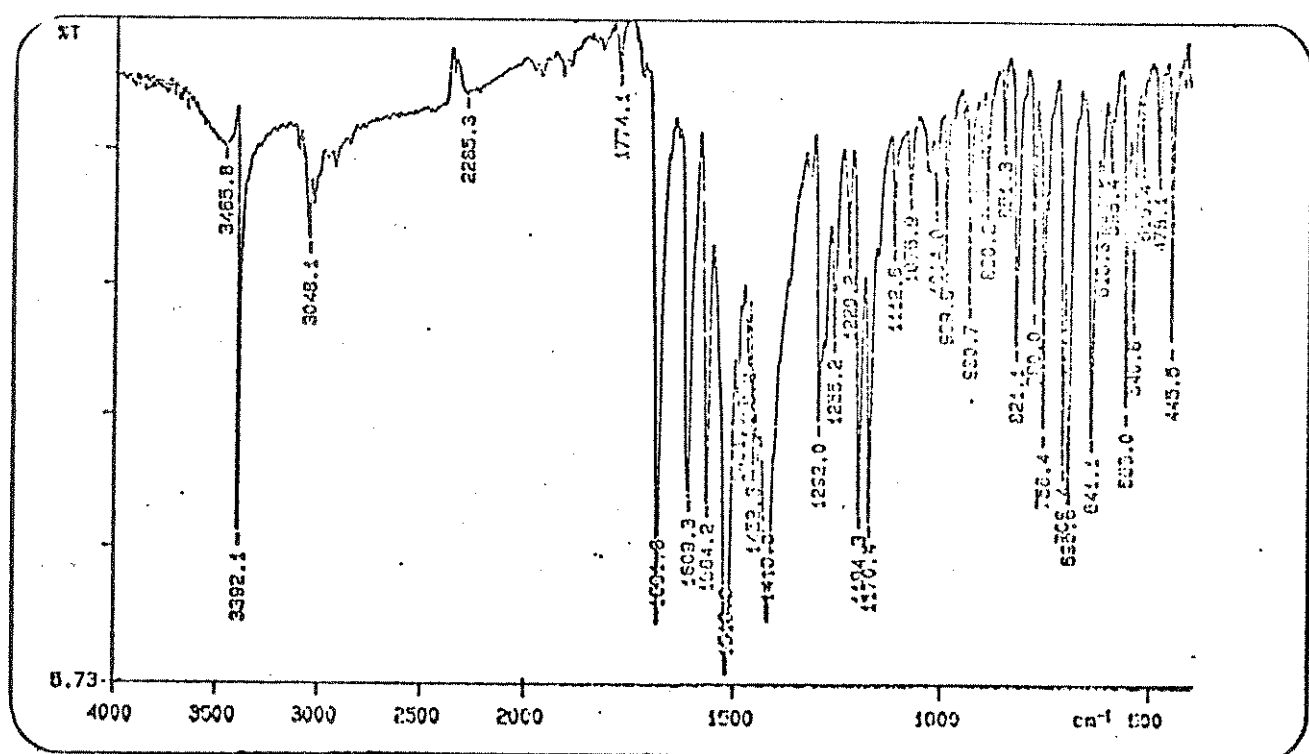
Espéctro 33 : rmr (CDCl₃) do composto XXXVII



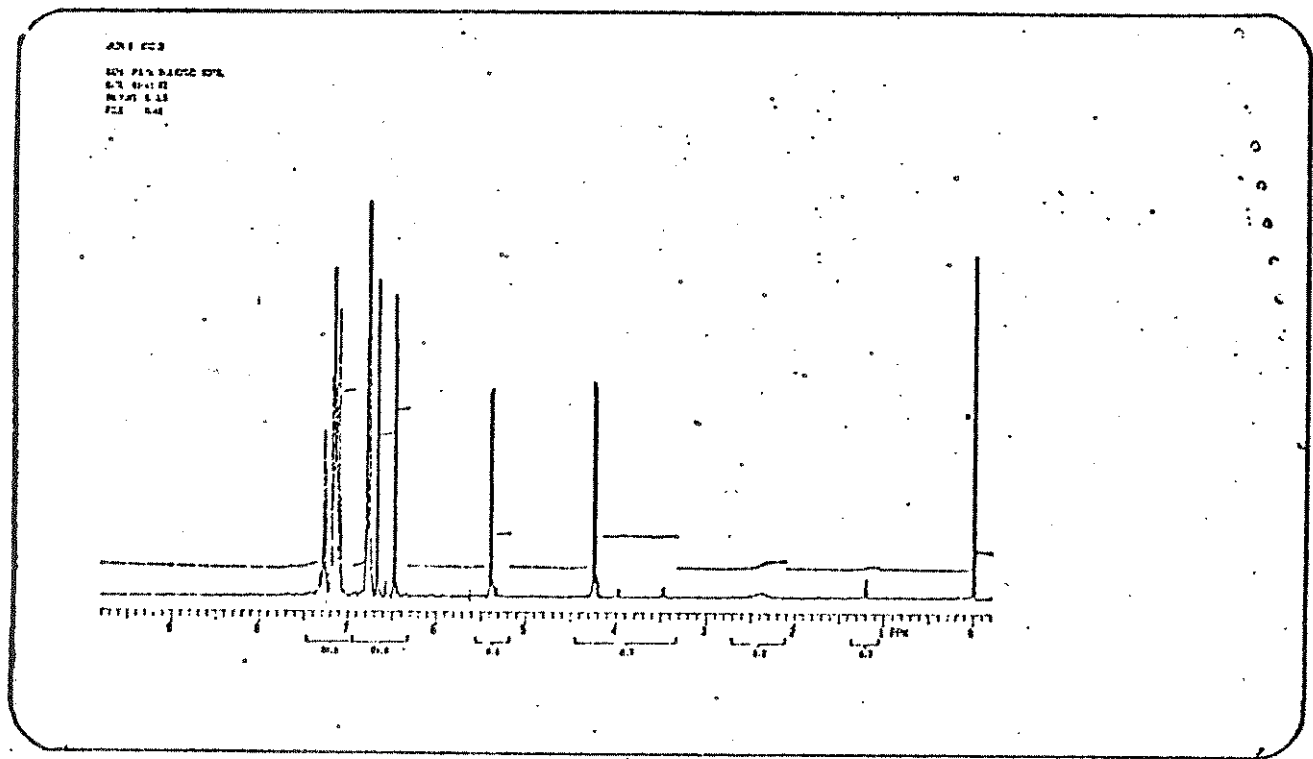
Espéctro 34 : iv (KBr) do composto XXXVII



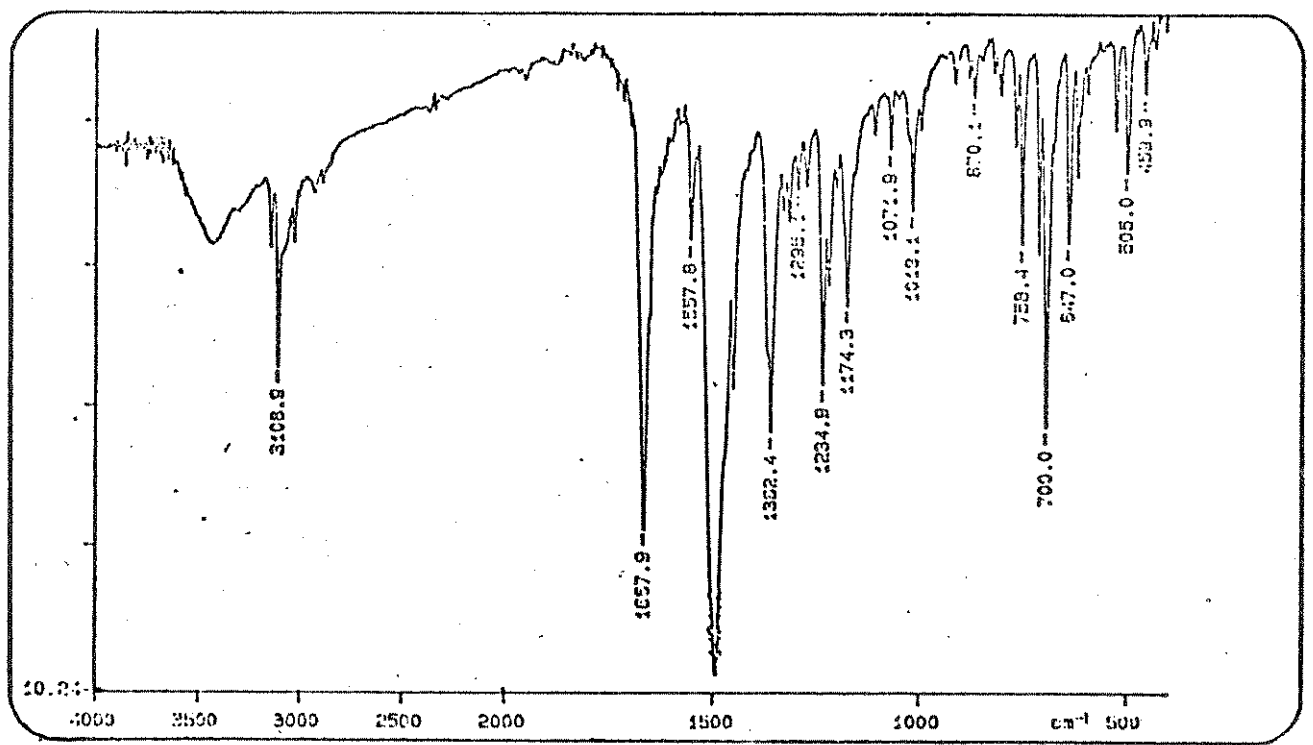
Espéctro 35 : rmp (CDCl_3) do composto XXXVIII



Espéctro 36 : iv (KBr) do composto XXXVIII



Espéctro 37 : rmp (CDCl_3) do composto XXXIX



Espéctro 38 : iv (KBr) do composto XXXIX

REFERÉNCIAS

1. Para uma revisão sobre a reatividade dos ciclopropenos (incluindo ciclopropenonas) veja: (a) Potts, K.T.; Baum, J.S.; Chem. Rev. 1974, 74, 189. (b) Eicher, T.; Weber, J.; Top. Curr. Chem. 1975, 57, 1. (c) Deen, M.L., Synthesis 1982, 701. (d) Musicki, B.; J. Org. Chem. 1991, 56, 110.
2. Marchi, D.Jr.; Tese De Doutoramento, UNICAMP, 1976.
3. Eicher, T.; von Angerer, E.; Hansen, A.M.; Liebigs Ann. Chem. 1971, 746, 102.
4. (a) Eicher, T.; Böhm, S.; Chem. Ber. 1974, 2186, 107.
(b) Ibid. 1974, 2215, 107.
5. Gilchrist, T.L.; Moody, C.J.; Rees, C.W.; J. Chem. Soc. Perkin Trans I, 1975, 1969.
6. Lown, J.W.; Matsumoto, K.; Can. J. Chem. 1971, 49, 1165.
7. Breslow, R.; Eicher, T.; Krebs, A.; Peterson, R.A.; Posner, J.; J. Am. Chem. Soc. 1965, 87, 1320.
8. Wadsworth, D.H.; Bender, S.L.; Smith, D.L.; Luss, H.R.; Weider, C.H.; J. Org. Chem. 1986, 51, 4639.
9. Kascheres, A.; Rodrigues, J.; J. Org. Chem. 1975, 40, 1440.
10. Difenilciclopropenona preparação: Breslow, R.; Eicher, T.; Krebs, A.; Peterson, R.A.; Posner, J.; J. Am. Chem. Soc. 1975, 87, 1320. Propriedades físicas: Krebs, A.; Breckwoldt, J.; Tetrahedron Lett. 1969, 3797.
11. Kascheres, A.; Kascheres, C.; Rodrigues, J.; Santana, A.R.; J. Org. Chem. 1976, 41, 3546.
12. Habraken, C.L.; Moore, J.A.; J. Am. Chem. Soc. 1964, 86, 1456.
13. Twoney, D.; J. Am. Chem. Soc. 1976, 31, 2494.

14. Preston,P.N. em "Condensed Imidazoles", Vol.46, da série "The Chemistry of Heterocyclic Compounds", pag.245-255, Interscience Publisher, 1986.
15. Campaigne,E.;Selby,T.P.;J.Heterocyclic Chem.1980,17,1255.
16. Abigment,E.;De Caprariis,P.;J.Heterocyclic Chem.1989,26,1875.
17. (a) Graf;J.Prakt.Chem. 1934,39,140.
(b) Linsker e Evans;J.Am.Chem.Soc. 1946,68,907.
18. Romers,C.;Grewtzberg,J.E.;Rec.Trav.Chim. 1956,75,331.
19. Ketchan,R;Jambotkcar;J.Org.Chem. 1963,28,1034.
20. Laszlo,P.;"Organic Spectroscopy";Harper - Row, Publisher , New York,1971,pag.46.
21. Kascheres,A.;Reyes,J.L.;Fonseca,S.M.;Heterocycles,1984,22,2529.
22. Bethel,J.R.;Maitland,P.;J.Chem.Soc. 1961,5221.
23. Vogel,A.;Vogel's Textbook of Practical Organic Chemistry , Longman Inc., New York, 1978, pag.881(adaptado).
24. Dewar M.J.S.;Zoebish E.G.;Healy E.F.;Stewart J.J.P.;J.Am.Chem . Soc. 1985,107,3902.